



## รายงานผลการวิจัย

เรื่อง การเตรียมอนุภาคนาโนไคโตชาน-สมุนไพรเพื่อการเพาะเลี้ยงสัตว์น้ำ

**Preparation of Chitosan-herb Nanoparticles for Aquaculture**

ได้รับการจัดสรรงบประมาณวิจัย      ประจำปี 2552-2553

จำนวน 430,000 บาท

หัวหน้าโครงการ

ดร. จิราพร ใจดีกินกร

ผู้ร่วมโครงการ

พศ.ดร. อรุณี คงศิริ

งานวิจัยเสริมศิลป์สมบูรณ์

มีนาคม 2555

## กิตติกรรมประกาศ

การวิจัยครั้งนี้ได้รับการสนับสนุนทุนวิจัย จาก สำนักวิจัยและส่งเสริมวิชาการการเกษตร มหาวิทยาลัยแม่โจ้ ปีงบประมาณ 2552 โดยเป็นโครงการต่อเนื่อง 2 ปี (2552-2553)

ขอขอบคุณ คณะเทคโนโลยีการประมงและทรัพยากรทางน้ำ ที่ให้การสนับสนุนสถานที่และ  
สาธารณูปโภคในการทำวิจัย

และขอขอบคุณ นักศึกษาช่วยงาน และบุคลากรในคณะฯ ทุกท่านที่มีส่วนร่วมในงานวิจัยนี้  
ให้สำเร็จลุล่วงด้วยดี

๕๒

(ดร. จิราพร ใจน์พินกร)

มีนาคม 2555

## สารบัญเรื่อง

สารบัญตาราง	หน้า
สารบัญภาพ	ข
สัญลักษณ์และคำย่อ	ค
บทคัดย่อ	น
ABSTRACT	1
คำนำ	3
การตรวจสอบสาร	5
อุปกรณ์และวิธีการดำเนินการวิจัย	7
ผลการวิจัยและวิจารณ์	25
สรุปผลการวิจัย	30
บรรณานุกรม	60
ภาคผนวก	62
	71

## สารบัญตาราง

	หน้า
ตารางที่1 ความบริสุทธิ์ (%DD) และขนาดของไมเลกุลไคトイชาน (MW)	30
ตารางที่2 สรุปขนาดของอนุภาคนาโนไคトイชานเปล่าที่เตรียมได้	40
ตารางที่3 ขนาดของอนุภาคนาโนไคトイชานที่วัดด้วยวิธีnanosizerโดยใช้ไคトイชาน 96.85 %DD ที่ความเข้มข้น 0.2 % บรรจุด้วยสารสกัดสมุนไพรที่ความเข้มข้นต่างๆ	45
ตารางที่4 อนุภาคนาโนไคトイชาน-สารสกัดสมุนไพรที่เตรียมได้	48
ตารางที่5 คุณสมบัติของอนุภาคนาโนไคトイชาน	50

## สารบัญภาพ

	หน้า
ภาพที่ 1 โครงสร้างของไคติน ไกโตกาน และเซลลูโลส	8
ภาพที่ 2 ขั้นตอนการเตรียมไคตินและไกโตกาน	10
ภาพที่ 3 การซึ่งกันไขยพันธะ ไออ่อนนิคราห่วงหมู่ฟอสเฟต ไออ่อนของโซเดียม ไคร พอลิฟอสเฟต กับหมู่แอมโนเนียม ไออ่อนของไกโตกาน	19
ภาพที่ 4 เกลลงอนุภาคนาโนไกโตกานเปล่าด้วยวิธีในไครอโนมัลชันและ ไออ่อนนิกเจเลชัน	31
ภาพที่ 5 SEM micrographs ของอนุภาคนาโนไกโตกานที่เตรียมด้วยวิธีในไครอโนมัลชันที่ไกโตกานความเข้มข้นต่างๆ	32
ภาพที่ 6 SEM micrographs ของอนุภาคนาโนไกโตกานที่เตรียมด้วยวิธีในไครอโนมัลชัน จากการใช้ ไกโตกานขนาด 20 kDa ที่ความเข้มข้น 1.5% w/v และ sonicate ที่เวลาต่างๆ	34
ภาพที่ 7 SEM micrographs ของอนุภาคนาโนไกโตกานที่เตรียมด้วยวิธีในไครอโนมัลชัน จากการใช้ ไกโตกานขนาด 290 kDa ที่ความเข้มข้น 1.5% w/v และ sonicate ที่เวลาต่างๆ	35
ภาพที่ 8 SEM micrographs ของอนุภาคนาโนไกโตกาน โดยได้จากการเตรียมด้วยวิธีไออ่อนนิกเจเลชัน ใช้ไกโตกาน 95 % DD ขนาด โนเลกูล 1,500 kDa ที่ความเข้มข้น 0.2 % (w/v) โดยเติม glucose 5 % (g และ g) และ trehalose 1 % (g)	36
ภาพที่ 9 SEM micrographs ของอนุภาคนาโนไกโตกานที่กำลังขยายต่างๆ โดยได้จากการเตรียมด้วยวิธีไออ่อนนิกเจเลชัน ใช้ไกโตกาน 95 % DD ขนาด โนเลกูล 1,500 kDa ที่ความเข้มข้น 0.2 % (w/v) และเติม trehalose 1%	36
ภาพที่ 10 SEM micrographs ของอนุภาคนาโนไกโตกานที่กำลังขยายต่างๆ โดยได้จากการเตรียมด้วยวิธีไอโอไโนไครปิกเจเลชัน ใช้ไกโตกาน 95 % DD ขนาด โนเลกูล 1,500 kDa ที่ความเข้มข้น 0.5 % (w/v) และเติม trehalose 1%	36

	หน้า
ภาพที่ 11 SEM micrographs ของอนุภาคนาโนไกโตกานที่กำลังขยายค่างๆ โดยได้จากการเตรียมด้วยวิธีไออ่อนนิกเจเลชัน ใช้ไกโตกาน 95 % DD ขนาดไม่เกิน 200 kDa ที่ความเข้มข้น 0.5 % (w/v) และเติม trehalose 1%	37
ภาพที่ 12 SEM micrographs ของอนุภาคนาโนไกโตกาน โดยได้จากการเตรียมด้วยวิธีไออ่อนนิกเจเลชัน ใช้ไกโตกาน 90 % DD ขนาดไม่เกิน 150 kDa ที่ความเข้มข้น 0.2 % (w/v) และเติม trehalose 1%	37
ภาพที่ 13 SEM micrographs ของอนุภาคนาโนไกโตกาน โดยได้จากการเตรียมด้วยวิธีไออ่อนนิกเจเลชัน ใช้ไกโตกาน 90 % DD ขนาดไม่เกิน 150 kDa ที่ความเข้มข้น 0.5 % (w/v) และเติม trehalose 1%	37
ภาพที่ 14 SEM micrographs ของอนุภาคนาโนไกโตกาน โดยได้จากการเตรียมด้วยวิธีไออ่อนนิกเจเลชัน ใช้ไกโตกาน 85 % DD ขนาดไม่เกิน 80 kDa ที่ความเข้มข้น 0.2 % (w/v) และเติม trehalose 1%	38
ภาพที่ 15 SEM micrographs ของอนุภาคนาโนไกโตกาน โดยได้จากการเตรียมด้วยวิธีไออ่อนนิกเจเลชัน ใช้ไกโตกาน 85 % DD ขนาดไม่เกิน 80 kDa ที่ความเข้มข้น 0.5 % (w/v) และเติม trehalose 1%	38
ภาพที่ 16 FTIR spectra ของสารค่างๆและอนุภาคนาโนไกโตกานเปล่าที่สร้างด้วยวิธีไออ่อนนิกเจเลชัน	39
ภาพที่ 17 ลักษณะของอนุภาคนาโนไกโตกานเปล่าที่การผันแปรความเร็วอบในการปั่นในปริมาตร 1,500 ml	41
ภาพที่ 18 SEM micrographs ของอนุภาคนาโนไกโตกาน-สารสกัดสมุนไพรที่เตรียมด้วยวิธีในไครอิมัลชัน จากการใช้ไกโตกานขนาด 20 kDa ที่ความเข้มข้น 1.5% w/v และ sonicate60 นาที	42
ภาพที่ 19 TEM micrographs ของอนุภาคนาโนไกโตกาน-สารสกัดใบหมูกรง ที่เตรียมโดยวิธีในไครอิมัลชัน จากการใช้ไกโตกานขนาด 20 kDa ที่ความเข้มข้น 1.5% w/v และ sonicate60 นาที	43
ภาพที่ 20 FTIR spectra ของสารค่างๆและอนุภาคนาโนไกโตกานที่สร้างด้วยวิธีในไครอิมัลชัน	44

	หน้า
ภาพที่21 เกลลงของอนุภาคนาโนไคโตรานเปรค่าและบรรจุสารสกัดสมุนไพร	46
ภาพที่22 SEM micrographs ของอนุภาคนาโนไคโตรานที่เตรียมด้วยวิธีไอօอันนิก เจเลชัน โดยใช้ไคโตราน ที่ความเข้มข้น 0.5% (w/v) และเติม trehalose 1%	46
ภาพที่23 SEM micrographs ของอนุภาคนาโนไคโตรานที่เตรียมด้วยวิธีไอօอันนิก เจเลชัน โดยใช้ไคโตราน 85 %DD ขนาดไมเกลตถุด 80 kDa ที่ความเข้มข้น 0.5% (w/v) และเติม trehalose 1%	47
ภาพที่24 การปลดปล่อยสารชีวภาพของอนุภาคนาโนไคโตรานในหลอดทดลอง	49
ภาพถ่ายฟลูออเรสเซนท์สำหรับการส่องประกาย หลังให้อาหารผสมอนุภาคนาโนไคโตรานบรรจุโปรตีนเรืองแสง (CS-GFP) เป็นเวลา 15 นาที	51
ภาพถ่ายฟลูออเรสเซนท์สำหรับการส่องประกาย หลังให้อาหารผสมอนุภาคนาโนไคโตรานบรรจุโปรตีนเรืองแสง (CS-GFP) เป็นเวลา 30 นาที	52
ภาพถ่ายฟลูออเรสเซนท์สำหรับการส่องประกาย หลังให้อาหารผสมอนุภาคนาโนไคโตรานบรรจุโปรตีนเรืองแสง (CS-GFP) เป็นเวลา 1 ชั่วโมง	53
ภาพถ่ายฟลูออเรสเซนท์สำหรับการส่องประกาย หลังให้อาหารผสมอนุภาคนาโนไคโตรานบรรจุโปรตีนเรืองแสง (CS-GFP) เป็นเวลา 2 ชั่วโมง	54
ภาพถ่ายฟลูออเรสเซนท์สำหรับการส่องประกาย หลังให้อาหารผสมอนุภาคนาโนไคโตรานบรรจุโปรตีนเรืองแสง (CS-GFP) เป็นเวลา 15 นาที	55
ภาพถ่ายฟลูออเรสเซนท์สำหรับการส่องประกาย หลังให้อาหารผสมอนุภาคนาโนไคโตรานบรรจุโปรตีนเรืองแสง (CS-GFP) เป็นเวลา 30 นาที	56
ภาพถ่ายฟลูออเรสเซนท์สำหรับการส่องประกาย หลังให้อาหารผสมอนุภาคนาโนไคโตรานบรรจุโปรตีนเรืองแสง (CS-GFP) เป็นเวลา 1 ชั่วโมง	57
ภาพถ่ายฟลูออเรสเซนท์สำหรับการส่องประกาย หลังให้อาหารผสมอนุภาคนาโนไคโตรานบรรจุโปรตีนเรืองแสง (CS-GFP) เป็นเวลา 2 ชั่วโมง	58
ภาพที่33 ประสิทธิภาพของอนุภาคนาโนไคโตรานบรรจุสารสกัดสมุนไพรต่อเชื้อ <i>Aeromonashydrophila</i> ในปลาโนล	59

## ຫັນອັກນົດແລະຄໍາຢ່າງ

ug = microgram

mg = milligram

g = gram

ul = microliter

ml = milliliter

um = micrometer (micron)

mm = millimeter

<sup>o</sup>C = degree Celsius

% = percent

%DD = % degree of deacetylation

# การเตรียมอนุภาคนาโนไคโตซาน-สมุนไพรเพื่อการเพาะเลี้ยงสัตว์น้ำ

## Preparation of Chitosan-herb Nanoparticles for Aquaculture

จิราพร โรจน์กินกร<sup>(1)</sup> และ อรุณี คงดี<sup>(2)</sup>

Jiraporn Rojtnakorn<sup>(1)</sup> and Arunee Kongdee<sup>(2)</sup>

(1) คณะเทคโนโลยีการประมงและทรัพยากรทางน้ำ มหาวิทยาลัยแม่โจ้

(2) ภาควิชาเคมี คณะวิทยาศาสตร์ มหาวิทยาลัยแม่โจ้

บกคดย่อ

งานวิจัยนี้ได้ทำการสร้างอนุภาคนาโนไคโตซาน ใช้ tripolyphosphate (TPP) เป็น crosslinker โดยวิธีไมโครอิมลชัน (microemulsion) และ ไอ ไอ ในไครปิกเจลเลชัน (ionotropic gelation) พบว่า วิธีไอ ไอ ในไครปิกเจลเลชันและใช้ TPP เป็นวิธีที่เหมาะสม เมื่องจากเตรียมได้ง่ายและไม่มีสารพิษตกค้างในอนุภาคนาโน โดยวิธีไอ ไอ ในไครปิกเจลเลชัน (ionotropic gelation) ด้วย 2 ชนิด พบว่า อนุภาคนาโนไคโตซาน-TPP (CS-TPP) โดยใช้ไคโตซาน ที่ความบริสุทธิ์ต่างๆ คือ %DD = 77.09, 81.45, 82.95, 87.31 และ 91.62 และขนาดโมเลกุลต่างๆ คือ 1,519, 139, 385, 253 และ 375 kDa โดยใช้ที่ความเข้มข้น 0.2 และ 0.5% พบว่า จะได้นานาอนุภาคนาโนไคโตซานที่แตกต่างกัน คือ การใช้ไคโตซาน 77.09 %DD มี MW 1,519 kDa ที่ความเข้มข้น 0.2 และ 0.5 % ได้ออนุภาคนาโนขนาดใหญ่ที่สุด  $443.00 \pm 123.63$  nm และ  $549.90 \pm 39.68$  nm ตามลำดับ การใช้ไคโตซาน 81.45 %DD มี MW 139 kDa ที่ความเข้มข้น 0.2 และ 0.5% ได้ออนุภาคนาโนขนาด  $183.50 \pm 8.23$  nm และ  $262.17 \pm 5.01$  nm ตามลำดับ ในการใช้ไคโตซาน 82.95 %DD มี MW 385 kDa ที่ความเข้มข้น 0.2 และ 0.5% ได้ออนุภาคนาโนขนาด  $254.33 \pm 16.46$  nm และ  $303.87 \pm 56.53$  nm ตามลำดับ ส่วนการใช้ไคโตซาน 87.31 %DD มี MW 253 kDa ที่ความเข้มข้น 0.2 และ 0.5% ได้ออนุภาคนาโนขนาด  $242.70 \pm 26.80$  nm และ  $517.83 \pm 111.47$  nm ตามลำดับ และการใช้ไคโตซาน 91.62 %DD มี MW 375 kDa ที่ความเข้มข้น 0.2 และ 0.5% ได้ออนุภาคนาโนขนาด  $211.33 \pm 10.90$  nm และ  $299.93 \pm 64.84$  nm ตามลำดับ

ได้ทำการแปรผันความเร็วในการกรุน 900 – 1,300 rpm พนว่า ขนาดอนุภาคนาโนไครโซนไม่มีความแตกต่างของมีนัยสำคัญ สรุปได้ว่า การสร้างอนุภาคนาโนไครโซนเปล่าด้วยวิธีไอโอดิน ไทรปิกเจลเรซินที่เหมาะสม คือ การใช้ไครโซโซนขนาด 81.45 %DD ขนาดโมเลกุล 139 kDa ที่ความเข้มข้น 0.2% ใช้ TPP 1.0 mg/ml ในอัตราส่วนปริมาตร 2 : 1 ที่การกรุน 900 – 1,300 rpm โดยได้อนุภาคนาโนทรงกลม ขนาดเด็ก มีความผันแปรต่ำ นอกจานี้ยังเป็นวิธีที่ให้โครงสร้างของอนุภาคนาโนเป็นทรงกลม มีขบวนการง่าย ไม่สับซับซ้อน ไม่ต้องใช้สารกำจัดน้ำมัน และไม่ก่อให้เกิดสารตกค้างในผลิตภัณฑ์อนุภาคนาโนซึ่งจะต้องให้ปลาสเตร์กุ้งกินต่อไป

ได้ทำการบรรจุสารสกัดเปลือกมังคุด (magosteen peel extract, MPX) ในอนุภาคนาโนไครโซน ที่ใช้ความเข้มข้นของสารสกัด 0, 0.1, 0.5, 1.0, 1.5 และ 2.0 % (w/v) และน้ำไปศึกษาคุณสมบัติทางกายภาพด้วยเทคนิค SEM และ nanosizer พนว่า ที่ความเข้มข้นสูงขึ้น อนุภาคนาโนมีขนาดใหญ่ขึ้น คือ  $204.40 \pm 18.98$ ,  $280.43 \pm 20.64$ ,  $925.13 \pm 50.81$ ,  $1303.67 \pm 248.92$ ,  $2442.67 \pm 346.09$  และ  $2851.33 \pm 518.30$  nm ตามลำดับ ส่วนประสิทธิภาพการบรรจุที่ความเข้มข้นของสารสกัด 0.1, 0.5, 1.0, 1.5 และ 2.0 % (w/v) เท่ากับ 70.53, 71.42, 72.47, 76.81 และ 68.41 % ตามลำดับ

สำหรับประสิทธิภาพการปลดปล่อยในหลอดทดลอง ที่ความเข้มข้นของสารชีวภาพ 1.5 % (w/v) pH = 7.0 สารสกัดใบมูกวางเริ่มถูกปลดปล่อยตั้งแต่วремา 1 ชั่วโมง และปลดปล่อยได้สูงสุด 75.03% ส่วนประสิทธิภาพการปลดปล่อยในลักษ์สัตว์น้ำ พนว่า ในกุ้งก้านกรรมและปลา尼ล อนุภาคนาโนไครโซนสามารถถูกย่อยได้ที่ลักษ์สัตว์น้ำ ที่เวลา 15 นาทีหลังกินอาหาร โดยที่เวลา 2 ชั่วโมง หลังกินอาหาร สารชีวภาพจะกระจายไปทั่วลักษ์สัตว์น้ำ ส่วนกลางและส่วนปลาย

## ABSTRACT

This project constructed chitosan nanoparticle using tripolyphosphate (TPP) as crosslinker by micro-emulsion and ionotropic gelation techniques. It was shown that ionotropic gelation with TPP was the satisfied method because of ease strategy and without toxic residue in nanoparticle. With ionotropic gelation method, chitosan-TPP (CS-TPP) was constructed by using chitosan at different purity; %DD = 77.09, 81.45, 82.95, 87.31 and 91.62, and different molecular weight at 1,519, 139, 385, 253 and 375 kDa, with 0.2 and 0.5 %. Vary size of CS-TPP nanoparticles were performed. Using 77.09 %DD with MW 1,519 kDa at 0.2 and 0.5 % formed the largest size of nanoparticle with  $443.00 \pm 123.63$  nm and  $549.90 \pm 39.68$  nm, respectively. Using 81.45 %DD with MW 139 kDa at 0.2 and 0.5% formed nanoparticle sizes of  $183.50 \pm 8.23$  nm and  $262.17 \pm 5.01$  nm, respectively. Using 82.95 %DD with MW 385 kDa at 0.2 and 0.5% formed nanoparticle sizes of  $254.33 \pm 16.46$  nm and  $303.87 \pm 56.53$  nm, respectively. Using 87.31 %DD with MW 253 kDa at 0.2 and 0.5% formed nanoparticle sizes of  $242.70 \pm 26.80$  nm and  $517.83 \pm 111.47$  nm, respectively. Whereas using 91.62 %DD with MW 375 kDa at 0.2 and 0.5% formed nanoparticle sizes of  $211.33 \pm 10.90$  nm and  $299.93 \pm 64.84$  nm, respectively. Stirring rate was varied from 900 rpm to 1,300 rpm, this was resulted that size of nanoparticle was not significant different. Therefore, it was concluded that construction of chitosan nanoparticle by ionotropic gelation, using chitosan 81.45 %DD with MW 139 kDa at 0.2%, using TPP 1.0 mg/ml with ratio of 2 : 1, and stirring at 900 – 1,300 rpm achieved circular and small nanoparticle with low variation in size. Furthermore, the process was ease, not complicate, not need to use de-oil reagent, and no residue in nanoparticle product that have to feed in fish and shrimp.

Encapsulation of magosteen peel extract (MPX) in CS-TPP nanoparticle by ionotropic gelation was performed by using chitosan 81.45 %DD with MW 139 kDa at 0.2%, using TPP 1.0 mg/ml with ratio of 2 : 1, and stirring at 900 – 1,300 rpm. Their physical characteristic was investigated by SEM and nanosizer. Efficiencies of encapsulation and releasing were identified by dialysis technique and protein and tannin were measured At IAX concentration of 0.1, 0.5, 1.0, 1.5 และ 2.0 % (w/v), the loading efficiencies were 70.53, 71.42, 72.47, 76.81 and 68.41 %, respectively.

For in vitro releasing efficiency, 1.5 % (w/v) MPX in nanoparticle was released from 1 hour for 75.03 % at pH = 7.0 . Whereas, for in vivo releasing efficiency, biosubstance was released from 15 minute after feed and distributed through foregut, midgut and hindgut in both giant prawn and tilapia.



## คำนำ

### 1. ความสำคัญและที่มาของปัจจัย

ไคโตซาน (-1,4-D-glucosamine) เป็นโพลีแซคคาไรด์สายตรง นับว่าเป็นไนโอลิเมอร์ที่มีมากเป็นอันดับสอง รองจากเซลลูโลส ไคโตซานได้มาจากการ deacetylation ของไคติน (-1,4)- (N-acetyl glucosamine) ซึ่งมีมากในเปลือกของกุ้งและปู ไคโตซานจัดเป็นโพลีเมอร์ชีวภาพที่มีประสิทธิภาพสูงชนิดหนึ่ง ด้วยคุณสมบัติเป็น cationic substance เป็นสารย่อยสลายได้ทางชีวภาพ (biodegradable) ไม่เป็นสารพิษ นอกจากนี้ไม่เลกฤทธิ์มีฤทธิ์ฆ่าเชื้อได้ จึงสามารถนำไปประยุกต์ใช้ได้อย่างมากในภาคแพทย์ ทั้งในการด้านการแพทย์ เวชสำอางค์ สิ่งทอ อุตสาหกรรมเคมี อุตสาหกรรมอาหาร วิศวกรรมชีวภาพ รวมถึงการบำบัดน้ำเสีย และการบำบัดโลหะหนักในน้ำ

การสร้างอนุภาคนาโนไคโตซานเพื่อเพิ่มประสิทธิภาพของยา สารชีวเคมี และด้านการแพทย์ เช่น การสร้าง immunosensor electrode โดยการตรึงเอนไซม์ดีบีนพีนพิว (Lei et al., 2003) การสร้างอนุภาคนาโนไคโตซาน-hydroxyapatite (Hap) (Chen et al., 2004) และอนุภาคนาโน chitosan-calcium phosphate cement (CPC) (Xu et al., 2007) เพื่อช่วยเสริมสร้างการปูกรถ่ายเซลล์กระดูก การเตรียมอนุภาคนาโนไคโตซาน-วัคซีน เพื่อเพิ่มประสิทธิ์ ภาพและการนำพาเข้าสู่เซลล์ (Borges et al., 2006; Amidi et al., 2007; Zhou et al., 2007) การสร้างอนุภาคนาโนไคโตซาน-DNA เพื่อนำพาเข้าสู่เซลล์เป้าหมาย (Nie and Wang, 2007) การตรึงเอนไซม์ไลප์ไสในสภาพ chitosan-lipase nanoparticle เพื่อใช้ในการผลิต glycerol และ fatty acid ซึ่งนำไปใช้ในอุตสาหกรรมอาหารและยา (Tang et al., 2007) เป็นต้น

ส่วนการประยุกต์ใช้อนุภาคนาโนไคโตซานในด้านประมงยังรายงานมีน้อยมาก จากการสืบค้นในฐานข้อมูล [www.sciencedirect.com](http://www.sciencedirect.com) ณ วันที่ 13 สิงหาคม 2550 พจนเพียง 5 รายงานเท่านั้น ได้แก่ 1) การสร้าง chitosan-alginate microcapsule เพื่อนำพา V<sub>ibrio</sub> vaccine โดยการผสมอาหารกิน (Polk et al., 1994) 2) การเตรียมอนุภาคนาโน chitosan-plasmid DNA เพื่อใช้ในการนำพา DNA vaccine เข้าร่างกายปลา rainbow trout โดยการแข็ง化ในความเข้มข้น 5 - 15 ug/ml (Romøren et al.,

2002) และ 3) การเตรียมเซลล์ microcapsule ของไนโครอัลจี Haematococcus pluvialis เคลือบไฮโดรเจน เพื่อรักษาองค์ประกอบ astaxanthin ได้นานถึง 24 ตั้งค่าห์ (Kittikaiwan et al., 2007)

จะเห็นได้ว่า ถึงแม้เทคโนโลยีอนุภาคนาโนไฮโดรเจนกำลังถูกพัฒนาใช้ประโยชน์ในหลาย ๆ ด้าน แต่การศึกษาวิจัยด้านการประมงและการเพาะเลี้ยงสัตว์น้ำยังมีน้อยมาก และยังไม่มีการศึกษาวิจัยในระดับอนุภาคนาโนชีวภาพในการเพาะเลี้ยงสัตว์น้ำของไทย การเพาะ เลี้ยงสัตว์น้ำเป็นอุตสาหกรรมที่สำคัญ เป็นแหล่งผลิตโปรดีนคุณภาพสูงที่มีราคาไม่แพง เช่น ปลาเนื้อขาวนิดต่างๆ และยังเป็นอุตสาหกรรมที่ทำรายได้เข้าประเทศสูง โดยเฉพาะการส่งออกกุ้งทะเลที่มีมูลค่าปีละไม่น้อยกว่า 2000 ล้านบาท

การใช้สารสกัดสมุนไพรทดแทนยาปฏิชีวนะเป็นแนวทางหนึ่งในการลดยาปฏิชีวนะในสัตว์น้ำ ผู้วิจัย จิราพรและคณะ (2549) รายงานว่ามีสารสกัดสมุนไพรไทยหลายชนิดที่มีประสิทธิภาพดีในการป้องกันและรักษาเชื้อแบคทีเรียก่อโรคสำคัญในสัตว์น้ำ เช่น กระเทียม ชะพู หูกว้าง เปลือกมังกร เปลือกหันนิม ชาเขียว รังจิต เป็นต้น แต่เมื่อจะนำสารสกัดสมุนไพรเป็นสารธรรมชาติ ทำให้เกิดการสลายตัวและเน่าเสียได้จริงทั้งในรูปผงแห้งและของเหลว ดังนั้นอุปสรรคในการผลิตสารสกัดสมุนไพรเพื่อใช้การเพาะเลี้ยง คือ วิธีการเก็บรักษา และอายุการเก็บ จึงทำให้ผู้วิจัยสนใจในการพัฒนาวิธีการประยุกต์ใช้เทคโนโลยีอนุภาคนาโนชีวภาพ

## 2. วัสดุประสงค์ของโครงการวิจัย

- 2.1 ศึกษาวิธีการเตรียมอนุภาคนาโนของสารสกัดสมุนไพร โดยใช้ชีวไมเกลคูลไฮโดรเจน
- 2.2 เปรียบเทียบการเตรียมอนุภาคนาโนไฮโดรเจน/สารสกัดสมุนไพร โดยใช้ไฮโดรเจนขนาดต่างๆ
- 2.3 ศึกษาขนาดและโครงสร้างของอนุภาคนาโนไฮโดรเจน/สารสกัดสมุนไพร
- 2.4 ศึกษาคุณสมบัติทางชีวภาพของอนุภาคนาโนไฮโดรเจน/สารสกัดสมุนไพรในการฆ่าเชื้อ โรคของสัตว์น้ำ
- 2.5 ศึกษาประสิทธิภาพของอนุภาคนาโนไฮโดรเจน/สารสกัดสมุนไพรในสัตว์น้ำ
- 2.6 ศึกษาอายุการเก็บอนุภาคนาโนไฮโดรเจน/สารสกัดสมุนไพรที่อุณหภูมิต่างๆ

## การตรวจเอกสาร

### 1. ไคตินและไคโคลาม

ไคติน ( $\beta$  -(1,4)- (N-acetyl glucosamine) มีมากในเปลือกของกุ้งและปู เป็นไนโตรเจนเชลลูลาร์ที่มีมากเป็นอันดับสอง รองจากเซลลูโลส ไคติน-ไคโคลาม (Chitin-Chitosan) เป็นไคเพอร์เมอร์ธรรมชาติระหว่างสองอนุโมร์ของ Anhydro-N-Acetyl-D-Glucosamine และ Anhydro-D-Glucosamine ถ้าสัดส่วนที่อยู่ร่วมกันของอนุโมร์มากกว่าจะแสดงลักษณะเด่นเป็นไคติน แต่ถ้าสัดส่วนที่อยู่ด้วยกันของอนุโมร์ที่สองมากกว่าจะแสดงลักษณะสมบัติเด่นเป็นไคโคลาม ซึ่งลักษณะพอลิเมอร์นี้จะมีผลต่อเนื่องไปยังสมบัติการละลายของไคติน-ไคโคลาม (Hirano, 1996; Mazzarelli, 1977)

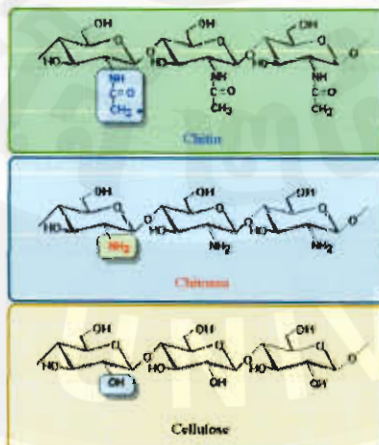
ไคตินไม่สามารถละลายในดัลทำละลายมีข้าวและไม่มีข้าว โดยทั่วไปมักพบไคตินในผนังเซลล์ของเชื้อจุลินทรีย์ เช่น เห็ด รา รวมทั้งเปลือกของแมลงและสัตว์ที่ไม่มีกระดูกสันหลัง ประเภทนิข้อและปล้อง อาทิ กุ้ง ปู และแคนหนึ่ก (Merk, 1996) จากการศึกษาของ Mazzarelli (1977) ได้ทำการเสนอรูปแบบของผลึกไคตินในธรรมชาติซึ่งมีโครงสร้างของผลึกที่แข็งแรงอยู่ 3 ลักษณะ ขึ้นอยู่กับแหล่งที่พน ได้แก่ อัลฟ่าไคติน พนในเปลือกกุ้งและกระดองปู เมتاไคติน พนในแคนหนึ่ก และแคนนาไคติน พนในเห็ด รา แต่ละลักษณะจะแตกต่างกันที่ระบบเกิดระบบผลึก (Crystal System)

ไคโคลาม ( $\beta$ -1,4-D-glucosamine) หรือ D-glucosamine(2-amino-2-deoxy-D-glucose) หรือ Poly- $\beta$ (1,4)-2-amino-2-deoxy-D-glucose มีสูตรทั่วไปเป็น ( $C_6H_{11}NO_4$ ) (ลิตา, 2542; ภาวดี และคณะ, 2543) ประกอบด้วยคาร์บอนร้อยละ 44.7 ไฮครอเจนร้อยละ 6.8 และไฮไครเจนร้อยละ 8.7 (Mazzarelli, 1977) เป็นโพลีแซคคาไรด์สายตรง เป็นอนุพันธ์ของไคติน ได้มาจากการกำจัดหมู่อะซิติด(deacetylation)ของไคติน โดยหมู่อะซิตามิโดยของไคตินถูกแทนที่ด้วยอะตอนของไฮไครเจนกล้ายเป็นหมู่อะมิโน(-NH<sub>2</sub>) ที่คาร์บอนตำแหน่งที่ 2

จากการหายไปของหมู่อะซิติด ทำให้ไคโคลามมีส่วนของไนโตรเจนที่พร้อมจะทำปฏิกิริยาอย่างว่องไวอยู่หลายหมู่ หมู่ที่เด่นๆ คือหมู่อะมิโนในตรงการรับอนดำเนินที่ 2 หมู่แอลกอฮอล์

ทรงค่าบอนด์แหนงที่ 6 และหมู่แอลกออล์ที่คาร์บอนด์แหนงที่ 3 และเพรเวมีหมู่ที่ໄວต่อปฏิกิริยา  
นี้เองทำให้ไคโตซานถูกนำไปใช้ประโยชน์อย่างกว้างขวางมากกว่าไคติน โดยหน้าที่การทำงานของ  
มันจะขึ้นอยู่กับโครงสร้างทางเคมี และการสร้างโมเลกุลของไคโตซาน (Molecular conformation of  
chitosan) ชั้งการเกิดไคโตซานขึ้นอยู่กับระดับการกำจัดหมู่อะซิติลโดยคิดเป็นร้อยละ (%DD) ถ้า  
ระดับการกำจัดหมู่อะซิติลเกินกว่า 50% ขึ้นไป ไคโตซานนี้สามารถทำปฏิกิริยากับกรดอินทรีย์ได้  
หรือกล่าวอีกนัยหนึ่งคือ การลดลงของหมู่อะซิติล ( $\text{CH}_3\text{CO}-$ ) ในไคตินทำให้เกิดการเพิ่มของหมู่อเมน  
ซึ่งเป็นการเพิ่มคุณสมบัติการเป็นประจุบวก (polycationic) ในสายพอลิเมอร์ทำให้เกิดเป็นสภาพไคโต  
ซานมากขึ้น (chitosan generation) เพราะฉะนั้น โครงสร้างของไคตินจึงต่างจากโครงสร้างของไคโต  
ซานตรงหน่วยกลูโคซามีน (glucosamine) ในสายพอลิเมอร์ (Shigemasa, 1998)

โครงสร้างทางเคมีของไคโตซานจัดเป็นโพลีเมอร์ชีวภาพที่มีประสิทธิภาพสูงชนิด  
หนึ่ง คำว่าคุณสมบัติเป็น cationic substance เป็นสารข่ายสลายได้ทางชีวภาพ (biodegradable) ไม่เป็น<sup>†</sup>  
สารพิษ นอกจากนี้ไม่เลกุลไคโตซานยังมีฤทธิ์ฆ่าเชื้อโรคได้ จึงสามารถนำไปประยุกต์ใช้ได้อย่าง  
มากในหลากหลายวัสดุประสงค์ ทั้งในทางด้านการแพทย์ เวชสำอาง สิ่งทอ อุตสาหกรรมเคมี  
อุตสาหกรรมอาหาร วิศวกรรมชีวภาพ รวมถึงการบำบัดน้ำเสีย และการบำบัดโลหะหนักในน้ำ



ภาพที่ 1 โครงสร้างของไคติน ไคโตซาน และเซลลูโลส

ที่มา : <http://dalwoo.tripod.com/structure.htm>

## กระบวนการผลิตไกคินและไกโตกาน

กรรมวิธีการผลิตไกคินและไกโตกานมีการพัฒนาอย่างต่อเนื่องทั้งวิธีทางเคมีและทางชีวภาพซึ่งในระดับอุตสาหกรรมมักจะใช้วิธีทางเคมีดังแสดงในภาพ 3 และวัตถุคิดส่วนใหญ่มาจากการของเหลวในอุตสาหกรรมอาหารทະเบซี่ เช่น อาทิเปลือกถุงหัวถุง กระองปู แต่แกนหมึกโดยสมบัติทางเคมีพิสิกส์ของไกคินและไกโตกานที่ได้มีความหลากหลายขึ้นอยู่กับสายพันธุ์ (Species) ของสัตว์เหล่านี้รวมถึงกรรมวิธีการผลิตดังนั้นกระบวนการผลิตที่นำเอาเทคโนโลยีชีวภาพเข้ามาผสมผสานกับกระบวนการผลิตทางเคมีจึงมีการพัฒนาขึ้นเพื่อให้ได้สมบัติของผลิตภัณฑ์ไกคินและไกโตกานตามต้องการและเหมาะสมกับการนำไปใช้

**การผลิตไกคินและไกโตกาน ประกอบด้วยหลักการที่สำคัญ 3 ขั้นตอนดังต่อไปนี้**

### 1) กระบวนการกำจัดโปรตีน (Deproteinization)

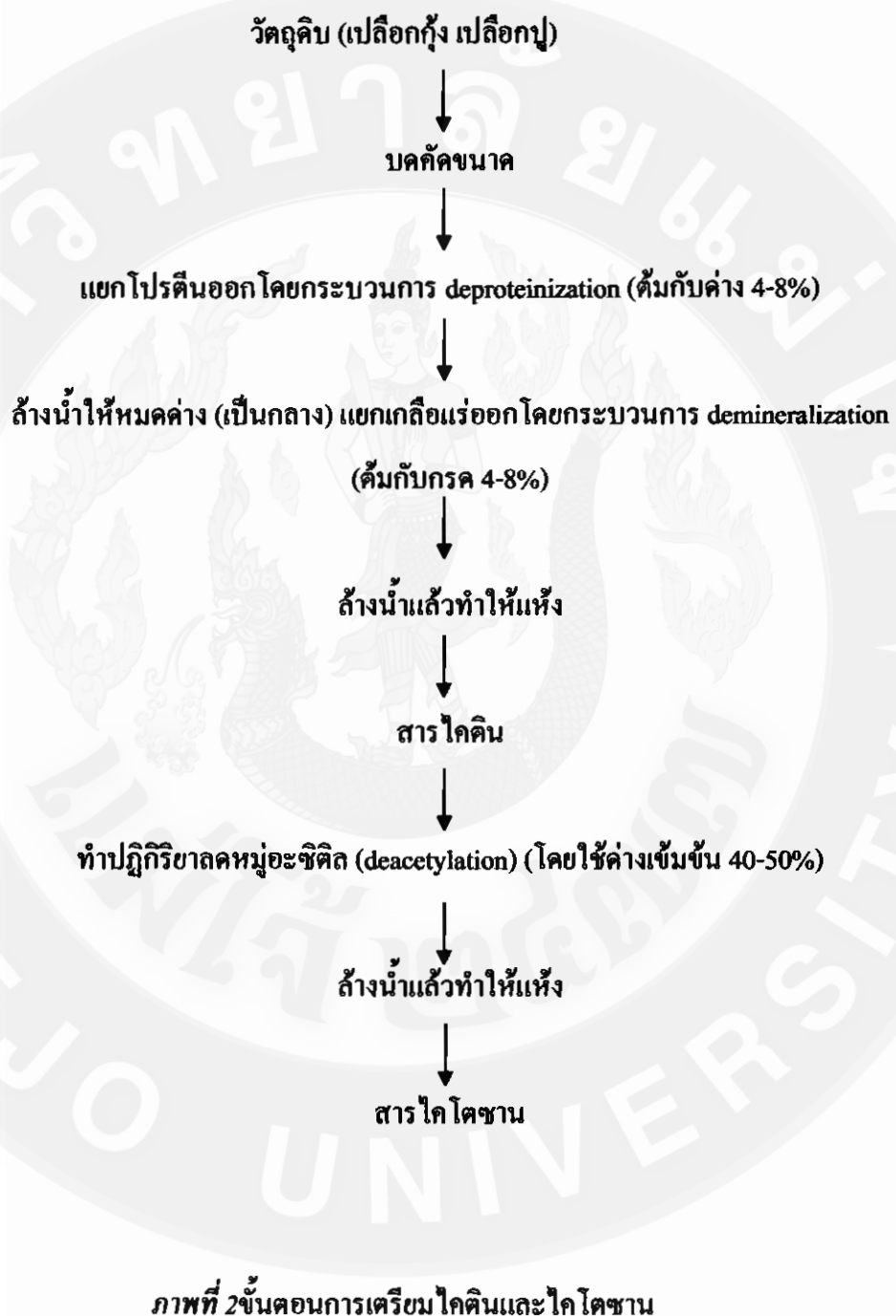
โดยการนำวัตถุคิด ได้แก่ เปลือกถุง เปลือกปูฯลฯ มาทำปฏิกิริยากับสารละลายโซเดียมไฮดรอกไซด์ที่มีความเข้มข้นตั้งแต่ 1-10% และอุณหภูมิที่ใช้ประมาณ 65-100°C นองจากนี้ระยะเวลาในการทำปฏิกิริยา (reaction time) ขึ้นอยู่กับวิธีและสภาพที่ใช้ในการสกัดโปรตีน (No and Meyers, 1997) ในกระบวนการนี้โปรตีนส่วนใหญ่จะถูกกำจัดออกไปจากวัตถุคิดซึ่งทำให้ไขมันบางส่วนและรงควัตถุบางชนิดมีโอกาสถูกจัดออกไปด้วย

### 2) กระบวนการกำจัดเกลือแร่ (Demineralization)

โดยการนำวัตถุคิดซึ่งผ่านกระบวนการกำจัดโปรตีนมาแล้ว มาทำปฏิกิริยากับสารละลายกรดไฮดรคลอริกเจ็อจางที่อุณหภูมิห้อง ทำให้เกลือแร่ส่วนใหญ่ ได้แก่ หินปูน ( $\text{CaCO}_3$ ) ถูกเปลี่ยนเป็นเกลือที่ละลายน้ำ ( $\text{CaCl}_2$ ) และก้าชการบอน ไครอ็กไซด์ ( $\text{CO}_2$ ) ดังสมการที่ 1 และพร้อมกันนี้ทำให้บางส่วนของรงควัตถุและโปรตีนที่ละลายได้ในกรดข้มถูกกำจัดออกไปด้วยในขั้นตอนนี้ด้วยเช่นกัน วัตถุที่ได้หลังจากการกำจัดเกลือแร่คือ กือ ไกคิน(Chititin)



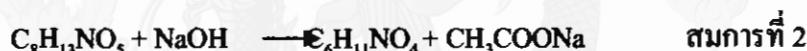
สมการที่ 1



หากเปรียบเทียบวัตถุคิบที่ใช้ในการผลิตไคดินระหว่างเปลือกปูและเปลือกหุ้งพบว่าการแยกแร่ธาตุออกจากเปลือกปูจะกระทำได้ยากกว่าเปลือกหุ้งและความเสื่อมของกรดไฮโดรคลอริก (HCl) ที่ใช้ในการแยกแร่ธาตุไม่ควรน้อยกว่า 0.7 ในคราร์อย่างไรก็ตามการใช้กรดมากเกินไปจะทำให้น้ำหนักไม่เหลือของไคโตกานลดลง (Myint et al., 2002)

### 3) กระบวนการกำจัดหรือลดหมู่อะซิติด(Deacetylation)

เป็นการเปลี่ยนแปลงทางเคมีที่ใช้ในการกำจัดหรือลดหมู่อะซิติด เพื่อให้เกิดเป็นไคโตกานซึ่งเป็นการเพิ่มขึ้นของหมู่อะนิโนบัน ไม่เหลือของไคดิน ดังสมการที่ 2 และหมู่อะนิโนนี้มีความสามารถในการรับประคองจากสารละลาย ซึ่งช่วยให้การละลายดีขึ้น เพราะมีสมบัติเป็นประจุบวก ส่วนใหญ่มีปริมาณของหมู่อะซิติดถูกกำจัดไปมากกว่า 60 เปอร์เซ็นต์ขึ้นไป สารไคโตกานที่ได้สามารถละลายได้ในกรดอินทรีย์หลาษนิค อาทิ เช่น กรดอะซิติก กรดแอลกอติก และกรดซิตริก เป็นต้น การลดหมู่อะซิติดกระทำการได้โดยใช้ด่างที่เข้มข้นสูงตั้งแต่ 40 เปอร์เซ็นต์ขึ้นไป ดังนั้น พารามิเตอร์ที่สำคัญในการพิจารณาสารไคโตกานก็คือ ค่าระดับการกำจัดหมู่อะซิติด (%DD) (สุวัล, 2542)



## คุณสมบัติทางเคมีกายภาพของไคดิน-ไคโตกาน

### 1) การละลาย (Solvability)

ไคดินจะไม่ละลายในน้ำ กรดเจือจาง ด่างทึ้งเจือจาง และเข้มข้น แอลกอฮอล์ และตัวทำละลายอินทรีย์ ความยากในการละลายของไคดินในตัวทำละลายต่าง ๆ เป็นผลมาจากการที่ไม่เหลือที่อยู่กันอย่างหนาแน่นมีพันธะเกิดขึ้นทั้งภายใน และระหว่างไม่เหลือ เนื่องจากหมู่ฟังก์ชันที่ต่างกันก็即 หมู่ไฮดรอกซิล และหมู่อะซิตามีโคล

ไคโตกานไม่ละลายน้ำ ด่าง และตัวทำละลายอินทรีย์ แต่สามารถละลายได้ในสารละลายที่เป็นกรด กรดอินทรีย์บางชนิด เช่น กรดไนตริก และ กรดไฮโดรคลอริก สามารถละลายไคโตกานได้เช่นกัน แต่ภายใต้อุณหภูมิที่สูงปานกลาง อย่างไรในบางครั้งอาจมีตะกอนขาวคล้ายเกลเกิดขึ้น (สุวนิญ และคณะ, 2544)

## 2)น้ำหนักโมเลกุล (Molecular weight)

น้ำหนักโมเลกุลเป็นสมบัติที่สำคัญในการนองอกสมบัติทั้งทางกายภาพ และทางเคมีของไคโตราน โดยทั่วไปไคตินในธรรมชาติจะมีน้ำหนักโมเลกุลสูงมากกว่า  $1 \times 10^6$  ในขณะที่ไคโตรานจะมีน้ำหนักโมเลกุลอยู่ในช่วง  $1 \times 10^5$ - $1.2 \times 10^6$  ขึ้นอยู่กับขั้นตอนในการผลิต การหาน้ำหนักโมเลกุลสามารถทำได้หลายวิธี เช่น ศึกษาสมบัติการกระเจิงของแสง การศึกษาสมบัติความหนืด และการใช้วิธีทางเคมีโดยกราฟฟี (วิภาวดี, 2543 )

## 3)ระดับการกำจัดหมู่อะซิติล (Degree of Deacetylation,%DD)

เป็นตัวบ่งชี้ความเป็นไคติน ไคโตราน เนื่องจากไคติน ไคโตรานเป็นโพลิเมอร์ระหว่างส่วนอนอเมอร์ของ N-acetyl-D-glucosamine และ D-glucosamine ถ้าสัดส่วนที่อยู่รวมกันของอนอเมอร์แรกมากกว่าจะมีค่า ระดับการกำจัดหมู่อะซิติลต่ำจะแสดงสมบัติเด่นของไคติน ถ้าสัดส่วนของอนอเมอร์หลังมากกว่าจะมีค่า ระดับการกำจัดหมู่อะซิติลสูงจะแสดงสมบัติเด่นของไคโตราน เช่น การละลาย ความหนืด การดูดความชื้น การดูดซับไขมัน และความสามารถในการถูกย่อยด้วย酵素 ไขน์ซึ่งมีผลโดยตรงต่อการนำไปประยุกต์ใช้ (มนคด, 2544)

## 4)ความหนืด (Viscosity)

ความหนืดของสารละลายไคโตรานขึ้นอยู่กับปัจจัยหลายอย่าง เช่น ระดับการกำจัดหมู่อะซิติล (%DD) น้ำหนักโมเลกุล ความเข้มข้น ionic strength ความเป็นกรด-ค้าง (pH) และอุณหภูมิ โดยทั่วไปแล้วความหนืดของสารละลายพอลิเมอร์จะลดลงเมื่ออุณหภูมิสูงขึ้น แต่ชนิดของกรดที่ใช้และการเปลี่ยนแปลง pH ของสารละลายพอลิเมอร์จะให้ผลความหนืดที่แตกต่างกัน เช่น ความหนืดของไคโตรานในกรดอะซิกจะเพิ่มขึ้นเมื่อสารละลายมีค่า pH ลดลง ในขณะที่ความหนืดของไคโตรานในกรดไออกไซคลอริกจะเพิ่มขึ้นเมื่อ pH ของสารละลายเพิ่มขึ้น

## 5)การจับตัว (Coagulating ability)

ไคโตรานเป็นตัวสร้างตะกอนและตัว凝聚ตะกอน (flocculant and coagulating agent) ที่ดีเนื่องจากการมีหมู่อะมิโนจำนวนมากที่สามารถแตกตัวเป็นประจุบวก และจับกับสารที่มีประจุลบไว้ เช่น โปรดีน สีข้อม และพอลิเมอร์อื่น จากการวิจัยประสิทธิภาพของไคโตรานในการแยกโปรตีนออก

จาก cheese whey พบว่าความสามารถในการจับปะตินเป็นสัดส่วนมากผันกับน้ำหนักโมเลกุลของไคโตรานนอกจากนี้ไคโตรานยังสามารถจับโลหะหนักได้ โดยในไครเจนในหมู่อะมิโนของ ไคโตราน จะทำหน้าที่เป็นตัวให้อิเล็กตรอนทำให้ไอออนของ โลหะสามารถสร้างพันธะเชิงซ้อน (coordinate) กับหมู่อะมิโนได้ นอกจากนี้ยังพบว่าหมู่อะมิโนของไคโตรานนี้ประสิทธิภาพในการจับกับไอออนของโลหะ ได้ดีกว่าหมู่อะซิດในไคติน ดังนั้นไคโตรานที่มี ระดับการกำจัดหมู่อะซิດ (%DD) สูงจะมี อัตราการคุกซับหรือความสามารถในการจับกับไอออนของโลหะสูง ความสามารถในการคุกซับ ไอออนของโลหะของไคโตรานยังขึ้นอยู่กับอีกหลายปัจจัย เช่น ความเป็นกรด-ด่าง และความสามารถในการคงคุณน้ำของไคโตราน (Li et al., 1992)

#### 6) Molecular conformation

ไคตินมีโครงสร้างของผลึก (crystal structure) ที่แข็งแรงและมีระดับของผลึก (degree of crystallinity) สูง รูปแบบผลึกของไคตินมี 3 ลักษณะ คือ  $\alpha$ -chitin,  $\beta$ -chitin และ  $\gamma$ -chitin แต่ละลักษณะ แตกต่างกันที่การเกิดระบบของผลึก (crystal system) และปัจจัยของการเกิดผลึก (crystal lattice) ของหน่วยเซลล์ (unit cell) ภายในโครงสร้างผลึก ความแตกต่างนี้เป็นพจนานາกรูปแบบการ เรียงตัวของโมเลกุลในผลึก สายโซ่ไม่เดกุลที่ขวางของไคตินจะมีการเรียงตัวเป็นแผ่นๆ แผ่นช้อนทับ กัน (pleated sheet) ในผลึกของหน่วยเซลล์ ซึ่งอาจเรียงตัวกันได้ 2 แบบ คือ แบบขนานที่มุ่งไป ในทิศทางเดียวกัน (parallel pattern) และแบบที่โครงสร้างเรียงตัวกันแบบสวนทางกัน (anti-parallel pattern)  $\alpha$ -chitin มีโครงสร้างการเรียงตัวแบบสวนทางกัน พนในไคตินของเปลือกหุ้ง และญี่ ส่วนไคตินที่พบในแกนปลาหมึกจะมีโครงสร้างที่เรียงตัวผูกไปทางเดียวกัน เกิดเป็น  $\beta$ -chitin การจัดเรียงตัว ของสายโซ่ไม่เดกุลแบบ  $\gamma$ -chitin นั้นเกิดจากโครงสร้างสลับกันระหว่างสองแบบที่กล่าวมาแล้ว

โดยธรรมชาติจะพบ  $\alpha$ -chitin ของไคตินมากกว่า  $\beta$ -chitin และ  $\gamma$ -chitin ทั้งนี้ เพราะมีการเกิด พันธะไไซโครเจนทึ้งภายในและระหว่างสายโซ่ของโมเลกุล (intramolecular และ intermolecular chain) มากกว่า จึงทำให้มีเสถียรภาพทางเคมี (chemical stability) มากกว่าแบบอื่น  $\beta$ -chitin มี เสถียรภาพทางเคมีรองลงมาจาก  $\alpha$ -chitin ทั้งนี้เนื่องจากมีปริมาณของพันธะไไซโครเจนน้อยกว่า การมี เสถียรภาพที่น้อยทำให้มันมีโอกาสเปลี่ยนแปลงรูปแบบของโครงสร้างจาก  $\beta$ -form เป็น  $\alpha$ -form ใน

สารละลายน้ำได้ นอกจากนี้ยังมีโอกาสจับกันในเกลุของน้ำอ่าย่างขาว เป็นไคตินที่มีน้ำอ่ายหนึ่ง ในเกลุ (chitin monohydrate) ได้อีกทางหนึ่ง

ไคโตรานเป็นพอลิอิเลคโทรไลท์ประเพณีบวก (cationic polyelectrolyte) เนื่องจากในสารละลายน้ำมีในในสากใช้ในเกลุจะรับประตอน แล้วอยู่ในรูป- $\text{NH}^+$ , conformation ของไคโตราน ในเกลุในสารละลายน้ำสามารถบ่งชี้ได้ค่า Mark Houwink exponent (ค่า a) ถ้า a มีค่าประมาณ 0, 0.5-0.8 และ 1.8 บ่งชี้ว่าพอลิเมอร์คดิวเป็นทรงกลม (sphere) มีลักษณะเป็น random coil และมีลักษณะเป็นแท่ง (rod) ตามลำดับ conformation ของไคโตรานในเกลุที่แตกต่างกันในสารละลายน้ำอ่าย กับ ionic strength ค่า pH อุณหภูมิ ความเข้มข้นของน้ำอ่าย น้ำหนักในเกลุ และระดับการกำจัดน้ำอ่าย (degree of deacetylation, %DD)(Chen and Tsaih, 1998)

### 7) การเสื่อมสภาพ (Degradation)

ไคติน-ไคโตรานก็เหมือนกับพอลิเมอร์หรือพอลิแซคการ์ไรด์อื่นที่ไว คือเมื่อเกิดการเสื่อมสภาพจะให้สากใช้ในเกลุที่สั้นลงเป็น ไอลิโภเนอร์ (oligomer) หรือ ไอลิโภแซคการ์ไรด์ (oligosaccharide) และเป็นหน่วยย่อยที่เล็กที่สุดที่เรียกว่า โนเมอร์ (monomer) หรือ โนโนแซคการ์ไรด์ (monosaccharide)

ไอลิโภเนอร์ ไอลิโภแซคการ์ไรด์ของไคตินและไคโตราน คือ  $N$ -acetyl-chitooligosaccharide และ chitooligosaccharides ตามลำดับ ส่วนโนโนเมอร์ ในโนโนแซคการ์ไรด์ของไคตินและไคโตรานคือ  $N$ -acetyl-D-glucosamine และ D-glucosamine ตามลำดับ

#### 7.1) การเสื่อมสภาพโดยกรด (acid hydrolysis)

การเสื่อมสภาพของสากใช้ในเกลุของไคโตรานเนื่องจากกรดเป็นแบบสุ่ม (random) พลิกกัยๆ ที่ได้คือ ไอลิโภเนอร์ขนาดต่างๆ และโนโนเมอร์ ซึ่งอ่ายกับสภาวะที่ใช้ เช่น ชนิดของกรด เวลา อุณหภูมิ ชนิดของพันธะของสากใช้ในเกลุ ชนิดของพอลิเมอร์ โดยไคตินจะสามารถด้านท่านต่อการเสื่อมสภาพโดยกรดได้ดีกว่าไคโตราน

#### 7.2) การเสื่อมสภาพโดยค่า (alkaline degradation)

การเสื่อมสภาพของสายใยในเลกุลของโพลิแซคคาไรด์ในด่างจะเริ่มจากปลายสุดของสายใยในเลกุล การเสื่อมสภาพแบบนี้เรียกอีกอย่างหนึ่งว่า peeling reaction

### 7.3) การเสื่อมสภาพโดยการสั่นโดยคลื่นเสียง (Degradation by sonication)

การเสื่อมสภาพโดยการสั่นโดยคลื่นเสียงควบคู่กับการใช้กรด มีผลให้ได้โอลิโกเมอร์ที่มีขนาดใกล้เคียงกันมากกว่าการเสื่อมสภาพโดยใช้กรดเพียงอย่างเดียว

### 7.4) การเสื่อมสภาพโดยเอนไซม์ (Enzymic degradation)

การเสื่อมสภาพโดยใช้เอนไซม์มีข้อดีกว่าการใช้สารเคมีคือ มีความจำเพาะเจาะจงมากกว่า การใช้สารเคมี เอนไซม์ที่ใช้ในการบ่อยสายใยไคติน-ไคโตซาน ได้แก่

chitinase สามารถบ่อยสายใยในเลกุลของไคตินแบบสุ่ม (random) ตรงตำแหน่งพันธะ 1, 4-linkage ได้เป็น N-acetyl-chitooligosaccharide

chitosanase สามารถบ่อยสายใยในเลกุลของไคโตซานแบบสุ่ม (random) ตรงตำแหน่งพันธะ 1, 4-linkage ได้เป็น chitooligosaccharide

lysozyme เป็นเอนไซม์ที่ทำหน้าที่คล้ายกับ chitinase

*N*-acetylglucosaminidase และ *N*-acetylhexosaminidase ทำหน้าที่บ่อยสาย *N*-acetylchitooligosaccharides เป็น *N*-acetyl-glucosamine โดยเริ่มจากปลายสายใยในเลกุล (non-reducing end)

### 7.5) การเสื่อมสภาพโดยความร้อน(Thermal degradation)

ความร้อนมีผลต่อสมบัติทางกายภาพของไคโตซาน จากการวิจัย พบว่า ความร้อนจากเตาอบซึ่งเป็นความร้อนแบบแห้ง (dry heat) ที่อุณหภูมน้อยกว่าหรือเท่ากับ 80 °C มีผลทำให้สายใยในเลกุลมีความยืดหยุ่นมากขึ้น Glass transition temperature ( $T_g$ ) ลดลง ความสามารถในการละลายเพิ่มขึ้น ส่วนความร้อนแบบแห้งที่อุณหภูมิสูง มีผลทำให้ไคโตซานเกิดสีเหลืองจนถึงสีน้ำตาล ขึ้นอยู่กับอุณหภูมิและระยะเวลา ที่อุณหภูมิสูงกว่าหรือเท่ากับ 120 °C ความสามารถในการละลายของไคโตซานจะลดลง ที่อุณหภูมิ 160 °C เวลานานกว่าหรือเท่ากับ 2 ชั่วโมง ไคโตซานจะไม่ละลายในกรดอะซิติก (0.2 M)/โซเดียมอะซีเตต (0.1 M)

สำหรับการอบแห้งแบบใช้ไอน้ำ (saturated steam) ไคโตกานจะไม่สามารถละลายหลังจากการอบที่อุณหภูมิ  $115^{\circ}\text{C}$  เป็นเวลา 2 ชั่วโมง และหลังการอบที่อุณหภูมินากกว่าหรือเท่ากับ  $120^{\circ}\text{C}$  เป็นเวลา 1 ชั่วโมง การอบที่อุณหภูมน้อยกว่าหรือเท่ากับ  $120^{\circ}\text{C}$  ไม่ทำให้เกิดการเปลี่ยนแปลงต่อสมบัติทางกายภาพของไคโตกาน (Lim et al, 1999)

#### 8) ความสามารถในการเกิดปฏิกิริยา

ไคโตกานประกอบด้วย 3 หมู่พิษกรันที่มีความว่องไวต่อการเกิดปฏิกิริยา คือหมู่อะมิโนที่ carbonyl บนตำแหน่งที่สอง (C-2) หมู่ Primary Alcohol ( $\text{CH}_2\text{OH}$ ) ที่ carbonyl บนตำแหน่งที่หก (C-6) และหมู่ Secondary Alcohol ( $\text{CHOH}$ ) ที่ carbonyl บนตำแหน่งที่สาม (C-3) การปรับปรุงโครงสร้างทางเคมี (Chemical Modification) ของทั้งสามหมู่พิษกรันนี้สามารถถูกทำให้เกิดวัสดุต่างๆ ในการใช้งานที่แตกต่างกัน (ภาวดี และคณะ, 2543) การนำไปใช้งานนี้จะขึ้นอยู่กับปัจจัยทางเคมี และกายภาพ ได้แก่ ระดับการกำจัดหมู่อะมิโนและความซึมปริมาณเดียวกัน ปริมาณไปร์ติน ความหนืด และน้ำหนักไม่เล็กน้อย เป็นต้น

#### สมบัติที่สำคัญของไคติน-ไคโตกาน

สมบัติที่สำคัญของชาติไคติน-ไคโตกาน มีดังต่อไปนี้

- เป็นวัสดุทางชีวภาพ (Biomaterial) ที่มีความเข้ากันได้ทางชีวภาพ (Biocompatibility) และเป็นสารที่มีส่วนร่วมในกิจกรรมทางชีวภาพ (Bioactivity) อีกทั้งย่อยสลายได้เองตามธรรมชาติ (Biodegradable) สามารถนำมาเป็นสารตั้งต้น (Precursor) ในการแปรรูปไปเป็นผลิตภัณฑ์มูลค่าเพิ่ม (Value Added Product) ต่างๆ และสารอนุพันธ์อื่นๆ ได้มากนanya ดังนั้นจึงปลอดภัยในการใช้กับมนุษย์ สัตว์ และสิ่งแวดล้อม (Chang et al., 1997; Hirano, 1996; Muzzarelli, 1977)
- ไคโตกานเป็นสารโพลิเมอร์ที่มีประจุบวก (Positive Charge) สามารถที่จะเกิดปฏิกิริยา กับของแข็งอินทรีบ (Organic Solid) และพื้นผิวเซลล์ (Cell Surface) ที่มีประจุลบ ดังนั้นจึงนิยมประยุกต์ใช้ไคโตกานในอุสาหกรรมบำบัดน้ำเสีย (ເຫວາກ, 2534; Hirano, 1996; Win, 1996)
- สามารถขึ้นรูปได้หลายแบบ เช่น เป็นเจล (Gel) เม็ด (Bead) เส้นใย (Fiber) สารละลาย (Solution) colloidal ฟิล์ม (Film) และสารเคลือบ (Coat) เป็นต้น ทำให้การประยุกต์ใช้งาน

แยกต่างกัน เช่น ถ้าเป็นเจลหรือสารละลายก็จะใช้ในเครื่องสำอาง ใช้เป็นสารช่วยดักตะกอน ใช้เป็นสารเคลือบผิว ใช้เป็นสารต่อต้านแบคทีเรียและเชื้อรา (Bacteriostatic agent and Fungistatic agent) เป็นพิล์มจะใช้ในงานด้านตกแต่งบ้าดแพลงเป็นสารเคลือบไคลอไซซ์เมมเบรน (Dialysis Membrane) เป็นต้น (Shigemasa et al. 1998)

### การวิเคราะห์คุณภาพไคโ拓ชาน

วิธีการตรวจวิเคราะห์มาตรฐานของไคโ拓ชาน ต้องแต่เป็นวัตถุคิบ โดยนำไคโ拓ชานที่อยู่ในรูปผงมาทำการละลายในกรดอินทรีย์เข้มข้น 1% จนละลายหมด แล้วนำไปวิเคราะห์หาค่าคุณสมบัติคังนี้

- ค่าการกำจัดหมู่อะซิติด (Degree of Deacetylation, %DD) จะเป็นตัวชี้ว่าสารที่นำมาวิเคราะห์มีคุณสมบัติความเป็นไคโ拓ชานมากน้อยแค่ไหน โดยพิจารณาที่เปอร์เซ็นของ กำจัดหมู่อะซิติด ถ้ามี %DD สูงกว่า 70% แสดงว่าเป็นสารไคโ拓ชานที่สามารถนำมาใช้ได้ แต่ถ้าสูงกว่า 90% ก็แสดงว่าไคโ拓ชานนั้นมีคุณภาพสูงเหมาะสมกับการนำไปประยุกต์ใช้ในด้านต่างๆ ได้ โดยวิธีวิเคราะห์หาค่า %DD ซึ่งเป็นมาตรฐานในต่างประเทศ คือ วิธีการวิเคราะห์โดยวิธีฟูเรียร์สเปกตรัม อินฟราเรดสเปกโตรสโคป (Fourier Transform Infrared Spectroscopy , FT-IR)

- การหาหนักโมเลกุล (Molecular weight) ของไคโ拓ชาน ซึ่งมีความแตกต่างกันจะมีประสิทธิภาพในการนำไปใช้งานที่แตกต่างกัน ตามวัตถุประสงค์การใช้งาน โดยมีวิธีการวัดหนักโมเลกุล อาทิเช่น การวัดความหนืดของสารละลาย และ เจลเพอร์มีเอชั่น โคลามาโทกราฟี เป็นต้น

- ความบริสุทธิ์ของไคโ拓ชาน (Purity) จะวัดจากปริมาณสารปนเปื้อนต่างๆ ที่มีอยู่ในวัตถุคิบของไคโ拓ชาน สารปนเปื้อนส่วนใหญ่ได้แก่ โลหะหนัก เท妞 โปรดีน ในไคโ拓ชานที่มีความบริสุทธิ์ต่ำ ไม่เหมาะสมที่จะนำมาใช้ในการผลิตอาหาร สาเหตุการปนเปื้อนอาจเนื่องมาจากสิ่งแวดล้อม หรือแหล่งน้ำที่จับสัดว่าน้ำที่เป็นวัตถุคิบขึ้นมา เช่น ในแหล่งน้ำที่มีการปนเปื้อนของโลหะหนัก สารเคมีหรือยาปฏิชีวนะ ตลอดจนจุลทรรศ์ที่ก่อโรค เช่น *E. coli* และ *Vibrio spp.* วิธีการตรวจวัดสารปนเปื้อนต่างๆ สามารถทำได้โดยใช้วิธีเดียวกับการวิเคราะห์สารปนเปื้อนในอาหาร (คำaire, 2543)

## 2. การสร้างอนุภาคนาโนไคโตซาน

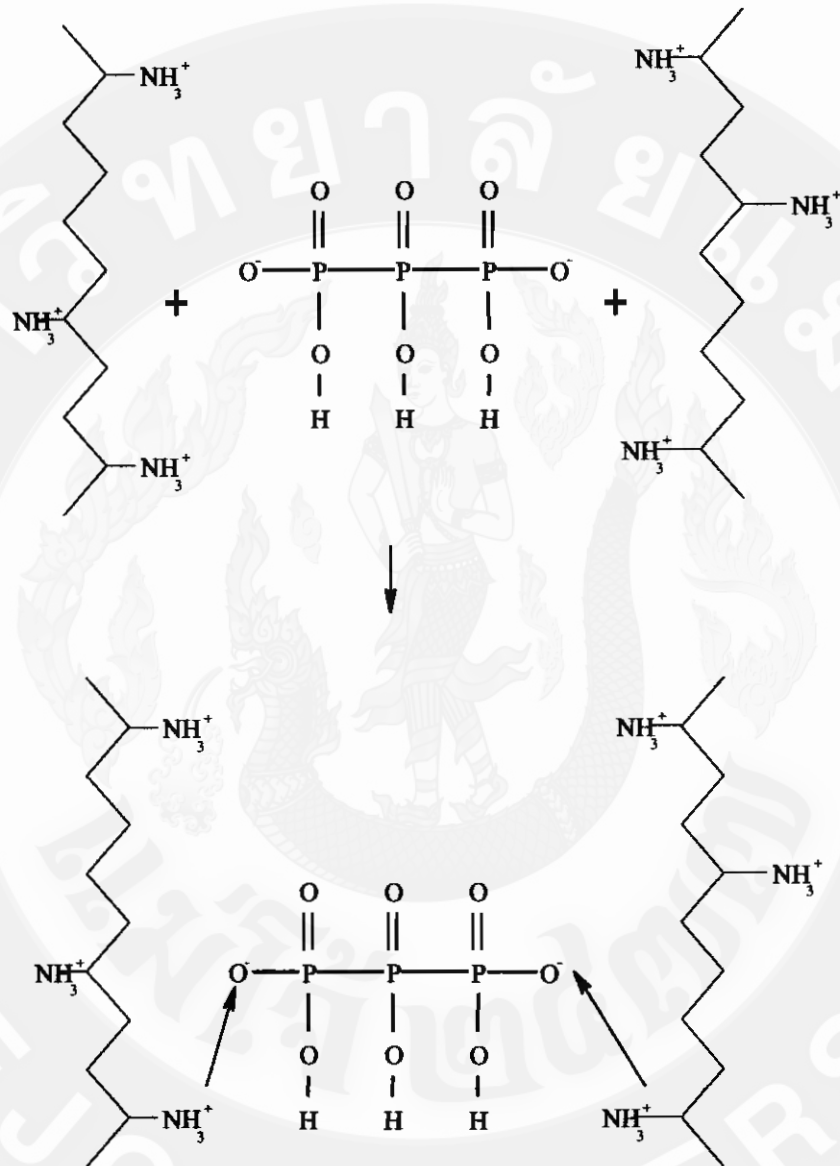
ในการสังเคราะห์อนุภาคนาโนไคโตซานมีหลายวิธี สำหรับการวิจัยนี้ใช้ วิธี ได้แก่

### 1) เทคนิคเอมอลชัน (Emulsion technique)

เป็นการเตรียมอนุภาคนาโนไคโตซานในด้วยการเติมสารลดแรงตึงผิว เกิดการทำปฏิกิริยาเชื่อมข่วงกัน (cross linking) ระหว่างกลุ่มอะมิโนเจนที่มีประจุบวกจากไคโตซานกับกลุ่มฟอสเฟต ซึ่งมีประจุลบจากสารไตรโพลิฟอสเฟตซึ่งเกิดขึ้นภายในไมโครล็อด

### 2) เทคนิคไอโอนิกเจลเลชัน (Ionic gelation technique)

การเตรียมอนุภาคนาโนไคโตซาน (Chitosan nanoparticles) ด้วยเทคนิคไอโอนิกเจลเลชัน (ionic gelation technique) ถูกรายงานโดย Calvo et al (1997) จะอาศัยหลักการของแรงคึคูคระหว่างประจุที่ตรงกันข้ามของสารละลายพอลิเมอร์ในน้ำที่เจือจางหรือสารละลายพอลิเมอร์ในน้ำที่เจือจาง กับสารประกอบที่มีประจุตรงกันข้ามกับพอลิเมอร์เกิดเป็นอนุภาคนาโน (nanoparticles) ดังแสดงในภาพ 4 เทคนิคไอโอนิกเจลเลชันเป็นวิธีหนึ่งที่นิยนใช้เตรียม polymeric nanoparticles เนื่องจากเป็นวิธีที่ง่ายสะดวกเครื่องมือที่ใช้ไม่ซุ่งยาก อย่างไรก็ตามวิธีนี้ปัจจุบันฯ มากماที่ต้องศึกษาหรือควบคุม เช่น ความเข้มข้นของพอลิเมอร์ น้ำหนักโมเลกุลของพอลิเมอร์ สัดส่วนของพอลิเมอร์ที่ใช้ ชนิดของพอลิเมอร์ อัตราเร็วในการกวน และ ขนาดของเข็มที่ใช้หดคลื่นสารละลาย เป็นต้น เนื่องจากปัจจัยเหล่านี้ มีผลต่อขนาดและการกระจายตัวของขนาดอนุภาคที่เตรียมขึ้นได้ ดังนั้นจึงจำเป็นต้องหาสภาวะที่เหมาะสมที่สุดในการเตรียม polymeric nanoparticles



ภาพ 3 การเข้ามายิงพันธะไออกอนิกระหว่างหมู่ฟอสเฟตไออกอนของไขเดี่ยมไครพอติฟอสเฟต กับหมู่แอนไมเนทีนไออกอนของไคโตราน

ที่มา : Mi et al. (2003)

### 3. การใช้ประโยชน์ไคคินและไกโตกาน

มีการนำไคคินและไกโตกานไปใช้ในด้านต่างๆ มากมายหลายด้าน ได้แก่

#### 1) ด้านการเกษตร

การศึกษาวิจัยเพื่อนำสารไคคิน-ไกโตกานมาใช้ในการเพิ่มผลผลิตทางการเกษตรทั้งพืช และสัตว์ได้เกิดขึ้นอย่างแพร่หลายเนื่องจากการใช้ไคคินและไกโตกานให้ผลคุณภาพดีในเรื่องของการเป็นสารชรรนชาติที่ช่วยลดความเสี่ยงของเกษตรกรและผู้บริโภคต่อการได้รับสารพิษจากปุ๋ยและยาปesticide ศัตรูพืช หรือแมลงศัตรูพืช ที่สามารถช่วยเพิ่มผลผลิต ช่วยยืดอายุการเก็บรักษาพืชผลทางการเกษตร ใช้เป็นสารปรับสมดุลคินสำหรับเพาะปลูก ใช้ในการเคลือบเม็ดพืช ใช้ผลิตอุปกรณ์ทางการเกษตร รวมถึงสามารถย่อยสลายทางชีวภาพได้และปลดปล่อยกัญชาต่อสภาพแวดล้อม การใช้ประโยชน์จากไคคินและไกโตกานทางด้านการเกษตร สามารถนำไปใช้ได้ในเกือบทุกขั้นตอนหรือก่อนกระบวนการ ส่วนการศึกษาในกรณีของสัตว์ พนบว ไกโตกานสามารถใช้เป็นสารเร่งการเจริญเติบโตของสุกรได้ โดยในอัตราแลกเปลี่ยนเพิ่มขึ้นและสามารถลดค่าปริมาณการใช้ยาปฏิชีวนะได้ในปริมาณมาก ทำให้สุกรมีสุขภาพแข็งแรงขึ้น ลดอาการป่วยของสุกรภายในฟาร์ม และลดต้นทุนการผลิตลงได้ (ปีบะบุตร, 2543) นอกจากนี้ยังมีการทดลองใช้ไกโตกานผสมในอาหารสำหรับกับไก่เนื้อ (ปีบะบุตร และสุวัตี, 2543) และเป็ดเนื้อ (ปีบะบุตร และคณะ, 2543) ซึ่งมีผลทำให้มีอัตราการเจริญเติบโตดี ขนสวย สุขภาพแข็งแรงสมบูรณ์กว่ากบฏุ่นที่ไม่ได้ใช้ไกโตกาน

#### 2) ด้านเส้นใยและสิ่งทอ

ไคคินและไกโตกานสามารถนำไปใช้ผลิตเป็นเส้นใยและเส้นด้าย ใช้เป็นสารตกแต่งสำเริงสิ่งทอ (Textile finishing agent) นอกจากนี้ยังสามารถใช้วิธีนำไกโตกานไปเคลือบลงบนเส้นใย หรือเส้นด้ายชนิดอื่น เช่น เครื่องเส้นด้ายฝ้ายที่เคลือบด้วยไกโตกาน (Chitosan coated cotton fiber, CCCF) นอกจากนี้ (Lim and Hudson, 2002) ยังได้พัฒนาสารตกแต่งเพื่อป้องกันเชื้อฤทธิ์ที่มีความวงศ์ไวและสามารถสร้างพันธะที่แข็งแรงกับเส้นใย โดยการสังเคราะห์สาร NMA/GTMAC-Chitosan ซึ่งได้จากการนำไกโตกานมาทำปฏิกิริยากับ glycidyltrimethyl ammoniumchloride เพื่อให้ได้ GTMAC-Chitosan แล้วนำไปทำปฏิกิริยากับ N-methylolacrylamide เพื่อให้ได้สารที่ต้องการ คาดว่าสารนี้จะสามารถสร้างพันธะไกโตกานต์กับเซลลูโลสได้

#### 3) ด้านอาหาร

จากสมบัติของ ไค โโคชาน ในด้านการขับยึง เชือจลูเชิพ เซ่น แบนคทีเรีย เชื้อร่า นับเป็นจุดเด่น ที่สำคัญคือการนำมาใช้ประไบชน์ในด้านการถabilization อาหาร เช่น ในการเก็บรักษาเนื้อปลา (Tsai et al., 2002) พบว่า ไค โโคชานจากเปลือกถุงที่มีค่าระดับการกำจัดหมู่อะชีดิลสูงๆ เช่น 95-98% DD มีประสิทธิภาพในการขับยึง เชือจลูเชิพ ให้ลดพะ เชือแบนคทีเรีย ซึ่งสามารถลดเวลาของการเก็บรักษาได้จาก 5 วัน เป็น 9 วัน นอกจากนี้ยังมีการนำไปใช้ในเครื่องปักรถอาหาร เช่น ชีอิ้ว เป็นต้น ไค โโคชานยังถูกนำมาใช้เป็นสารเติมแต่งในกระบวนการผลิตอาหารและเครื่องดื่มหลากหลายชนิด และสามารถนำมารีบูฟฟ์รูปเป็นแผ่นพิมพ์ได้ จึงมีการผลิตเพื่อนำมาใช้เป็นพิมพ์ห่อหุ้มเพื่อถนอมอาหาร

#### 4) ด้านการบำบัดน้ำ

ไค โโคชานมีประจุเป็นบวกและมีคุณสมบัติเป็นพอลิเมอร์ผสม (heteropolymer) ของ D - glucosamine และ N-acetyl-glucosamine ซึ่งสามารถดักจับ คุคชบ. ไขมัน และโลหะหนักต่างๆ ได้ เช่น สารหนู แคมเมิลน ทองแดง ตะกั่ว ปรอท สังกะสี นิกเกิล เป็นต้น (สุชา และคณะ, 2544) จาก การศึกษาที่ผ่านมา พบร่วมกับ ไค โโคชานมีประสิทธิภาพในการใช้เป็นสารตอกตะกอนชีวภาพ (bioflocculant) ในการบำบัดน้ำเสียจากอุตสาหกรรมอาหาร เช่น (Selmer et al., 1996) พบร่วมกับ CMC เพื่อแยกโปรตีนและไขมันออกจากน้ำเสียของอุตสาหกรรมการผลิตนมนั้นให้ผลดี ก้อนอกจากจะเป็นระบบการบำบัดด้วยสารจากระยะชาติ แล้ว ยังทำให้น้ำเสียสามารถนำไปบำบัดต่อได้ง่ายขึ้น ลดปริมาณการใช้สารเคมีเพื่อปรับ pH และ sludge ที่ต้องแยกออกอ่อน化ได้

นอกจากนี้เมื่อนำไค โโคชานไปใช้เป็นสารตอกตะกอนชีวภาพในบ่อเลี้ยงถุง ยังพบว่า สามารถลดความชื้น ปริมาณตะกอนแขวนลอย ตลอดจนค่า BOD และ COD ลงได้ ทำให้น้ำในบ่อ มีคุณภาพดีขึ้นและส่งผลให้ได้ผลผลิตถุงปริมาณมากขึ้นและมีน้ำหนักเฉลี่ยถุงขึ้น (Wanichpongpan และคณะ, 2002) นอกจากนี้ยังมีงานวิจัยอีกเป็นจำนวนมากที่ศึกษาวิจัยเกี่ยวกับการใช้ไคติน-ไค โโคชานเป็นตัวจับ ไอออน โลหะ ในน้ำทิ้ง เช่น ไอออนของปรอท ทองแดง ตะกั่ว แคมเมิลน เป็นต้น (Felse and Panda, 1999)

#### 5) ด้านเครื่องสำอาง

ไคโตกานเป็นสารประเภท non-toxic polyelectrolyte ที่มีประโยชน์ต่อการประยุกต์ใช้ในผลิตภัณฑ์เครื่องสำอางทั้งนี้ เพราะ ประจุบวกของหมู่แอมโมเนียม ( $-NH_3^+$ ) ที่เริ่งรายอยู่บนโครงสร้างของไคโตกานจะมีความว่องไวต่อการจับกับผิวน้ำและเส้นผมที่ประกอบด้วยสาร mucopolysaccharides โปรตีน และไขมัน ที่มีประจุลบได้เป็นอย่างดี ไคโตกานที่เคลือบอยู่นี้จะก่อตัวเป็นฟิล์มนบางๆ พร้อมกับคุณลักษณะที่ช่วยให้มันเอ้าไว จึงช่วยรักษาความชุ่มชื้น และความยืดหยุ่นให้แก่ผิวน้ำและเส้นผม และนอกจากนี้จากสมบัติในการซึมน้ำยังช่วยเบรกที่เรียกและลดอาการระคายเคืองหรือคนศีรษะแล้ว อันตรายที่เกิดขึ้นระหว่าง พอลิแซกคาไรด์ และ โปรตีนของเส้นผมยังมีส่วนในการเพิ่มความเงางามให้แก่เส้นผมอีกด้วย (Dunn et al., 1997) ปัจจุบันผลิตภัณฑ์เครื่องสำอางที่มีส่วนผสมของสาร ไคติน-ไคโตกาน ได้แก่ ครีม และโลชั่นบำรุงผิว แชมพู โลชั่นบำรุงผิว แป้งแต่งหน้า ยาทาเล็บ ยาสีฟัน และน้ำยาล้างจาน เป็นต้น

#### 6) ด้านการแพทย์และเภสัชกรรม

ไคติน-ไคโตกานเป็นสารธรรมชาติที่มีความเข้ากันได้กับเนื้อเยื่อและเซลล์ของร่างกายสามารถดูดประทานได้ และยับยั้งสภาพได้ตามธรรมชาติโดยไม่เป็นพิษต่อร่างกาย จึงมีงานวิจัยจำนวนมากที่ให้ความสนใจกับการนำสาร ไคติน-ไคโตกานมาประยุกต์ใช้ทางด้านการแพทย์ และเภสัชกรรม เช่น ใช้ในวัสดุทดแทนกระดูก ใช้ทางด้าน Tissue Engineering ใช้เป็นวัสดุปิด布囊 แพลท ใช้ทางด้านระบบนำส่งยา (drug delivery system) และ ใช้เป็นสารป้องกันการจับตัวเป็นก้อนของเลือด (blood anticoagulant) และสารห้ามเลือด (hemostatic) เป็นต้น

### 4. การใช้ประโยชน์อนุภาค nano ไคโตกาน

อนุภาค nano ไคโตกานเป็นพอลิเมอร์ที่มีประจุบวกเตรียมได้จากไคโตกาน มีคุณสมบัติพิเศษ คือสามารถเข้ากันได้กับเซลล์ของสิ่งมีชีวิต สามารถยับยั้งสภาพได้ทางชีวภาพ สามารถยับยั้งการเจริญเติบโตของเชื้อราและแบคทีเรีย สามารถก่อตัวเป็นฟิล์ม ร่างแท (matrix) และเจล (ionotropic gel) ซึ่งคุณสมบัติเหล่านี้ ทำให้ออนุภาค nano ไคโตกานมีความเหมาะสมที่จะเตรียมเป็นอนุภาคและใช้เป็นตัวพา (carrier) ตัวชีดกำลังสารว่องไว (active molecules) ต่างๆ ไปยังอวัยวะเป้าหมาย (target organs) ใช้ได้กับสารชีวภาพนิคต่างๆ เช่น วิตามิน โปรตีน ยา วัคซีนเป็นต้น ในช่วง

ทศวรรษที่ผ่านมาเทคโนโลยีในการพัฒนาอย่างสูงเพื่อใช้ประโยชน์ ทั้งทางค้านวิทยาศาสตร์ วิศวกรรม การแพทย์-เภสัชกรรม และทางการเกษตร

ตัวอย่างการสร้างอนุภาคนาโนไครโตกานาในไครโตกานา เพื่อเพิ่มประสิทธิภาพของยา สารชีวเคมี สารเคมี และการแพทย์ เช่นการสร้าง immunosensor electrode โดยการตรึงแอนติบอดี้บนฟิล์มชีว (Lei et al., 2003) การสร้างอนุภาคนาโนไครโตกานาเพื่อช่วยเสริมสร้างการปลูกถ่ายเซลล์กระดูก โดยใช้ chitosan-hydroxyapatite (Hap) (Chen et al., 2004) และโดยใช้ chitosan-calcium phosphate cement (CPC) (Xu et al., 2007) การสร้าง horseradish peroxidase (HRP) electrode เพื่อใช้ในการตรวจวัด ไข่โคโรน่าเปอร์ออกไซด์ โดยการตรึง HRP ในอนุภาคนาโน chitosan-scaled particulate gold (nano-Au)(Nie and Wang, 2007) การสร้างอนุภาคนาโน chitosan-viral vaccine เพื่อเพิ่มประสิทธิภาพและการนำพาเข้าสู่เซลล์ ด้วยการฉีดพ่นเข้าจมูก (Borges et al., 2006; Amidi et al., 2007) และด้วยการฉีดเข้ากล้ามเนื้อ (Zhou et al., 2007) การสร้างอนุภาคไครโตกานา-hydroxyl apatite (HAp) เพื่อนำพาชิ้น DNA (DNA delivery) เข้าสู่เซลล์กระดูกเป้าหมาย (Nie and Wang, 2007) การตรึงเอนไซม์ไลපีสในสกาว chitosan-lipase nanoparticle เพื่อใช้ในการผลิต glycerol และ fatty acid ซึ่งนำไปใช้ในอุตสาหกรรมอาหารและยา (Tang et al., 2007)

## 5. การใช้ออนุภาคนาโนไครโตกานาในสัตว์วัน้ำ

การป้องกันและรักษาโรคในกุ้งเป็นปัญหาสำคัญที่ยังไม่สามารถจัดการได้อย่างเด็ดขาด การใช้สารเสริมอาหาร วิตามิน สารสกัดค่างๆ ในกุ้ง ต้องใช้วิธีผสมอาหารให้กุ้งกิน สารชีวะ ไม่เกิดภัยแล้วนั้นก็เป็นสารชีวะไม่เกิดภัยที่ถูกทำลายได้จากออกซิเจนในอากาศและในน้ำ และยังมีโอกาสละลายออกจากอาหารเม็ดสูญเสียไปในน้ำ ทำให้ปริมาณและคุณภาพไม่คงที่ ไม่แน่นอนต้องแก้ไขโดยการเพิ่มปริมาณผสมให้นากขึ้นอย่างน้อย 2 เท่าเพื่อไว้สำหรับการสูญเสียคงคล่อง ทำให้เกิดการสูญเสียซึ่งช้อนในการใช้สารชีวภาพซึ่งมีราคาแพงในปริมาณเพิ่มขึ้น เกษตรกรต้องเสียค่าใช้จ่ายเพิ่มขึ้น และสำหรับสารที่ต้องนำเข้า ก็ต้องเสียค่าใช้จ่ายนี้เพิ่มขึ้น

การประยุกต์ใช้ออนุภาคนาโนไครโตกานาในไครโตกานาในด้านประมงซึ่งมีรายงานน้อยมาก ได้แก่

การสร้าง chitosan-alginate microcapsule เพื่อนำมา Vibrio vaccine โดยการผสมอาหารกิน (Polk et al.,1994)

การเตรียมอนุภาคนาโนใน chitosan-plasmid DNA เพื่อใช้ในการนำพา DNA vaccine เข้าร่างกายปลา rainbow trout โดยการแช่ในความเข้มข้น 5 - 15 ug/ml (Romøren et al., 2002)

การเตรียมเซลล์ microcapsule ของไข่ไก่อัลจี *Haematococcus pluvialis* เคลือบไคโตรานเพื่อรักษารงค์วัตถุแดง astaxanthin ได้นานถึง 24 สัปดาห์ (Kittikaiwan et al., 2007)

การสร้างและนำอนุภาคนาโนไคโตราน-pVP28 ให้กับกุ้งกุลาดำกิน พบว่า กุ้งสามารถสร้างการต่อต้านเชื้อไวรัสสำคัญ WSSV ได้ดี (Rajeshkumar et al., 2009)

จะเห็นได้ว่า เทคโนโลยีของอนุภาคนาโนไคโตรานกำลังถูกพัฒนาใช้ประโยชน์ในหลายๆ ด้าน แต่การศึกษาวิจัยด้านการประมงและการเพาะเลี้ยงสัตว์น้ำยังมีน้อยมาก และยังไม่มีรายงานการศึกษาวิจัยในระดับอนุภาคนาโนชีวภาพในการเพาะเลี้ยงสัตว์น้ำของไทย ทั้งที่การเพาะเลี้ยงสัตว์น้ำเป็นอุตสาหกรรมที่สำคัญ เป็นแหล่งผลิตโพรตีนคุณภาพสูงที่มีราคาไม่แพง เช่น ปลา น้ำจืดชนิดต่างๆ และยังเป็นอุตสาหกรรมที่ทำรายได้เข้าประเทศสูง โดยเฉพาะการส่งออกกุ้งทะเลที่มีมูลค่าปีละไม่น้อยกว่า 6 หมื่นล้านบาทตั้งแต่ปี 2545 นอกจากนี้ความต้องการบริโภคกุ้งก้านกรามของต่างประเทศก็มีเพิ่มขึ้นเป็นลำดับเช่นกัน

## ดูปกรณ์และวิธีการดำเนินการวิจัย

### 1. การสร้างอนุภาคนาโนไคโตซาน

#### 1.1 การสร้างอนุภาคนาโนไคโตซานเปล่า

ไคโตซาน ที่ % DD = 80-95 และ MW = 50,000 –200,000KDa โดยแบร์พันความเข้มข้นที่ 0.5, 1.0, 1.5 และ 2.0 % ดังนี้ (1) วิธี ionotropic gelation โดยใช้ crosslinker แตกต่างกัน 2 ชนิด คือ glutaraldehyde (GA) ที่ 0.4 % โดยแบร์พันความเร็วการวนที่ 150, 500, 700 และ 1,000 rpm และ sodium tripolyphosphate (TPP) ที่ความเข้มข้นของ 1.0 mg/ml และ (2) วิธี microemulsion method โดยใช้ TPP ที่ความเข้มข้นของ 0.5mg/ml

ในการเตรียมอนุภาคนาโนไคโตซานด้วยวิธี microemulsion method ทำโดยการตีปั่นไฟสน้ำมันและไฟน้ำ โดยใช้เครื่องปั่นผสมความเร็วสูง (homogenizer) ที่ความเร็วรอบ 16,000 rpm เป็นเวลา 2 นาทีจากนั้นค่อยๆ หยดสารละลาย TPP เข้มข้น 0.5 %w/v (40 ml) แล้วกวนที่ อุณหภูมิห้องเป็นเวลา 1 ชั่วโมงน้ำสารผสมไปปั่นเหวี่ยงเพื่อแยกตะกรอนหรืออนุภาคที่ก่อตัวขึ้นออก จากส่วนที่เป็นของเหลว สังขอนุภาคด้วยสารละลายสารลดแรงตึงผิว tween 60 เข้มข้น 0.1 % และน้ำ กลั่น กลับกับการปั่นเหวี่ยง เพื่อกำจัดน้ำมันจากน้ำสังขอนุภาคด้วยอะซิโคน แล้วนำไปปั่นเหวี่ยง เทส่วนที่ เป็นของเหลวทั้ง แบ่งอนุภาคเป็น 2 ส่วน ส่วนหนึ่งเก็บที่อุณหภูมิ 4°C อีกส่วนหนึ่งนำไปทำแห้งใน ระบบสูญญากาศ แล้วเก็บในไครอคามาร์ชีน ที่อุณหภูมิห้องเพื่อรอวิเคราะห์/ตรวจสอบต่อไป

สำหรับการเตรียมอนุภาคนาโนไคโตซานด้วยวิธี ionic gelation ทำโดยหยด cross-linker 50 ml ลงในสารละลายไคโตซานในกรดอะซิติก 3 % ปริมาตร 100 ml ผ่านทาง syringe ที่ อุณหภูมิห้อง เป็นเวลา 60 นาที โดยจะเกิดเป็นก้อนลอดอยู่ที่มีลักษณะสีขาวบุ่นเกิดขึ้นจากนั้นนำสาร แอลกอฮอล์ไปปั่นเหวี่ยงเพื่อแยกอนุภาคนาโนไคโตซานออก โดยปั่นที่ 20,000 x g ด้วยอุณหภูมิ 4°C เป็นเวลา 30 นาที

## **1.2 การสร้างอนุภาคนาโนไคโตกาน - สารสกัดสมุนไพร**

ทำเช่นเดียวกับการสร้างอนุภาคนาโนไคโตกานเปล่า แต่ผสมสารสกัดสมุนไพรในสารละลายน้ำได้โดยใช้สารสกัดที่ความเข้มข้นต่างๆ

### **2. การศึกษาคุณสมบัติทางกายภาพของอนุภาคนาโนไคโตกาน**

#### **2.1 Scan electron microscope (SEM)**

นำสารเหลอนุภาคนาโนไคโตกานมากระเจิดตัวในน้ำ โดยใช้เครื่อง vortex จากนั้นหยดลงบน载玻片 บนกระดาษปีกสไลด์ซึ่งวางบนสตั๊ปที่มีคันดึงเทาไว้สำหรับอ่อนต้องหัวน้ำ ทำแห้งในระบบสูญญากาศเป็นเวลา 1 วัน จากนั้นนำไปตรวจสอบโดยกล้องจุลทรรศน์อิเล็กตรอนแบบส่องแอลจาร์ด [JEOL รุ่น JEM LV 5600]

#### **2.2 Transmission electron microscope (TEM)**

ทำได้โดยนำ copper grid ไปแตะบนหยดของเหลวสารตัวอย่างจะกระเจิดตัวในน้ำ จากนั้นช้อนสารตัวอย่างที่มากเกินพอกออกจากการติดโดยใช้กระดาษกรอง ทำแห้งในระบบสูญญากาศเป็นเวลา 1-2 วัน แล้วนำไปตรวจสอบโดยกล้องจุลทรรศน์อิเล็กตรอนแบบส่องผ่าน [JEOL รุ่น JEM - 1220]

#### **2.3 Fourier transform infrared spectrophotometer (FTIR)**

นำเหลอนุภาคนาโนไคโตกานมาทำแห้งด้วยระบบ freeze dry จากนั้นนำไปตรวจสอบโดยรังสีทางเคมี ด้วยเครื่อง FT IR [ThermoNicolate Nexus 670]

#### **2.4 การวัดขนาดของอนุภาคนาโนไคโตกาน**

นำเหลอนุภาคนาโนไคโตกานมาทำแห้งด้วยระบบ freeze dry จากนั้นนำไปตรวจสอบโดยรังสีทางเคมี ด้วยเครื่อง nanosizer

### 3. การวิเคราะห์ปริมาณแทนนิน

#### 3.1 การเตรียม stock standard tannic solution

- เตรียมแทนนิน 10.0 mg ละลายตัวบน้ำกลั่น 100 ml
- เตรียมสารละลายแทนนินให้ได้ความเข้มข้น 50, 40, 30, 20, 10, and 5 g แล้วใส่ Folin-Ciocalteu's reagent
- ใช้ volumetric flask ปรับปริมาตรเป็น 10 ml ด้วย 33% Na<sub>2</sub>CO<sub>3</sub>, 10H<sub>2</sub>O แล้วกรอง
- ทำการวัดค่าดูดกลืนแสงที่ A = 720 nm โดยเทียบกับตัวอย่างที่ไม่ใส่สารละลาย

#### 3.2 การหาปริมาณโพลีฟีนอลแแกะแทนนิน

- solution1 (S1) เตรียมจาก BSS (basic sample solution, BSS) 2ml ผสมกับน้ำ 8ml และ acetate buffer 10 ml
- solution 2 (S2) เตรียมโดยนำ S1 10 ml ผสมกับ casein 50 mg เผาเป็นเวลา 45 min เพื่อให้มีการดูดซับแทนนิน แล้วกรอง (adsorption of tannins)
- S1 1 ml ผสมกับ FCR 0.5 ml ปรับปริมาตรเป็น 10ml ด้วย 33% Na<sub>2</sub>CO<sub>3</sub>, 10H<sub>2</sub>O
- ทำการวัดค่าดูดกลืนแสงที่ A = 720 nm โดยเทียบกับตัวอย่างที่ไม่ใส่สารละลาย

### 4. การศึกษาประสิทธิภาพการบรรจุ

นำไครโคไซด์อุตสาหกรรมที่มีสารชีวภาพบรรจุอยู่มาทำการปั่นแยกตะกอนโดยการปั่นเหวี่ยงที่ 20,000 x g ด้วยอุณหภูมิ 4°C เป็นเวลา 30 นาทีเทส่วนไสเก็บไว้น้ำส่วนไสสารละลายชีวภาพเริ่มต้นและน้ำส่วนไส ไปทำการหาค่าแทนนินแล้วนำค่าที่ได้มาทำการคำนวณเพื่อค่าประสิทธิภาพการบรรจุ (encapsulation efficiency, %EE) จากสมการดังต่อไปนี้

$$\% \text{ encapsulation efficiency} (\% \text{EE}) = (A - B) / A \times 100$$

A, ความเข้มข้นของสารชีวภาพก่อนการบรรจุ

B, ความเข้มข้นของสารชีวภาพในส่วนไสหลังการบรรจุ

## 5. การศึกษาการปลดปล่อยสารชีวภาพของอนุภาคนาโนไฮโดรเจนในไคโตกซาน

การหาค่าการปลดปล่อยสารชีวภาพจากอนุภาคนาโนไฮโดรเจนในไคโตกซาน (releasing efficiency) ทำโดยนำเจลอนุภาคนาโนไฮโดรเจน-สารชีวภาพ มาทำให้แห้งด้วยระบบ freeze dry จากนั้นนำผงอนุภาคนาโนไฮโดรเจน 1 mg ใส่ในถุง dialysis bag ที่มีรูพูนขนาด 20,000 KDa นำถุงผูกกับแท่นแก้ว และแขวนในบันฟเฟอร์ ทำการ Kovin น้ำ แล้วเก็บตัวอย่างที่เวลา 3, 6, 9, 12, 24, 36, 48, 60, 72 ชั่วโมง นำน้ำบันฟเฟอร์ที่คาดว่าจะมีสารชีวภาพละลายอยู่ไปตรวจหาปริมาณแทนนิน

## 6. การศึกษาการปลดปล่อยสารชีวภาพของอนุภาคนาโนไฮโดรเจนในสัตว์

### 6.1 การปลดปล่อยสารชีวภาพของอนุภาคนาโนไฮโดรเจนในกุ้ง

ได้ใช้กุ้งก้านกรรม เป็นตัวแทนกุ้งทดลอง โดยใช้กุ้งก้านกรรมวัยรุ่น ขนาด น้ำหนักเฉลี่ย 150 กรัม

ทำการให้อาหารเคลื่อนอนุภาคนาโนไฮโดรเจนบรรจุโปรตีนเรืองแสง (GFP) และตัดลำไส้ ที่เวลาต่างๆ หลังการให้อาหาร แล้วนำไปส่องสูตรย้อมสีของอนุภาคนาโนไฮโดรเจนด้วยกล้องชุลทรรศน์ฟลูออเรสเซนท์ บันทึกผลจากภาพถ่าย โดยติดตามการเรืองแสงของโปรตีน GFP

### 6.2 การปลดปล่อยสารชีวภาพของอนุภาคนาโนไฮโดรเจนในปลา

ได้ใช้ปลา尼ล เป็นตัวแทนปลาทดลอง โดยใช้สกุลปลา尼ล ที่มีขนาด ความยาวเฉลี่ย 15 ซม. และน้ำหนักเฉลี่ย 150 กรัมและดำเนินการทดลองเช่นเดียวกับกุ้งก้านกรรม

## 7. การศึกษาประสิทธิภาพการนำส่งสารชีวภาพของอนุภาคนาโนไฮโดรเจน

ใช้สกุลปลา尼ล ขนาดความยาวเฉลี่ย 15 ซม. และน้ำหนักเฉลี่ย 150 กรัม จำนวน 30 ตัว ต่อ 1 กถุน และใช้เชื้อแบคทีเรีย *Aeromonas hydrophila* (AH) เป็นเชื้อโรคทดสอบ แล้วติดตามผลการรักษาเป็นเวลา 7 วัน โดยแบ่งกถุนการทดลอง ดังนี้

กถุน Normal no AH เป็นกถุนควบคุม สกุลปลา尼ลปกติ ไม่มีเชื้อ AH

กลุ่ม AH + CS-MPX เป็นกลุ่มถูกปานิชได้รับเชื้อ AH ที่ปริมาณเชื่อ  $1 \times 10^5$   $1 \times 10^6$  และ  $1 \times 10^7$  cfu/ 1 ตัวปลา และให้อาหารผสมอนุภาคนาโนไกโตกานบบรรจุสารสกัดสมุนไพร 0.1% หลังฉีดเชื้อ 3 ชั่วโมง

กลุ่ม AH + MPX เป็นกลุ่มถูกปานิชได้รับเชื้อ AH ที่ปริมาณเชื่อ  $1 \times 10^5$   $1 \times 10^6$  และ  $1 \times 10^7$  cfu/ 1 ตัวปลา และให้อาหารผสมสารสกัดสมุนไพร 0.1% หลังฉีดเชื้อ 3 ชั่วโมง

กลุ่ม AH no treat เป็นกลุ่มถูกปานิชได้รับเชื้อ AH ที่ปริมาณเชื่อ  $1 \times 10^5$   $1 \times 10^6$  และ  $1 \times 10^7$  cfu/ 1 ตัวปลา และให้อาหารปกติหลังฉีดเชื้อ 3 ชั่วโมง

## ผลการวิจัย อกบีราย และวิจารณ์

### 1. การสร้างอนุภัตนาโนไคโตกาน

ได้จัดเตรียมไคโตกานจากการซื้อผลิตภัณฑ์ที่มีจำหน่ายในท้องตลาด โดยได้นำมาตรวจ สอบคุณภาพด้วยการส่งตรวจค่าความบริสุทธิ์โดยหาค่าร้อยละระดับขั้นของคีอะเซททิกเลชัน (% degree of deacetylation, %DD) และขนาดของโมเลกุลไคโตกาน(MW) ได้ผลดังตารางที่ 1 จะเห็นได้ว่าคุณภาพที่ตรวจได้ไม่ตรงกับที่ระบุไว้ในสตางค์ของผลิตภัณฑ์ อย่างไรก็ตาม ผู้วิจัยได้อีกเอาจ่าที่ตรวจได้เป็นค่าจริงสำหรับใช้การทดลอง

ตารางที่ 1 ความบริสุทธิ์ (%DD) และขนาดของโมเลกุลไคโตกาน (MW)

Brand	specified	measured	specified MW	measured MW
	%DD	%DD	(kDa)	(Da)
1	95	77.09	50	1,519,039
2	95	ไม่ระบุ	200	182,687*
3	90	91.62	150	375,134
4	85	87.31	80	252,995
5	96.85	81.45	ไม่ระบุ	139,265
6	80-85	82.95	50-80	385,269

ได้เตรียมอนุภัตนาไนไคโตกาน-TPP(CS-TPP)ด้วยวิธี ionic gelation ที่ความเข้มข้นของไคโตกาน สังเกตเห็นว่าสารละลายที่ได้ใส่ขึ้นแบบเจล (ภาพที่ 4)

ดังนี้ การวิจัยนี้ใช้ไคโตกาน ที่ % DD = 81.45 - 91.62 และ MW = 139- 1,500 kDa ปรับความเข้มข้นที่ 0.2 และ 0.5% (w/v) ทำการสร้างพันธะด้วยวิธี microemulsion และ ionotropic gelation โดยใช้ sodium tripolyphosphate (TPP) เป็น crosslinker ที่ความเข้มข้นของ 0.5 และ 1.0 mg/ml ตามลำดับทำการปรับความเร็วการวนที่ 150, 500, 700 และ 1,000 rpm



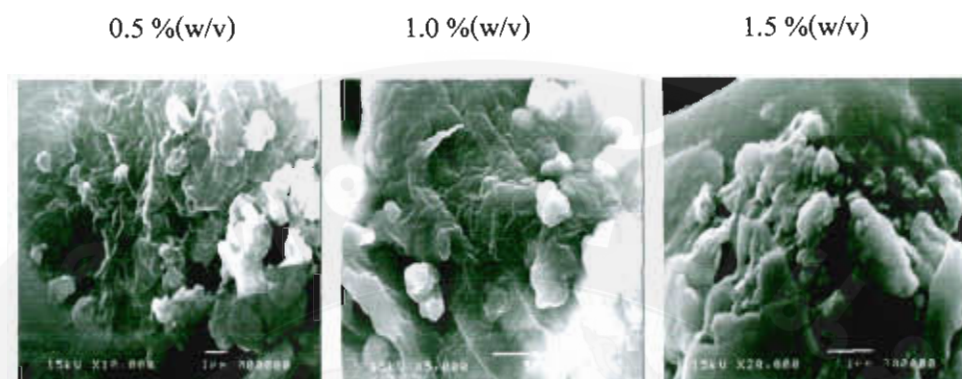
ภาพที่ 4 เฉลยของอนุภาคนาโนไคโตซานเปล่าด้วยวิธีไมโครอิมัลชันและไอโอนิกเจลเลชัน

### 1.1 อนุภาคนาโนไคโตซาน-ไตรโพลีฟอสเฟท โดยวิธีไมโครอิมัลชัน

ทำการสร้างอนุภาคนาโนไคโตซาน-ไตรโพลีฟอสเฟท (CS-TPP) ด้วยวิธี micro-emulsion โดยการเติมสารลดแรงตึงผิว และใช้ไคโตซาน 95 %DD ที่ความเข้มข้น 0.5 1.0 และ 1.5 % (w/v) จะได้ออนุภาคนาโนไคโตซานที่มีลักษณะเป็นผงละเอียดสีขาว

เมื่อนำไปตรวจสอบขนาดและรูปร่างด้วยกล้อง SEM พบร่วมที่การใช้ไคโตซานเข้มข้น 0.5 และ 1.0 %(w/v) ยังเห็นผลลัพธ์ของไคโตซานที่ไม่เป็นอนุภาค ส่วนที่ความเข้มข้น 1.5 % (w/v) เห็นอนุภาคนาโนไคโตซานมีรูปร่างค่อนข้างกลม การเกาะกลุ่มกันมาก และขนาดอนุภาคนามีขนาดเล็กลง เมื่อความเข้มข้นของสารละลายไคโตซานมากขึ้น ดังนั้นความเข้มข้นที่เหมาะสมในการเตรียมอนุภาคนาโนไคโตซันด้วยวิธีไมโครอิมัลชัน ใช้ไคโตซาน 95 % ที่ความเข้มข้น 1.5% (w/v)

ได้เปรียบเทียบการใช้ไคโตซาน ที่ความเข้มข้น 1.5% (w/v) ที่ 2 ขนาดโมเลกุล คือ 20 และ 290 kDa ในการสร้างอนุภาคนาโนไคโตซานด้วยวิธีไมโครอิมัลชัน และใช้สารลดแรงตึงผิวซึ่งจากการทดลองครั้งก่อน พบร่วมว่า อนุภาคนาโนไคโตซานแห้งมีการเกาะกันเป็นก้อน ดังนั้นในการทดลองครั้งนี้จึงได้นำอนุภาคนาโนไคโตซานที่ได้ไปทำการ sonicate โดยแปรผันระยะเวลาต่างๆ กันที่ 40 50 และ 60 นาที



ภาพที่ ๕ SEM micrographs ของอนุภาคไคโตซานที่เตรียมด้วยวิธีไมโครอิมัลชันที่ไคโตซานความเข้มข้นต่างๆ

จากภาพถ่าย SEM พบว่า ความแตกต่างของขนาดอนุภาคยังไม่ชัดเจน และยังมีการเกาะกลุ่มกันเป็นก้อน ซึ่งเมื่อใช้ไคโตซานน้ำหนักโมเลกุล 20 kDa จะได้ออนุภาคนาโนไคโตซานที่มีขนาดอยู่ในช่วง 200-400 nm (ภาพที่ 4) ส่วนไคโตซานน้ำหนักโมเลกุล 290 kDa จะได้ออนุภาคนาโนไคโตซานที่มีขนาดอยู่ในช่วง 500-1000 nm (ภาพที่ 9)

ดังนั้นจึงสรุปได้ว่าสำหรับการสร้างอนุภาคนาโนไคโตซานโดยการใช้ไคโตซานน้ำหนักโมเลกุลเล็กจะได้ออนุภาคนาโนไคโตซานที่มีขนาดเล็กกว่า

## 1.2 อนุภาคนาโนไคโตซาน-ไตรโพลีฟอสฟท์ โดยวิธีไอโอนิกเจลเลชัน

จากการเตรียมอนุภาคนาโนไคโตซานด้วยวิธีไอโอนิกเจลเลชัน โดยใช้ไคโตซานซึ่งมีค่าร้อยละระดับขั้นของคืออะเซททิลเลชัน (% degree of deacetylation, DD) ที่ 85, 90 และ 95 ที่ความเข้มข้น 0.2 และ 0.5% (w/v)

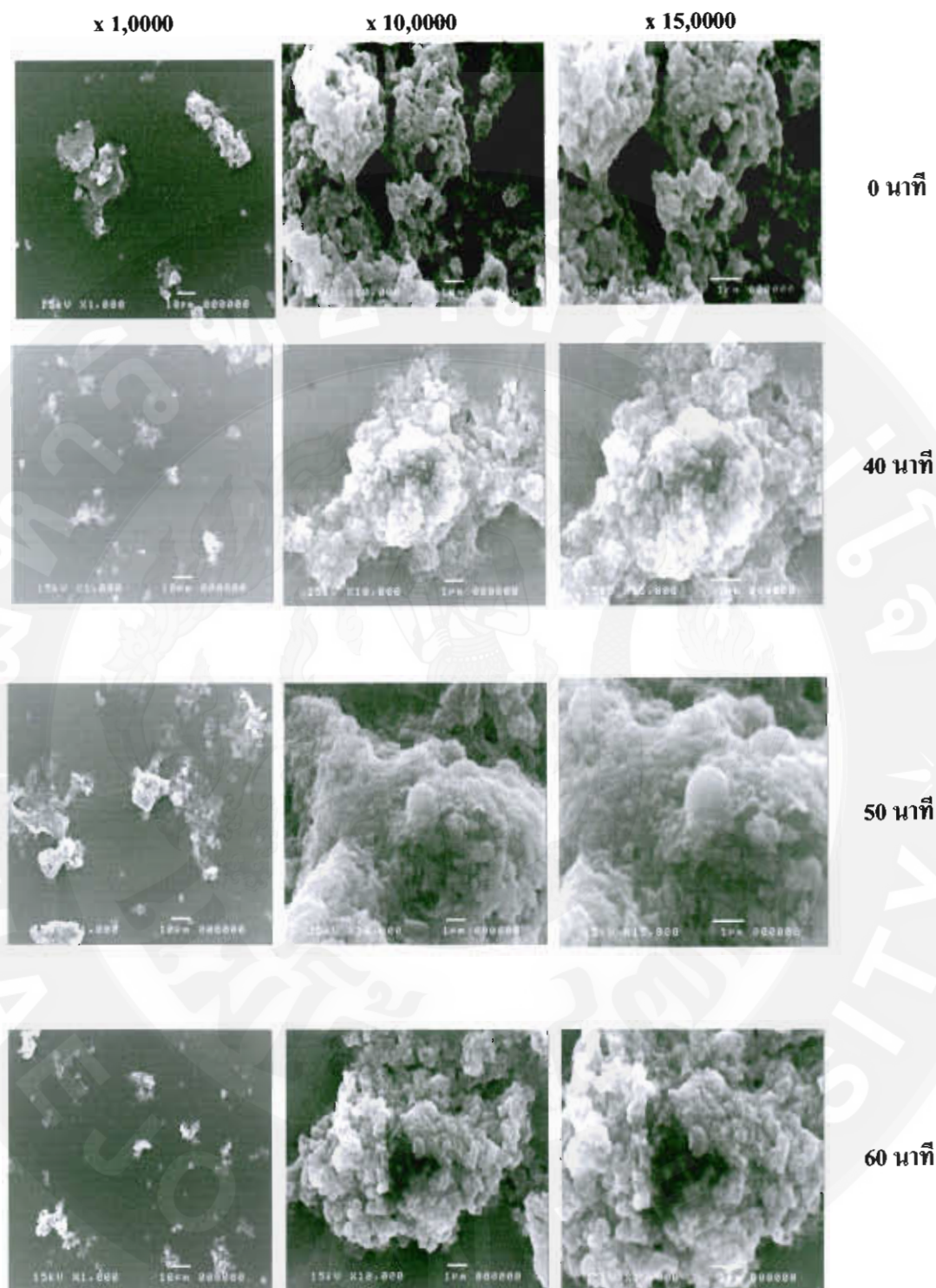
พบว่าการใช้ไคโตซาน 85 %DD ขนาดโมเลกุล 80 KDa ความเข้มข้น 0.5% w/v จะได้ออนุภาคนาโนไคโตซานที่มีลักษณะเป็นเจลใสและเมื่อนำตรวจส่องขนาดและรูปร่างด้วย SEM พบว่าได้ออนุภาคนาโนไคโตซานมีรูปร่างค่อนข้างกลม มีการเกาะกลุ่มกันมากและขนาดอนุภาคมีขนาดเล็ก และเมื่อนำไปตรวจส่องขนาดและรูปร่างด้วย TEM พบว่าอนุภาคมีลักษณะกลม และมี

ขนาดในระดับนาโนเมตร ขนาดประมาณ 50-70 nm ในขณะที่อนุภาคนาโนไคโตซานห่อหุ้มสารสกัดสมุนไพรมีขนาดประมาณ 50-100 nm ซึ่งใหญ่กว่าอนุภาคนาโนไคโตซานเล็กน้อย ทั้งนี้อาจเป็นผลมาจากการห่อหุ้มสารสกัดสมุนไพรในอนุภาคนาโนไคโตซาน

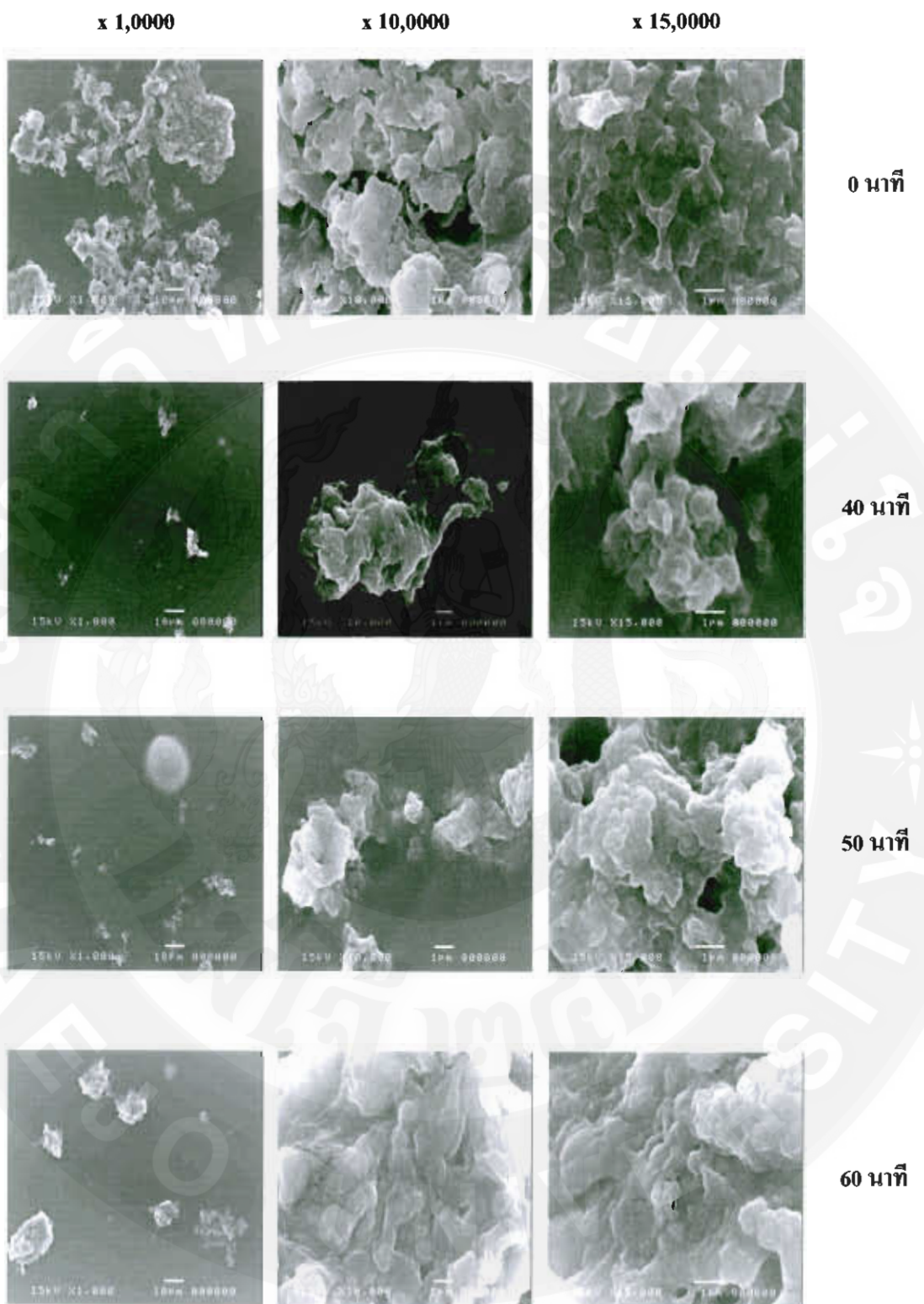
ส่วนการใช้ไคโตซาน 90 %DD ขนาดโมเลกุล 150 kDa และ 95 %DD ขนาดโมเลกุล 1,500 kDa ได้ออนุภาคที่มีขนาดใหญ่กว่า 85 %DD ซึ่งอาจเกิดจากผลของน้ำหนักโมเลกุลที่มีขนาดใหญ่มากจึงทำให้ได้ขนาดอนุภาคที่ใหญ่ตามไปด้วย ส่วนผลของความเข้มข้นของไคโตซานนั้นมีผลต่อขนาดของอนุภาคนาโนซึ่งเมื่อเพิ่มความเข้มข้นสูงขึ้นก็จะทำให้ได้ออนุภาคที่ใหญ่ขึ้นตามไปด้วย เนื่องจากมีความหนืดของสารละลายไคโตซานมากเกิน แต่ในงานวิจัยนี้จะเลือกใช้ความเข้มข้นของไคโตซานที่ 0.5% w/v เนื่องจากจะทำให้ได้สัดส่วนสำหรับในการทำปฏิกิริยาที่พอดีกับสาร cross linked กีโธ โซเดียม ไตร โพลีฟอตเฟส (TPP 1 mg/ml) (มานี และคณะ, 2548)

จากผลการทดลองสร้างอนุภาคนาโนไคโตซานเปล่า พนว่า การสร้างอนุภาคนาโน ด้วยวิธีไมโครอิมลชันให้อนุภาคนาโนที่เป็นผง ได้ง่ายกว่าวิธีไอโอดีโนไทรปิกเจลเชชัน แต่วิธีไมโคร อิมลชันมีขั้นตอนที่ยุ่งยากกว่า และยังต้องมีขั้นตอนการทำจุดน้ำมัน โดยใช้อะซิโตน ซึ่งมีโอกาส ตกค้างในอนุภาคนาโนที่เตรียมได้

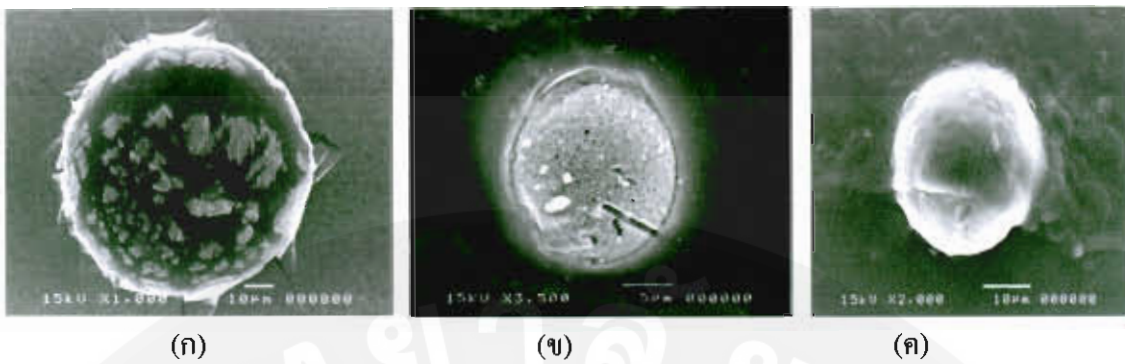
ดังนั้น เทคนิคไอโอดีโนไทรปิกเจลเชชันเป็นวิธีการสร้างอนุภาคนาโนไคโตซานที่ เหมาะสมในงานวิจัย โดยการใช้ไคโตซาน 96.85 %DD (วัดได้ 81.45 %DD) ขนาดโมเลกุลที่วัดได้ 139kDa และใช้ TPP 1 mg/ml ในอัตราส่วนปริมาตร 2 : 1 ความเข้มข้นที่เหมาะสม เท่ากับ 0.2 % จะได้ อนุภาคนาโนไคโตซานที่มีขนาดเล็กที่สุด 183.50 nm ดังนั้นในการทดลองขั้นตอนต่อไปจึงใช้ความ เข้มข้นและอัตราส่วนนี้ เพื่อการบรรจุสารชีวภาพ



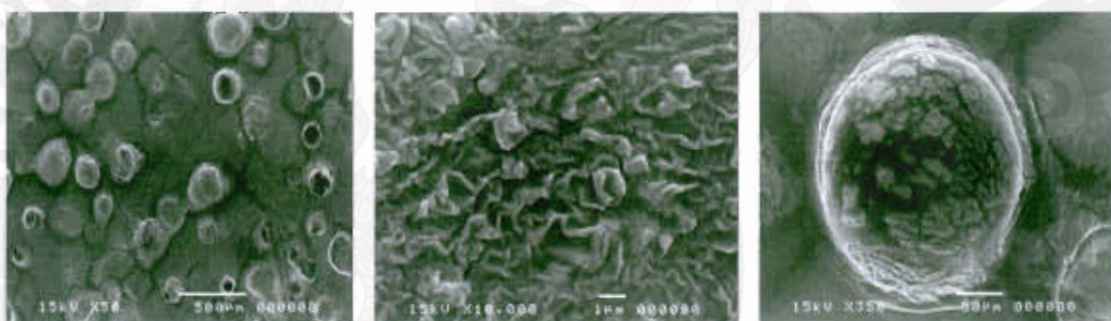
ภาพที่ 6 SEM micrographs ของอนุภาคนาโนไคโตซานที่เติมด้วยวิรัสในโครงอิมัลชัน จากการใช้ ไคโตซานขนาด 20 kDa ที่ความเข้มข้น 1.5% w/v และ sonicate ที่เวลาต่างๆ



ภาพที่ 7 SEM micrographs ของอนุภาคนาโนไคโตกานที่เตรียมด้วยวิธีในโครงขั้นตอน จากการใช้ ไคโตกานขนาด 290 kDa ที่ความเข้มข้น 1.5% w/v และ sonicate ที่เวลาต่างๆ



ภาพที่ 8SEM micrographs ของอนุภาคนาโนไคโตซานโดยได้จากการเตรียมด้วยวิธีไออ่อนนิกเจเลชัน ใช้ไคโตซาน 95 % DD ขนาดโมเลกุล 1,500 kDa ที่ความเข้มข้น 0.2 % (w/v) โดยเติม glucose 5 % (ก และ ข) และ trehalose 1 % (ค)



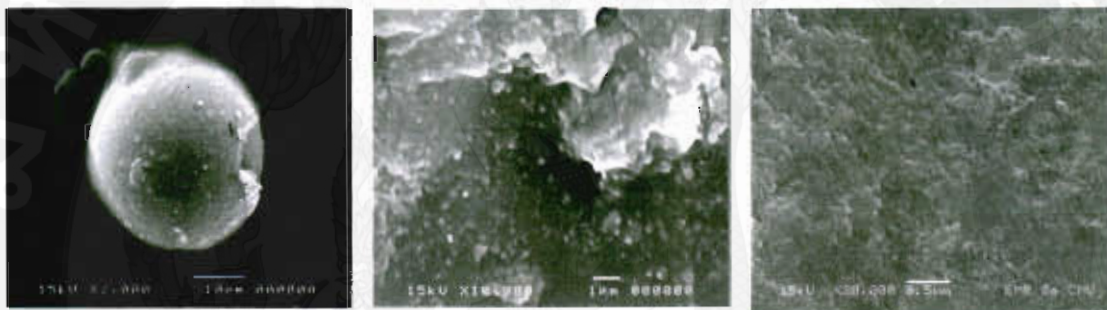
ภาพที่ 9SEM micrographs ของอนุภาคนาโนไคโตซานที่กำลังขยายต่างๆ โดยได้จากการเตรียมด้วยวิธีไออ่อนนิกเจเลชัน ใช้ไคโตซาน 95 % DD ขนาดโมเลกุล 1,500 kDa ที่ความเข้มข้น 0.2 % (w/v) และเติม trehalose 1%



ภาพที่ 10SEM micrographs ของอนุภาคนาโนไคโตซานที่กำลังขยายต่างๆ โดยได้จากการเตรียมด้วยวิธีไออ่อนนิกเจเลชัน ใช้ไคโตซาน 95 % DD ขนาดโมเลกุล 1,500 kDa ที่ความเข้มข้น 0.5 % (w/v) และเติม trehalose 1%



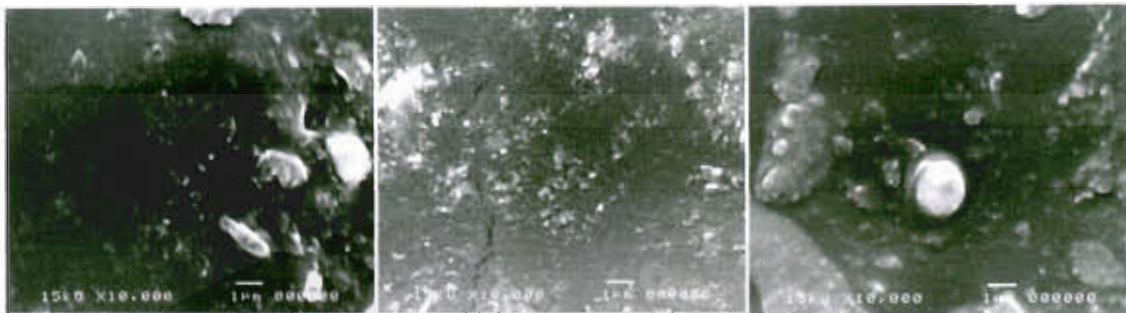
ภาพที่ 11SEM micrographs ของอนุภาคนาโนไกโตกานที่กำลังขยายต่างๆ โดยได้จากการเตรียมด้วยวิธีไออ่อนนิกเจเลชัน ใช้ไกโตกาน 95 %DD ขนาดโมเลกุล 200 kDa ที่ความเข้มข้น 0.5 % (w/v) และเติม trehalose 1%



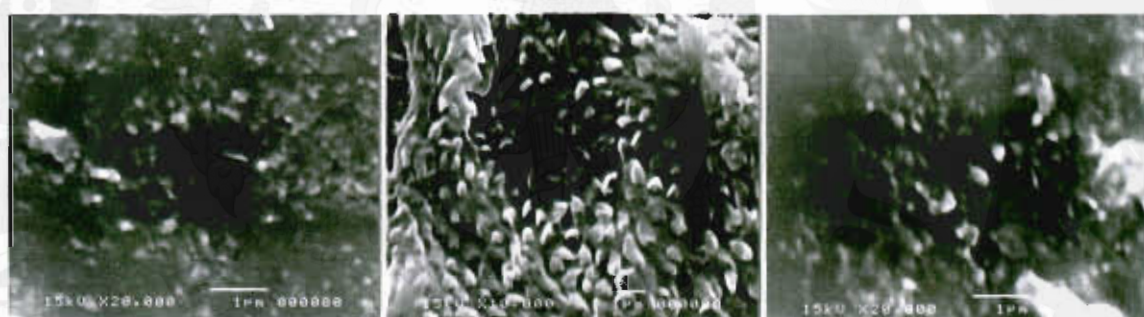
ภาพที่ 12SEM micrographs ของอนุภาคนาโนไกโตกานโดยได้จากการเตรียมด้วยวิธีไออ่อนนิกเจเลชัน ใช้ไกโตกาน 90 %DD ขนาดโมเลกุล 150 kDa ที่ความเข้มข้น 0.2 % (w/v) และเติม trehalose 1%



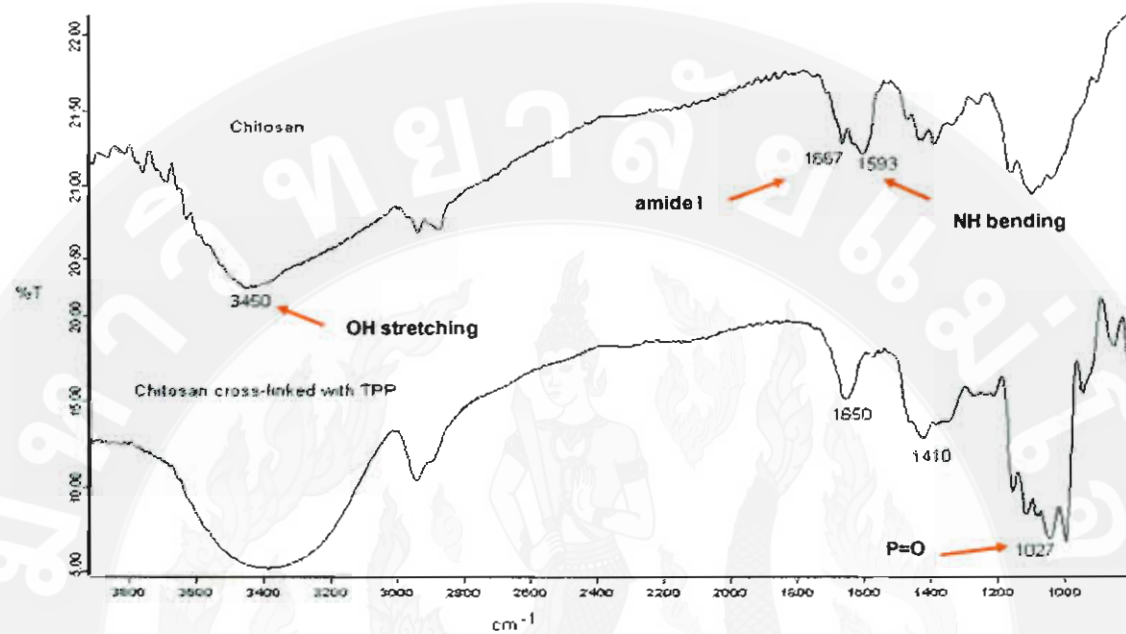
ภาพที่ 13SEM micrographs ของอนุภาคนาโนไกโตกานโดยได้จากการเตรียมด้วยวิธีไออ่อนนิกเจเลชัน ใช้ไกโตกาน 90 %DD ขนาดโมเลกุล 150 kDa ที่ความเข้มข้น 0.5 % (w/v) และเติม trehalose 1%



ภาพที่ 14 SEM micrographs ของอนุภาคนาโนไคโตกานโดยได้จากการเตรียมคั่วบวชิไออ้อนนิก  
เฉล汁 ใช้ไคโตกาน 85 %DD ขนาดโมเลกุล 80 kDa ที่ความเข้มข้น 0.2 % (w/v) และ  
เติม trehalose 1%



ภาพที่ 15 SEM micrographs ของอนุภาคนาโนไคโตกานโดยได้จากการเตรียมคั่วบวชิไออ้อนนิกเฉล  
汁 ใช้ไคโตกาน 85 %DD ขนาดโมเลกุล 80 kDa ที่ความเข้มข้น 0.5 % (w/v) และเติม  
trehalose 1%



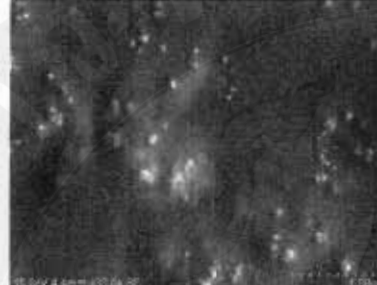
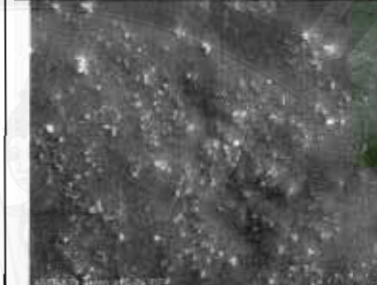
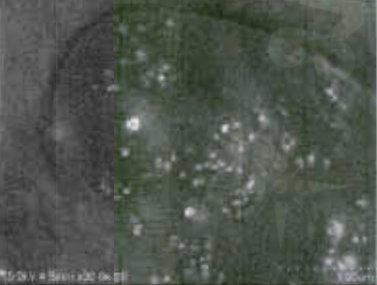
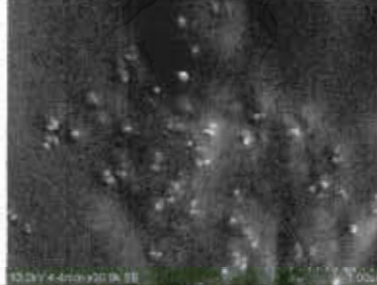
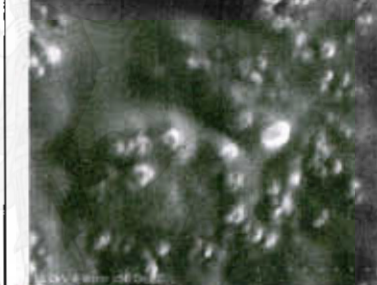
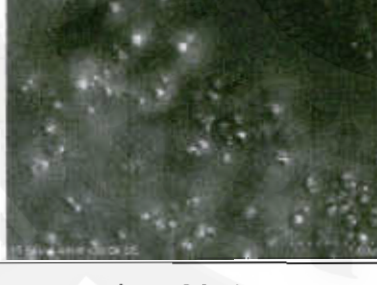
ภาพที่ 16FTIR spectra ของไคโตซานและอนุภาคนาโนไคโตซานเปล่า

ในการเตรียมอนุภาคนาโนไคโตซานเพื่อใช้ในกรุง ได้ทำการขยายปริมาณการสร้างอนุภาคนาโนไคโตซาน โดยใช้ไคโตซานCS 96.85 %DD (วัดได้ 81.45 %DD) ที่ความเข้มข้น 0.2% (ภาพที่17)พบว่า ไม่มีความแตกต่างในการใช้ความเร็วรอบในการกวนระหว่าง 900 – 1,300 rpm ดังนั้นในการเตรียมอนุภาคนาโนไคโตซานในปริมาณมากจึงสามารถเพิ่มความเร็วรอบในการกวนได้เป็น 1,300 rpm

ตารางที่ 2 สรุปขนาดของอนุภาคนาโนไคโตกานเปล่าที่เตรียมได้

Brand	specified %DD	measured %DD	specified MW (kDa)	measured MW (Da)	%CS	SEM size	TEM size	Nanosizer (nm)	
								Average	S.D.
1	95	77.09	50	1,519,039	0.2	150-300 μm	-	443.00	123.63
1	95	77.09	50	1,519,039	0.5	5-300 μm	-	549.90	39.68
2	95	ไม่ระบุ	200	182,687*	0.2	10-100 μm	-	342.17	35.52
2	95	ไม่ระบุ	200	182,687*	0.5	1-10 μm	-	831.60	197.22
3	90	91.62	150	375,134	0.2	0.1-20 μm	100 nm	211.33	10.90
3	90	91.62	150	375,134	0.5	0.1-20 μm	-	299.93	64.84
4	85	87.31	80	252,995	0.2	5-20 μm	-	242.70	26.80
4	85	87.31	80	252,995	0.5	100-1,000 nm	20-500 nm	517.83	111.47
5	96.85	81.45	ไม่ระบุ	139,265	0.2	150-250 nm	-	183.50	8.23
5	96.85	81.45	ไม่ระบุ	139,265	0.5	-	10-200 nm	262.17	5.01
6	80-85	82.95	50-80	385,269	0.2	-	-	254.33	16.46
6	80-85	82.95	50-80	385,269	0.5	-	50-300 nm	303.87	56.53

\* ตรวจเฉพาะส่วนที่ละลายได้

900 rpm (150ml)	900 rpm	1,100 rpm	1,300 rpm
			
			
			
size = 262.1 nm	size = 262.4 nm	size = 294.1 nm	size = 304.9 nm

ภาพที่ 17 ลักษณะของอนุภาคนาโนไคโตซานเปล่าที่การผันแปรความเร็วบนในการปั่น ที่ปริมาตร 1,500 ml

## 2. อนุภาคนาโนไคโตซาน-สารสกัดสมุนไพร

### 2.1 ประสิทธิภาพการบรรจุ

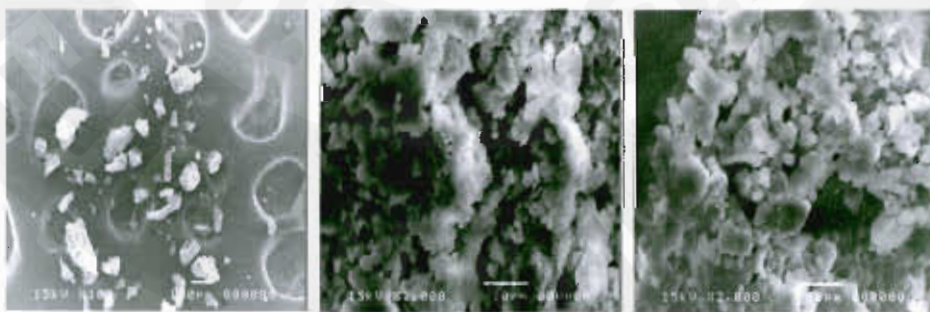
#### 2.1.1 การเตรียมด้วยวิธีไมโครอิมัลชัน

ทำการสร้างอนุภาคนาโนไคโตซานบรรจุสารสกัดสมุนไพรด้วยวิธีไมโครอิมัลชัน

โดยการเติมสารลดแรงตึงผิวที่ทำการ sonicate 60 นาที เมื่อนำไปตรวจสอบขนาดและรูปร่างด้วย SEM พบว่าอนุภาคมีลักษณะค่อนข้างเป็นเหลี่ยม ขนาดไม่สม่ำเสมอ มีการเกาะกลุ่มกันเป็นก้อน อาจเนื่องมาจากสารสกัดสมุนไพรเข้าไปอยู่ในอนุภาคนาโนไคโตซาน อนุภาคนาโนไคโตซาน - สารสกัดสมุนไพรที่เห็นมีขนาดอยู่ในช่วง 1-10  $\mu\text{m}$ (ภาพที่ 18)

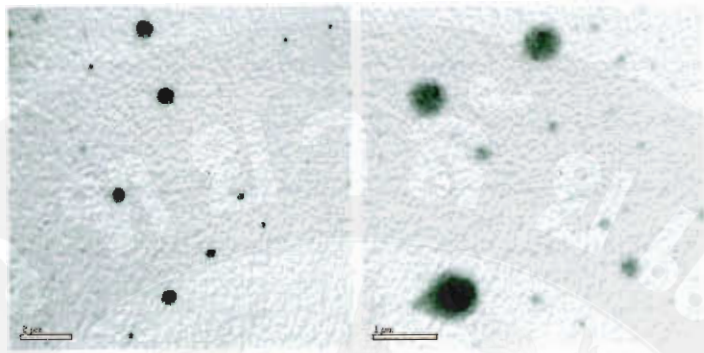
เมื่อนำไปตรวจสอบขนาดและรูปร่างด้วย TEM พบว่าอนุภาคมีลักษณะกลม และมีขนาดในระดับนาโนเมตร ขนาดประมาณ 160-860 nm ในขณะที่อนุภาคนาโนไคโตซานบรรจุสารสกัดสมุนไพรมีขนาดประมาณ 220-880 nm (ภาพที่ 19) ซึ่งใหญ่กว่าอนุภาคนาโนไคโตซานเปล่าเล็กน้อย ทั้งนี้อาจเป็นผลมาจากการห่อหุ้มสารสกัดสมุนไพรในอนุภาคนาโนไคโตซาน

นำอนุภาคนาโนไคโตซานที่ได้ไปพิสูจน์การบรรจุสาร โดยใช้เทคนิค FTIR พบว่า มีการบรรจุสารสกัดสมุนไพรในอนุภาคนาโนไคโตซานจริง (ภาพที่ 20)

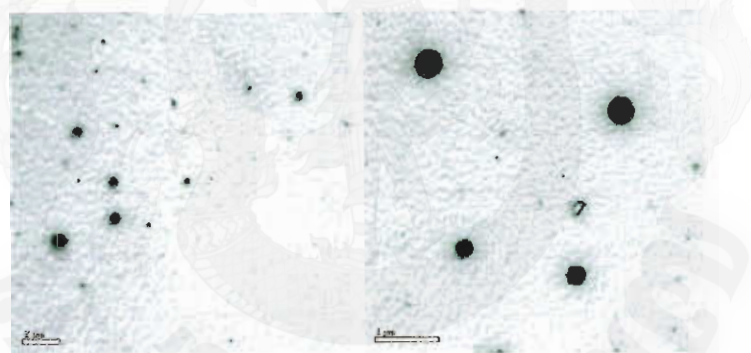


ภาพที่ 18SEM micrographs ของอนุภาคนาโนไคโตซาน-สารสกัดสมุนไพรที่เตรียมด้วยวิธีไมโครอิมัลชัน จากการใช้ไคโตซานขนาด 20 kDa ที่ความเข้มข้น 1.5% w/v และ sonicate 60 นาที

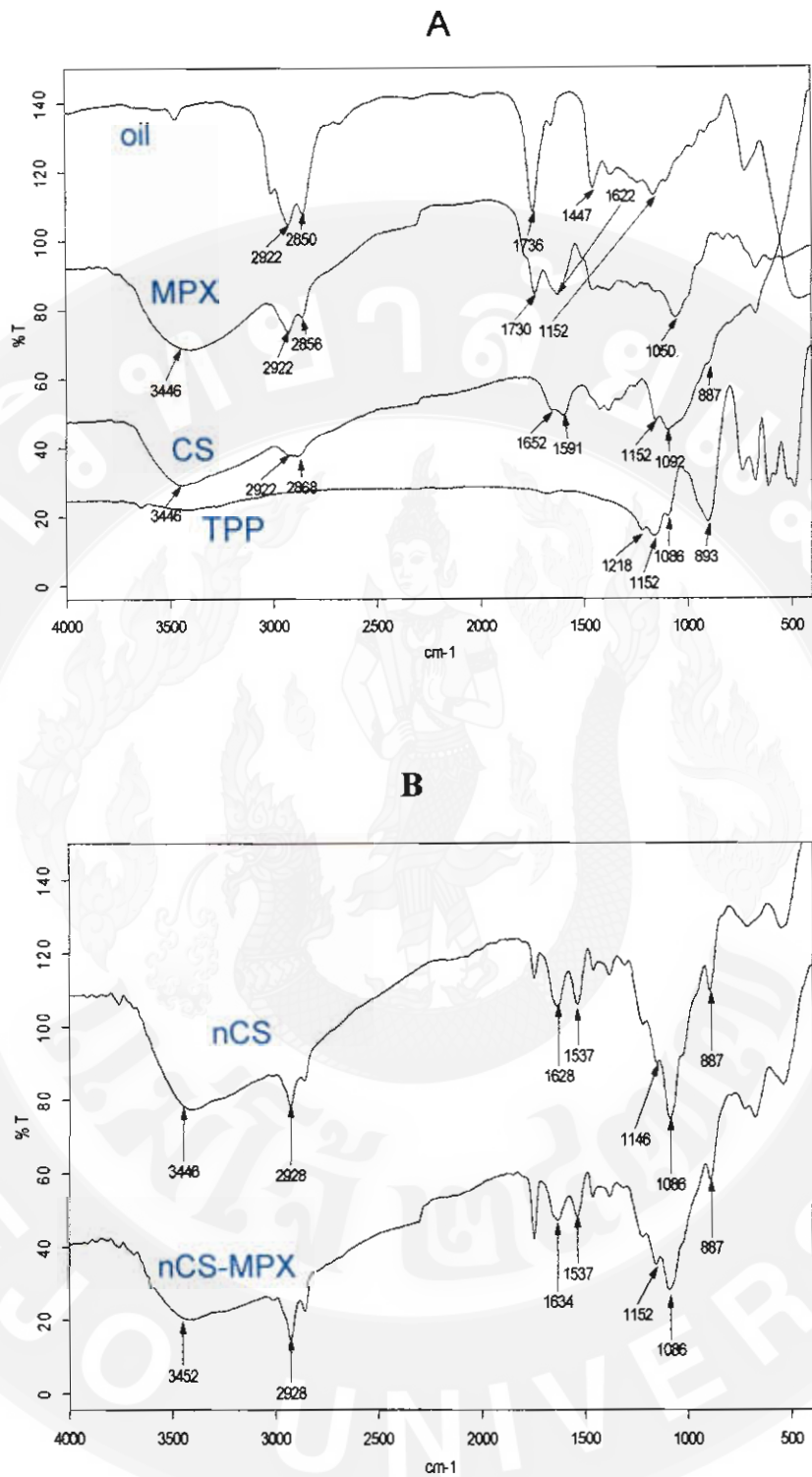
### อนุภาคนาโนไคโตซานเปล่า



### อนุภาคนาโนไคโตซาน - สารสกัดใบหูกรวง



ภาพที่ 19 TEM micrographs ของอนุภาคนาโนไคโตซาน-สารสกัดสมุนไพรที่เตรียมโดยวิธีไมโครอิมัลชัน จากการใช้ไคโตซานขนาด 20 kDa ที่ความเข้มข้น 1.5% w/v และ sonicate 60 นาที (bar = 1 um)



ภาพที่ 20 FTIR spectra ของสารต่างๆและอนุภาค nano ไก่โตชาานที่สร้างค่ายวิชีในโครงอินิมลชัน

oil = น้ำมันพืช

MPX = magosteen peel extract

CS = ไก่โตชาาน

TPP = tripolyphosphate

nCS = nanochitosan

nCS-MPX = nanochitosan encapsulating MPX

### 2.1.2 การเตรียมด้วยวิธีไอโอนิกเจลชัน

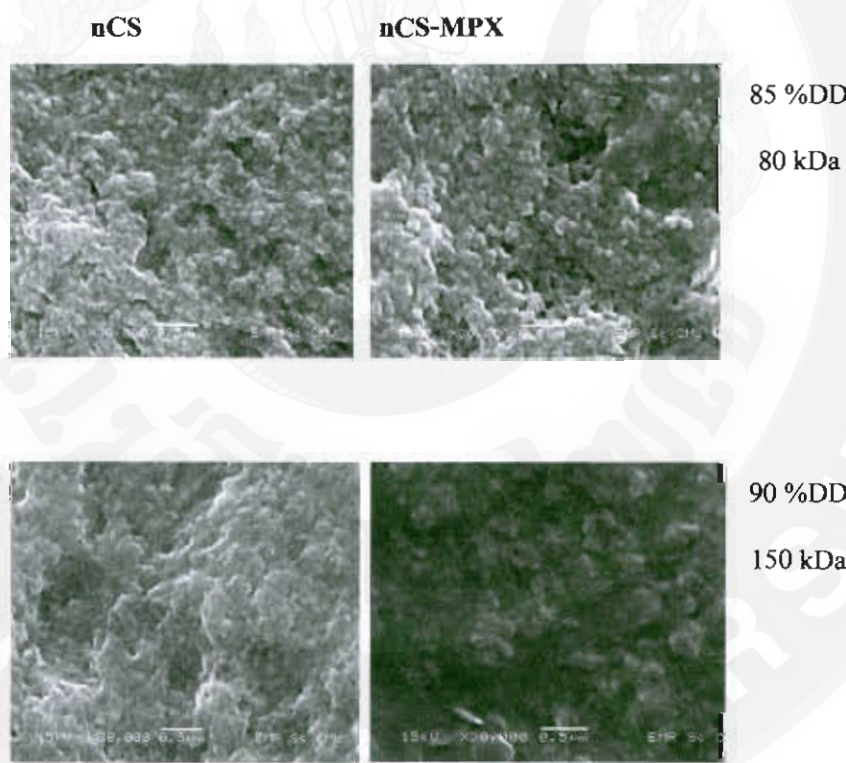
ได้ทำการสร้างอนุภาคนาโนไคโตซาน-สารสกัดสมุนไพร ด้วยวิธี ionic gelation และนำไปตรวจสอบโครงสร้างด้วยเทคนิค SEM และ TEM จากภาพ electron-micrographs คาดว่า อนุภาคนาโนไคโตซานสามารถบรรจุสารสกัดสมุนไพรได้ดีขนาดของอนุภาคนาโนไคโตซานเปลี่ยนและบรรจุสารสกัดไม่มีความแตกต่างกัน

ตารางที่ 3 ขนาดของอนุภาคนาโนไคโตซันที่วัสดุด้วยวิธี nanosizer โดยใช้ไคโตซาน 96.85 %DD ที่ความเข้มข้น 0.2 % บรรจุด้วยสารสกัดสมุนไพรที่ความเข้มข้นต่างๆ

ความเข้มข้นสารสกัด (%)	ขนาดอนุภาคนาโน (nm)
0	204.4
0.1	280.4
0.5	925.1
1.0	1303.6
2.0	2442.6



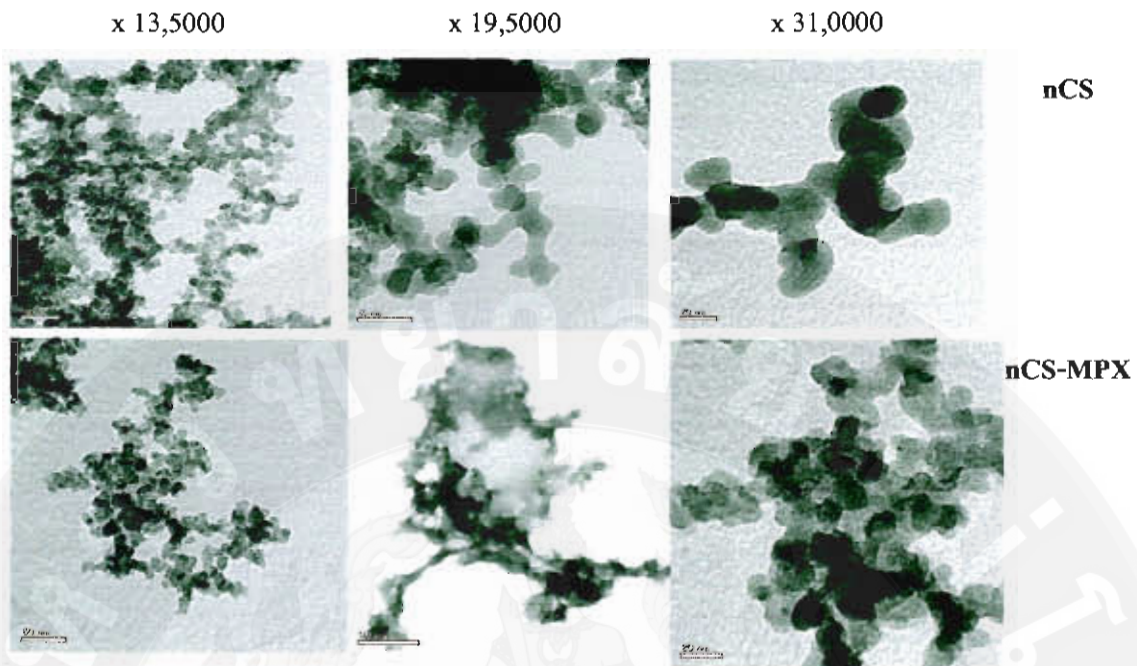
ภาพที่ 2 เจลของอนุภาคนาโนไคโตชานเปล่าและบรรจุสารสกัดสมุนไพร



ภาพที่ 22 SEM micrographs ของอนุภาคนาโนไคโตชานที่เตรียมด้วยวิธีไออ้อนนิกเจเลชัน โดยใช้ไคโตชาน ที่ความเข้มข้น 0.5% (w/v) และเติม trehalose 1%

nCS = อนุภาคนาโนไคโตชานเปล่า

nCS-MPX = อนุภาคนาโนไคโตชาน-สารสกัดสมุนไพร



ภาพที่ 23 TEM micrographs ของอนุภาคนาโนไคโตซานที่เตรียมด้วยวิธีไออ้อนิกเจลแลชัน โดยใช้ไคโตซาน 85 %DD ขนาดโมเลกุล 80 kDa ที่ความเข้มข้น 0.5% (w/v) และเติม trehalose 1%

nCS = อนุภาคนาโนไคโตซานเปล่า

nCS-MPX = อนุภาคนาโนไคโตซาน-สารสกัดสมุนไพร

## 2.2 ประสิทธิภาพการบรรจุ(encapsulation efficiency)

จากการทดสอบบรรจุสารสกัดสมุนไพรในอนุภาคนาโนไคโตซานอ้วบวีทีไออ่อนนิกเจเลชัน พบว่า ที่ความเข้มข้นของสารสกัดสมุนไพร 0.1, 0.5, 1.0, 1.5 และ 2.0 % (w/v) มี โคดิมีค่าการบรรจุ เท่ากับ 70.53, 71.42, 72.47, 76.81 และ 68.41 % ตามลำดับ ประสิทธิภาพการบรรจุในช่วงการเพิ่ม จากความเข้มข้น 0.1 – 1.5 % แต่ลดลงที่ความเข้มข้น 2.0 % แสดงว่า ความเข้มข้นที่เหมาะสมในการบรรจุ คือ ความเข้มข้น 1.5 % และให้ค่าประสิทธิภาพการบรรจุสูงสุด 76.81%

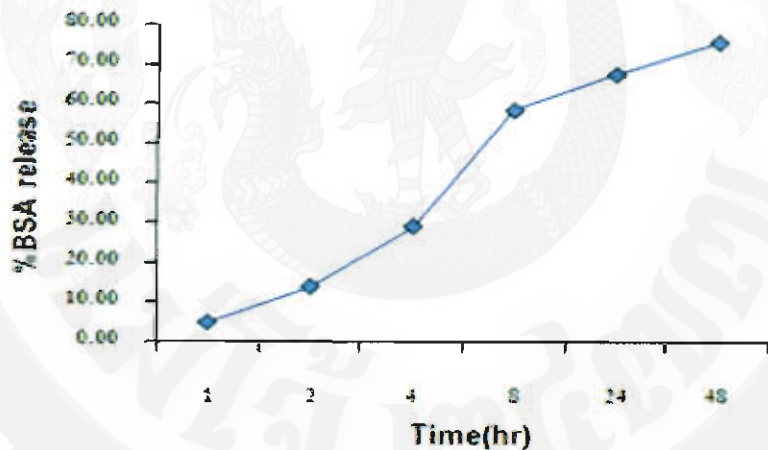
ตารางที่ 4อนุภาคนาโนไคโตซาน-สารสกัดสมุนไพรที่เครื่บได้

สารชีวภาพ	size by nanosizer (nm)	% EE
CS – MPX		
- 0.0 % (w/v)	204.40±18.98	
- 0.1 % (w/v)	280.43±20.64	70.53
- 0.5 % (w/v)	925.13±50.81	71.42
- 1.0 % (w/v)	1303.67±248.92	72.47
- 1.5 % (w/v)	2442.67±346.09	76.81
- 2.0 % (w/v)	2851.33±518.30	68.41

### 2.3 ประสิทธิภาพการปลดปล่อยในหลอดทดลอง (In vitro releasing efficiency)

ได้ทดสอบบรรจุโปรตีน BSA โดยเลือกที่ความเข้มข้นของสารสกัดสมุนไพร 1.5 % (w/v) ซึ่งได้ค่าประสิทธิภาพการบรรจุสูงสุด พบว่า ที่สภาวะ pH = 7.0 สารสกัดสมุนไพรเริ่มถูกปลดปล่อยตั้งแต่เวลา 1 ชั่วโมง โดยมีค่าการปลดปล่อยสูงสุดที่ 75.03 %

ได้ทำการทดสอบย่อยอนุภาคนาโนไกโตชานบรรจุโปรตีน BSA ด้วยเอนไซม์ไคโตซานส์ พบร้า เอ็นไซม์สามารถย่อยอนุภาคนาโนไกโตชานได้ทั้งหมด และปลดปล่อยโปรตีนได้ 100 % ดังนั้น สามารถคาดได้ว่าในลำไส้ตัวรắnโดยเฉพาะในกรุง มีเอนไซม์ไคโตซานส์ ทำให้อนุภาคนาโนไกโตชานจะถูกย่อยได้ทั้งหมด และสารชีวภาพจะถูกปลดปล่อยเพื่อนำไปใช้ได้



ภาพที่ 24 การปลดปล่อยสารชีวภาพของอนุภาคนาโนไกโตชานในหลอดทดลอง

### 3. ประสิทธิภาพการย่อยอนุภาคนาโนในไก่โตชาณอัมไส้สัตว์น้ำ

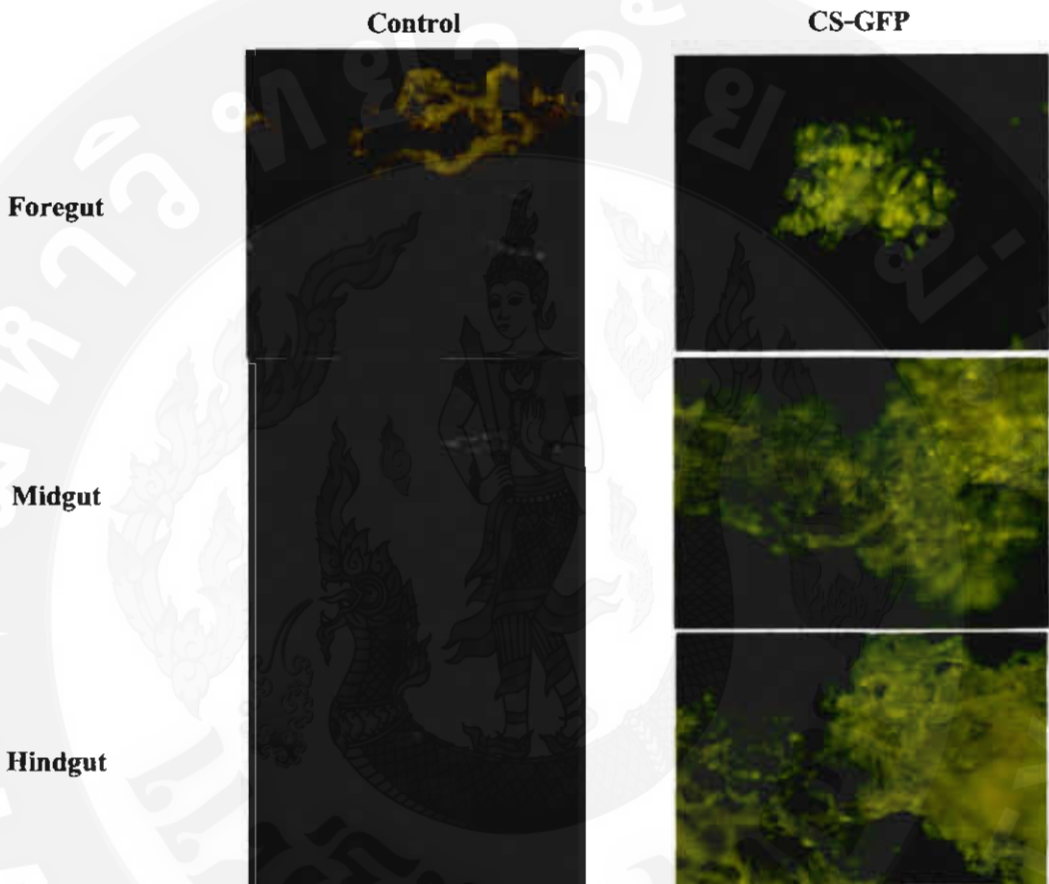
(In vivo releasing efficiency)

#### 3.1 การย่อยอนุภาคนาโนในไก่โตชาณอัมไส้กุ้งก้ามกราม

ให้อาหารผสมอนุภาคนาโนไก่โตชาณบรรจุโปรตีนเรืองแสง (CS-GFP) โดยใช้กุ้ง ก้ามกราม ขนาด 150 กรัม เก็บตัวอย่างระบบย่อยอาหาร หลังการให้อาหารที่เวลาต่างๆ ได้แก่ 15, 30 นาที 1, 2 ชั่วโมง โดยทำการตัดลำไส้ทั้งหมด แล้วแบ่งเป็น 3 ส่วน ได้แก่ ลำไส้ส่วนหน้า(foregut) ลำไส้ ส่วนกลาง(midgut) และ ลำไส้ส่วนหลัง (hindgut) นำลำไส้ที่ผ่านปีคีแล้ว ไปส่องกล้องจุลทรรศน์ดูว่า โปรตีนได้ จะเห็นการเรืองแสงของโปรตีน GFP หากอนุภาคนาโนไก่โตชาณถูกย่อยและปลดปล่อย โปรตีนได้ จะเห็นการเรืองแสงอย่างชัดเจน พนว่า เห็นการเรืองแสงเริ่มต้นในตัวอย่างลำไส้ส่วนหน้าที่ 15 นาที และมีการกระจายไปยังลำไส้ส่วนกลางและส่วนท้าย เพิ่มขึ้นตามลำดับเวลา แสดงว่า อนุภาคนาโนไก่โตชาณสามารถถูกย่อยได้ในเวลาอันสั้น ที่เวลา 15 นาที โดยเริ่มต้นที่ลำไส้ส่วนหน้า ดังภาพที่ 25-28

#### 3.2 การย่อยอนุภาคนาโนในไก่โตชาณอัมไส้ปานนิล

ให้อาหารผสมอนุภาคนาโนไก่โตชาณบรรจุโปรตีนเรืองแสง (CS-GFP) โดยใช้ลูกปาน นิล ขนาด 150 กรัม ทำการทดลองเช่นเดียวกับกุ้งก้ามกราม พนว่า อนุภาคนาโนไก่โตชาณสามารถถูก ย่อยได้ ที่เวลา 15 นาที โดยเริ่มต้นที่ลำไส้ส่วนหน้า ดังภาพที่ 29-32 เช่นเดียวกับกุ้งก้ามกราม แต่การ เรืองแสงของโปรตีน GFP ในปานนิลไม่ชัดเจนเท่ากับในกุ้ง อาจเนื่องมาจากการปานนิลมีเส้นใยสูง ไม่เลกุลของโปรตีน GFP เข้าหากะฝังอยู่ได้ ทำให้บดบังการเรืองแสงได้



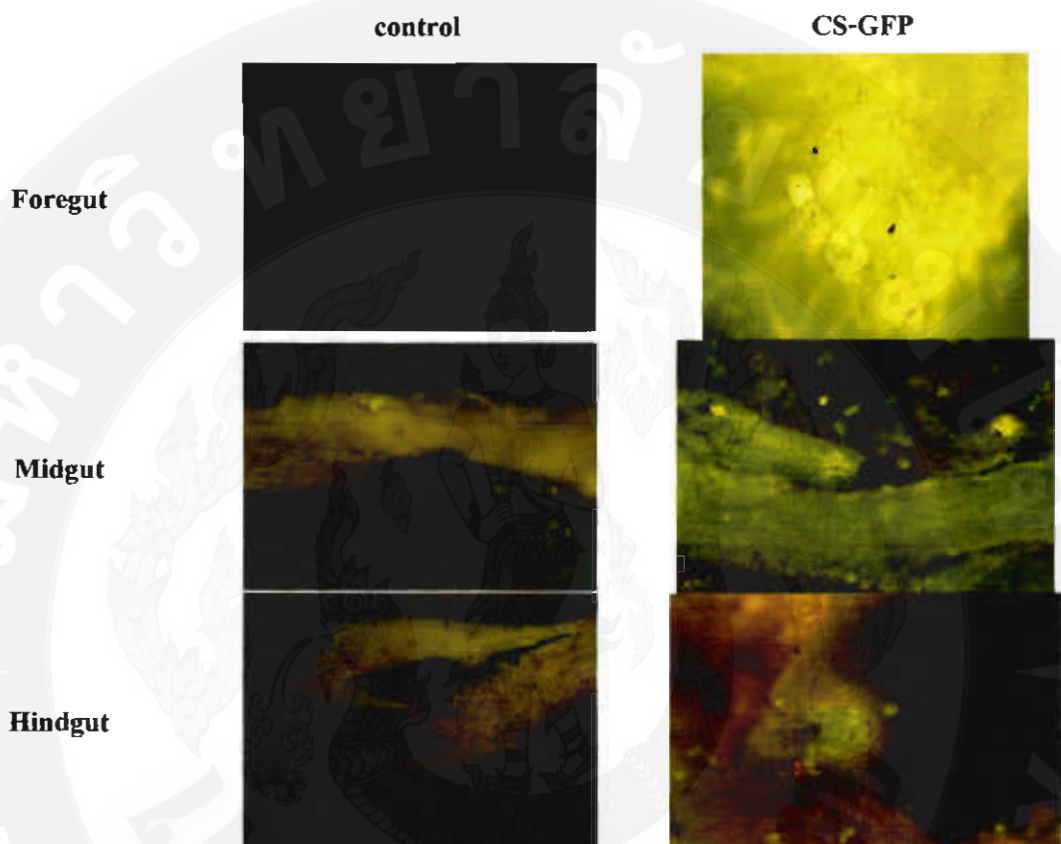
ภาพที่ 25 ภาพถ่ายฟลูออเรสเซนท์ลำไส้กุ้งก้านกราม หลังให้อาหารผสมอนุภาคนาโนไคโตราน

บรรจุโปรตีน

เรืองแสง (CS-GFP) เป็นเวลา 15 นาที (กำลังขยาย 100 เท่า)

Control : กุ้งก้านกรามที่ได้รับอาหารปกติ

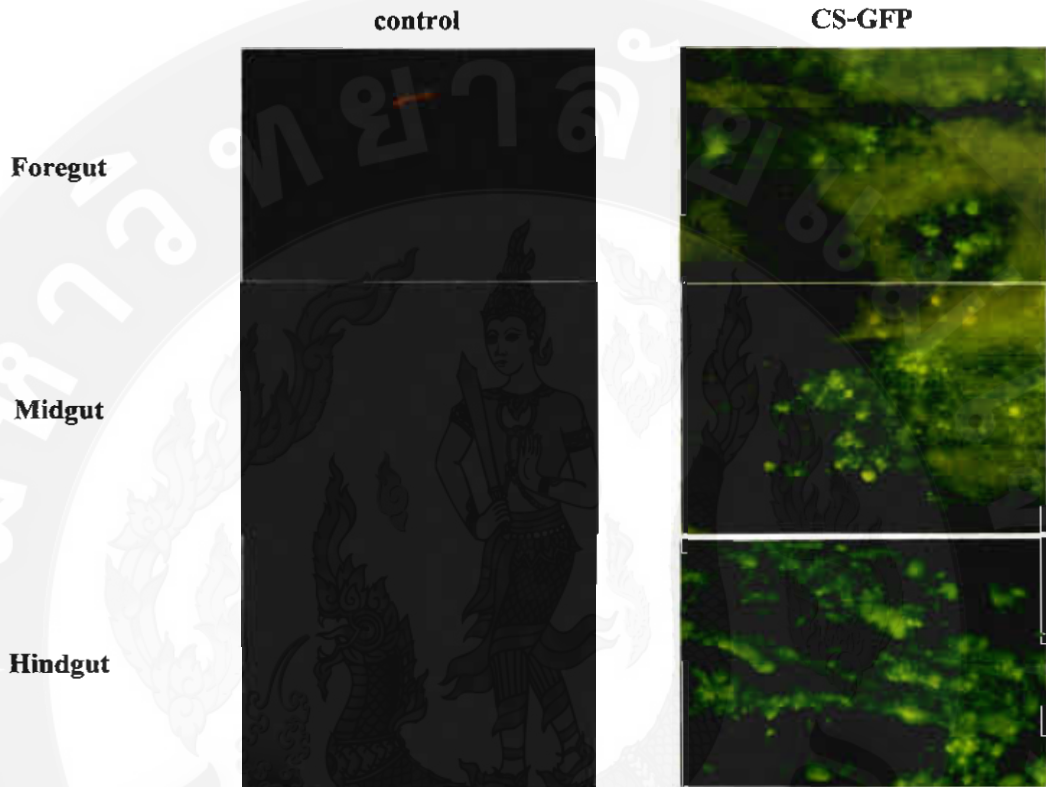
CS-GFP : กุ้งก้านกรามที่ได้รับอาหารผสมอนุภาคนาโนไคโตรานบรรจุโปรตีนเรืองแสง



ภาพที่ 26ภาพถ่ายฟลูออเรสเซนท์สำหรับกุ้งก้านกราน หลังให้อาหารผสมอนุภัคนาโนไคโตซานบรรจุโปรตีนเรืองแสง (CS-GFP) เป็นเวลา 30 นาที (กำลังขยาย 100 เท่า)

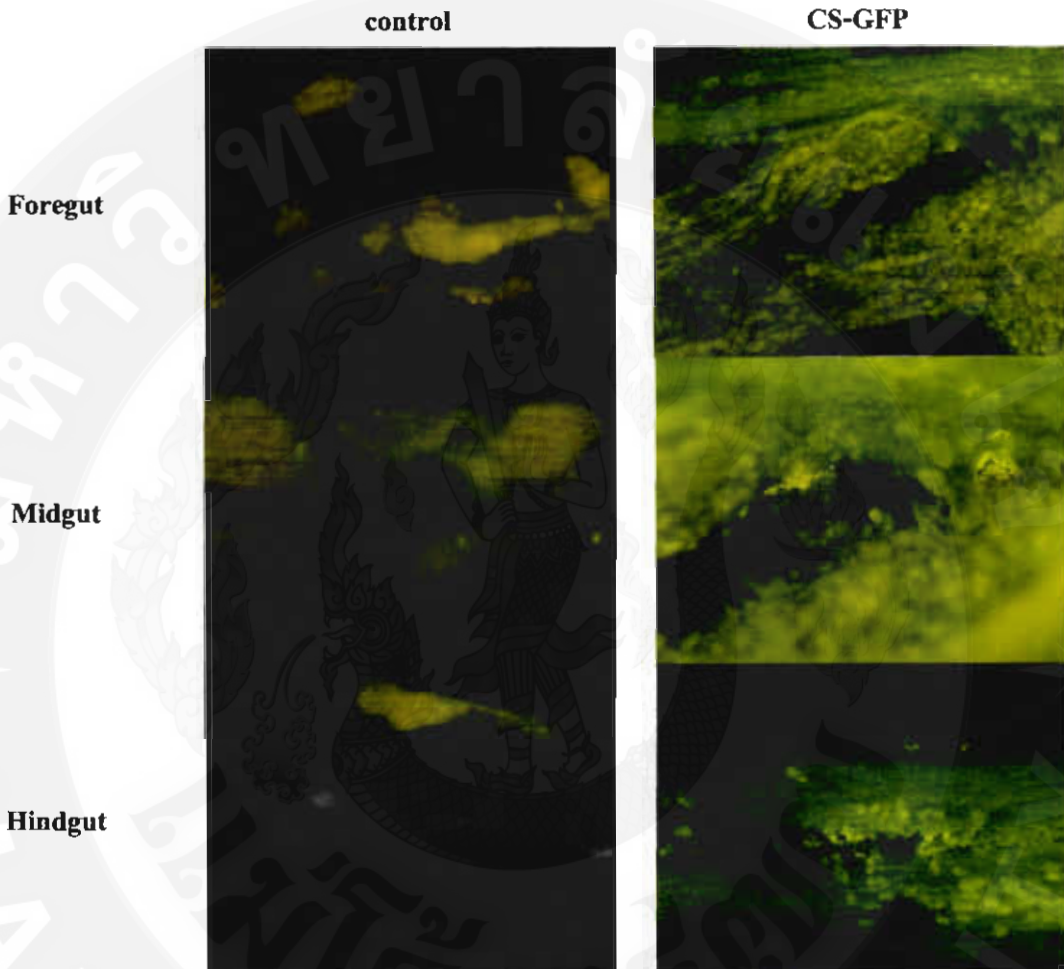
Control : กุ้งก้านกรานที่ได้รับอาหารปกติ

CS-GFP : กุ้งก้านกรานที่ได้รับอาหารผสมอนุภัคนาโนไคโตซานบรรจุโปรตีนเรืองแสง



ภาพที่ 27 ภาพถ่ายฟлуออเรสเซนท์ลำไส้กุ้งก้ามgram หลังให้อาหารผสมอนุภาคนาโนไฮโดรเจนบอร์นิโปรตีน เว่องแสง (CS-GFP) เป็นเวลา 1 ชั่วโมง (กำลังขยาย 100 เท่า)

Control : กุ้งก้ามgram ที่ได้รับอาหารปกติ  
CS-GFP : กุ้งก้ามgram ที่ได้รับอาหารผสมอนุภาคนาโนไฮโดรเจนบอร์นิโปรตีนเว่องแสง



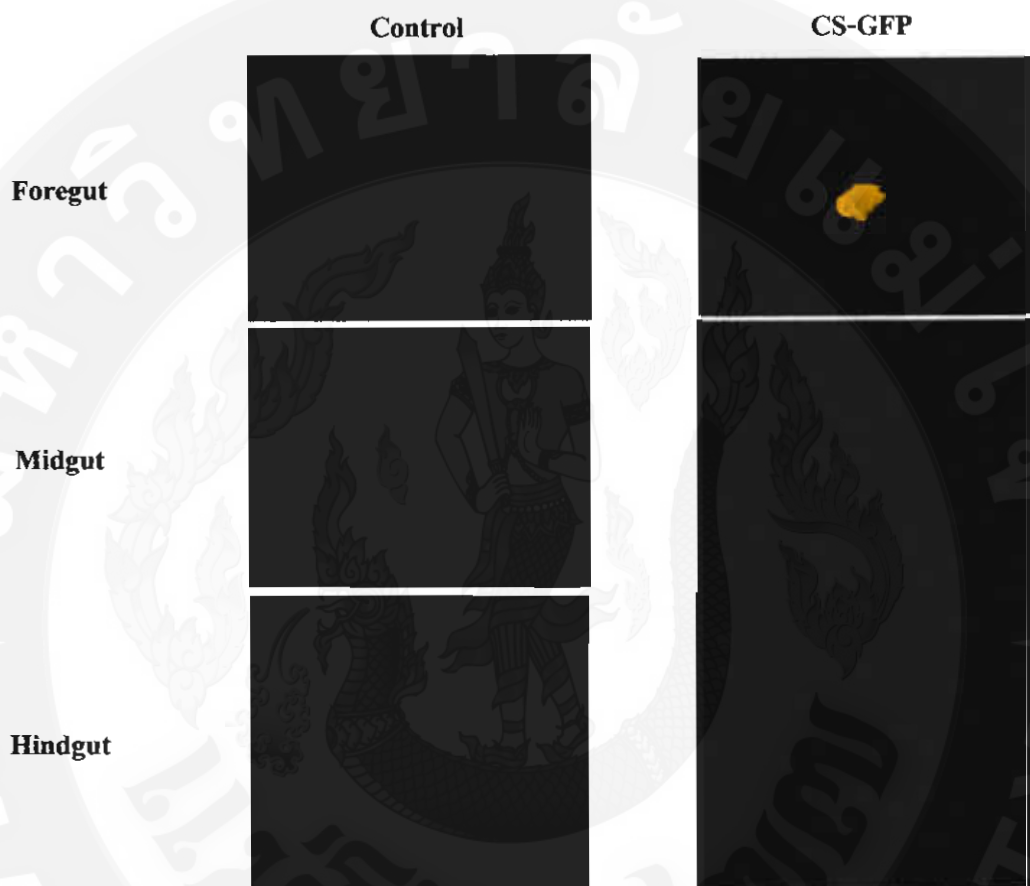
ภาพที่ 28ภาพถ่ายฟลูออเรสเซนท์สำหรับศึกษากระบวนการหลังให้อาหารผสมอนุภาค nano ไคโตซาน

บรรจุโปรตีน

เรืองแสง (CS-GFP) เป็นเวลา 2 ชั่วโมง (กำลังขยาย 100 เท่า)

Control : กุ้งก้ามgram ที่ได้รับอาหารปกติ

CS-GFP : กุ้งก้ามgram ที่ได้รับอาหารผสมอนุภาค nano ไคโตซานบรรจุโปรตีนเรืองแสง



ภาพที่ 29 ภาพถ่ายฟลูออเรสเซนท์สำหรับปีกานิล หลังให้อาหารผสมอนุภัคนาในไก่โต๊ะนับบรรจุ

โปรดีนเรืองแสง (CS-GFP) เป็นเวลา 15 นาที (กำลังขยาย 100 เท่า)

Control : ปีกานิลที่ได้รับอาหารปกติ

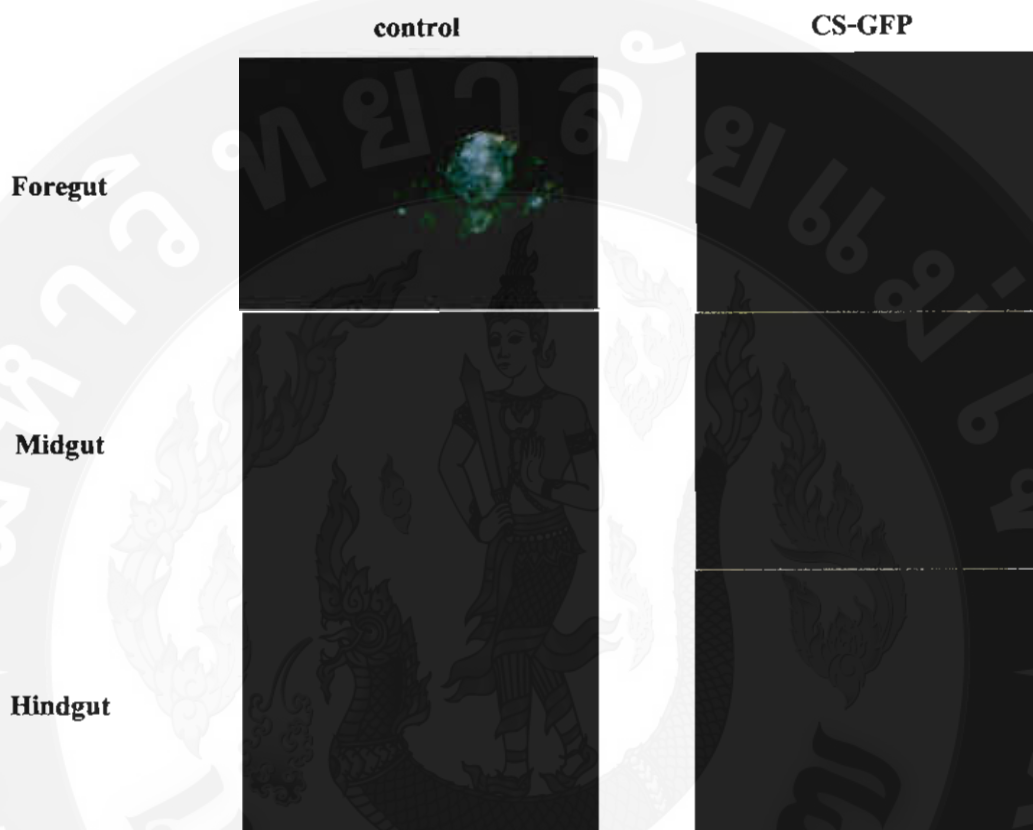
CS-GFP : ปีกานิลที่ได้รับอาหารผสมอนุภัคนาในไก่โต๊ะนับบรรจุโปรดีนเรืองแสง



ภาพที่ 30 ภาพถ่ายฟลูออเรสเซนท์สำหรับการอ่านลักษณะของอาหารผสมอนุภัคนาในไก่โตขานบรรจุโปรตีนเรืองแสง (CS-GFP) เป็นเวลา 30 นาที (กำลังขยาย 100 เท่า)

Control ปลานิลที่ได้รับอาหารปกติ

CS-GFP : ปلانิลที่ได้รับอาหารผสมอนุภัคนาในไก่โตขานบรรจุโปรตีนเรืองแสง

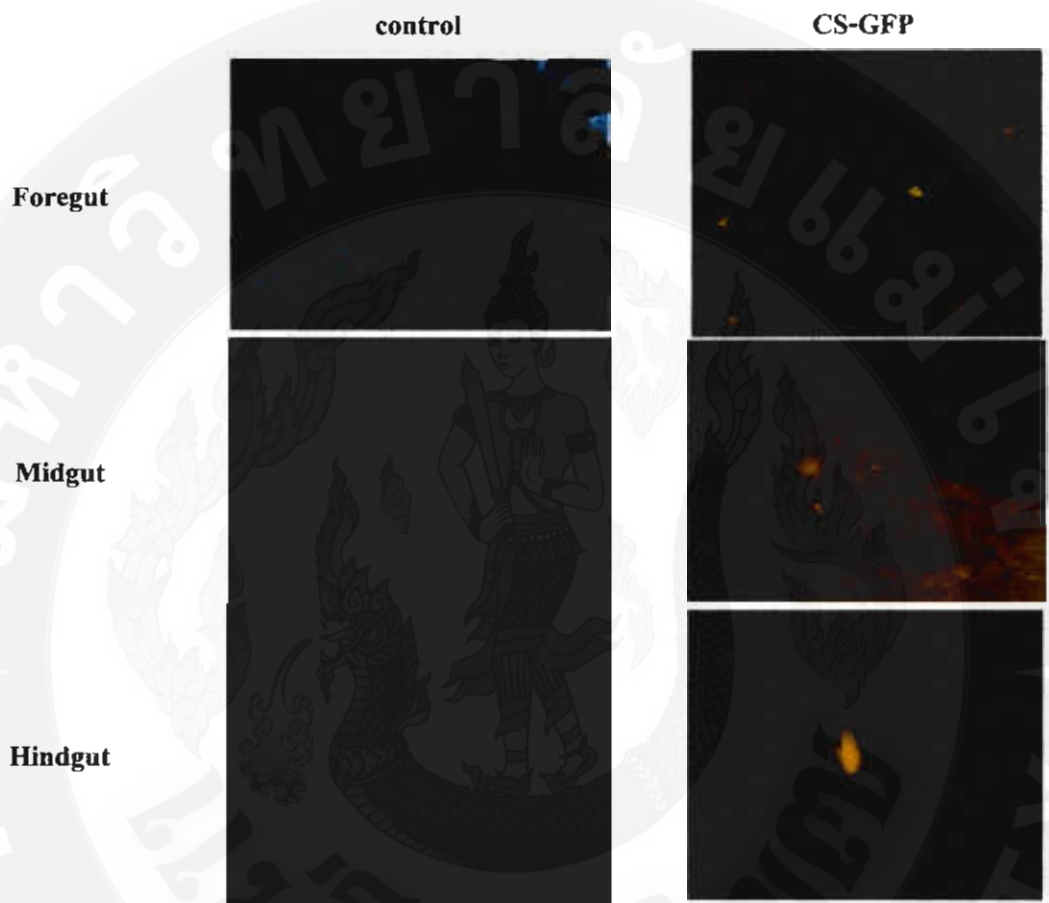


ภาพที่ 3 ภาพถ่ายฟลูออเรสเซนท์สำหรับปานิล หลังให้อาหารผสมอนุภาคนาโนไคโตซานบรรจุ

โปรตีนเรืองแสง (CS-GFP) เป็นเวลา 1 ชั่วโมง (กำลังขยาย 100 เท่า)

Control : ปานิลที่ได้รับอาหารปกติ

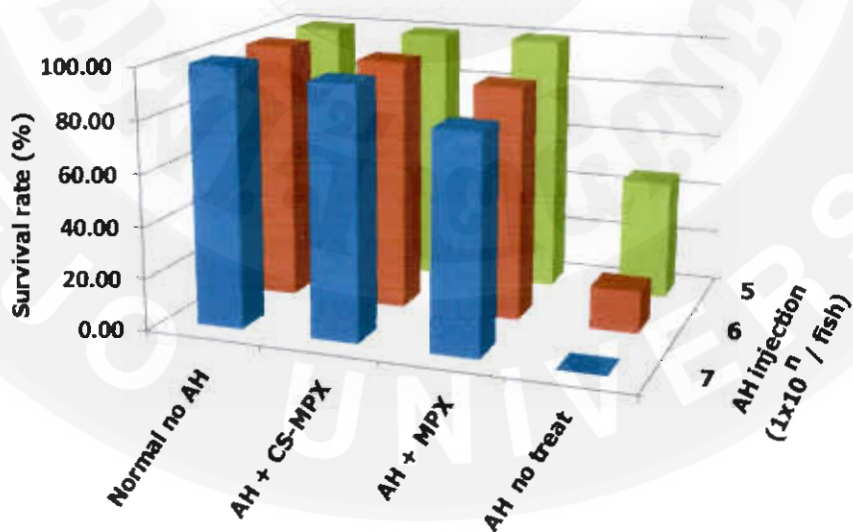
CS-GFP : ปานิลที่ได้รับอาหารผสมอนุภาคนาโนไคโตซานบรรจุโปรตีนเรืองแสง



ภาพที่ 32 ภาพถ่ายฟลูออเรสเซนท์สำหรับการติดตามการเคลื่อนไหวของปานิล หลังให้อาหารผสมอนุภาค nano ไคโตซานบรรจุโปรตีนเรืองแสง (CS-GFP) เป็นเวลา 2 ชั่วโมง (กำลังขยาย 100 เท่า)  
 Control : ปานิลที่ได้รับอาหารปกติ  
 CS-GFP : ปานิลที่ได้รับอาหารผสมอนุภาค nano ไคโตซานบรรจุโปรตีนเรืองแสง

#### 4. ประสิทธิภาพการนำส่างสารชีวภาพของอนุภาค nano ไอโคตชาน

ได้ทำการฉีดเชื้อแบคทีเรียก่อโรค *Aeromonashydrophila* ที่ปริมาณต่างๆ ให้ปานิลขนาด 150 กรัม และทดสอบการรักษาโดยให้อาหารผสมสารสกัดใบบุหรี่ 0.1 % ในรูปสารสกัดธรรมชาติและสารสกัดบรรจุในอนุภาค nano ไอโคตชาน โดยเปรียบเทียบกับปานิลปกติและปานิลได้รับเชื้อแต่ไม่มีการให้สารสกัดใบบุหรี่ ในการรักษา สังเกตอาการและนับจำนวนปลาตายเป็นเวลา 7 วัน พบว่า ปานิลกุ่มที่ได้รับเชื้อในปริมาณสูง ( $1 \times 10^7$  cfu/ตัว) และไม่ได้รักษา ปลาตายทั้งหมดภายในเวลา 3 วัน ส่วนปานิลกุ่มที่ได้รับเชื้อในปริมาณกลาง ( $1 \times 10^6$  cfu/ตัว) และต่ำ ใน ( $1 \times 10^5$  cfu/ตัว) ปลาตายอย่างต่อเนื่อง 7 วัน ส่วนปานิลกุ่มที่ได้รับเชื้อ และรักษาด้วยสารสกัดใบบุหรี่ มีอัตราการลดตายมากกว่า 80% แต่สังเกตได้อย่างชัดเจนว่าปานิลที่ได้รับอาหารผสมสารสกัดใบบุหรี่ บรรจุในอนุภาค nano ไอโคตชาน มีอัตราการลดตายมากกว่า 95% ในปานิลกุ่มที่ได้รับเชื้อปริมาณสูง และกลาง และมีอัตราการลด 100% ในปานิลกุ่มที่ได้รับเชื้อปริมาณต่ำ ดังนั้น สามารถสรุปได้ว่าอนุภาค nano ไอโคตชานช่วยในการนำส่างสารสกัดสมุนไพร ให้เข้าสู่ร่างกายของปานิลได้ดี



ภาพที่ ๓๓ ประสิทธิภาพของอนุภาค nano ไอโคตชานบรรจุสารสกัดสมุนไพรต่อเชื้อ *Aeromonas Hydrophila* ในปานิล

## สรุปผลการวิจัย

### 1. การสร้างอนุภาคนาโนไคโตซาน

การสร้างอนุภาคนาโนไคโตซานโดยใช้ TPP เป็น crosslinker วิธีที่เหมาะสม คือ วิธีไอโอดิน ไทรปิกเจลเรชันซึ่งเป็นวิธีที่ให้โครงสร้างของอนุภาคนาโนเป็นทรงกลม มีขบวนการง่าย ไม่ слับซับซ้อน ไม่ต้องใช้สารกำจัดน้ำมัน และไม่ก่อให้เกิดสารตกค้างในผลิตภัณฑ์อนุภาคนาโนซึ่งจะต้องนำไปและถุงกินต่อไป

ดังนั้นในการสร้างอนุภาคนาโนไคโตซานของงานวิจัยนี้ จะใช้ไคโตซาน 81.45 %DD ที่ขนาด 140kDa ที่การกวน 900 -1,300 rpm จะได้ออนุภาคนาโนไคโตซานขนาดเด็กที่สุด ระหว่าง 262.4-304.9 nm และสามารถสูงคุณสมบัติของอนุภาคนาโนไคโตซานเปล่าที่ได้ ดังตารางที่ 5

ตารางที่ 5 คุณสมบัติของอนุภาคนาโนไคโตซาน

%DD	MW (Da)	% CS	SEM size	TEM size (nm)	nanosizer (nm)
77.09	1,519,039	0.2	150-300 μm	-	443.00
		0.5	5-300 μm	-	549.90
81.45	139,265	0.2	150-250 nm	-	183.50
		0.5	-	10-200	262.16
82.95	385,269	0.2	-		254.33
		0.5	-	50-300	303.86
87.31	252,995	0.2	5-20 μm	-	242.70
		0.5	100-1,000 nm	20-500	517.83
91.62	375,134	0.2	0.1-20 μm	100	211.33
		0.5	0.1-20 μm	-	299.93

## 2. การสร้างอนุภาคนาโนไกโตกาชาน-สารชีวภาพ

ในการสร้างอนุภาคนาโนไกโตกาชานบรรจุสารชีวภาพ โดยใช้ไกโตกาชาน 81.45 %DD 140 k สำหรับอนุภาคนาโนไกโตกาชานบรรจุสารสกัดใบมูกรวง (CS – MPX) ที่ความเข้มข้น 0, 0.1, 0.5, 1.0, 1.5 และ 2.0 % (w/v) ได้ประสิทธิภาพการบรรจุ เท่ากับ 70.53, 71.42, 72.47, 76.81 และ 68.41 % ตามลำดับ สรุปได้ว่า ที่ความเข้มข้น 1.5 % ได้ประสิทธิภาพการบรรจุสูงสุด

## 3. การปลดปล่อยสารชีวภาพจากอนุภาคนาโนไกโตกาชาน

ประสิทธิภาพการปลดปล่อยสารชีวภาพในหลอดทดลอง ที่สภาวะ pH = 7.0 ที่ความเข้มข้น 1.5 % (w/v) สารชีวภาพเริ่มถูกปลดปล่อยตั้งแต่เวลา 1 ชั่วโมง โดยปลดปล่อยได้สูงสุด 75.03 %

ส่วนประสิทธิภาพการปลดปล่อยในลำไส้สัตว์น้ำ พบว่า ในกุ้งก้านกรามและปลา尼ล อนุภาคนาโนไกโตกาชานสามารถถูกย่อยได้ที่ลำไส้ส่วนดัน ที่เวลา 15 นาทีหลังกินอาหาร โดยที่เวลา 2 ชั่วโมง หลังกินอาหาร สารชีวภาพจะกระจายไปทั่วลำไส้ส่วนดัน ส่วนกลางและส่วนปลาย

## 4. การนำส่งสารชีวภาพของอนุภาคนาโนไกโตกาชาน

อนุภาคนาโนไกโตกาชานสามารถช่วยให้การนำสารชีวภาพเข้าสู่ร่างกายของป่านิลได้ดี โดยช่วยให้ป่านิลติดเชื้อ *Aeromonashydrophilus* และได้รับอาหารผ่านอนุภาคนาโนไกโตกาชานบรรจุสารสกัดใบมูกรวง มีอัตราการลดลงกว่า ป่านิลติดเชื้อและได้รับอาหารผ่านสารสกัดใบมูกรวง

## บรรณาธิการ

กฤษดา อาโนป. 2550. การเตรียมอนุภาค ไคโตกานห่อหุ้นวิตามินซี เพื่อการประยุกต์ใช้ใน ฤดูหนาวกรรมคอลเมดิกส์. โครงการจัดตั้งภาควิชาเทคโนโลยีทางกระบวนการเคมีและพิสิกส์ คณะอุตสาหกรรมเกษตร มหาวิทยาลัยเกษตรศาสตร์.

จริราพร ใจจน์กินกร, ศรีกาญจนานา คล้ายเรือง และ คงพล พรมยะ. 2552. สมุนไพรไทยทดแทนยา ปฏิชีวนะในการเพาะเลี้ยงกุ้งก้านกรรม. ทุนสำนักงานคณะกรรมการวิจัยแห่งชาติ (วช.) ปีงบประมาณ 2547-2549.

ธษรัตน์ อุทัยพิบูลย์. ม.ป.ป. การพัฒนาเชื้อพลาสโนเดียมพีลซิปารั่มที่แสดง properties ไปต่อเรื่องแสงสีเขียว เพื่อเป็นไม้เคลดในการตรวจกรองสารต้านมาลาเรีย. ศูนย์พันธุวิศวกรรมและเทคโนโลยีชีวภาพ. ณัฐพร อนุนานศิริกุล. ม.ป.ป. อนุภาคนาโนที่ทำจากไคโตกานสำหรับการกักเก็บสารออกฤทธิ์ทาง เครื่องสำอาง. คณะวิทยาศาสตร์ จุฬาลงกรณ์มหาวิทยาลัย.

ธิรพิทักษ์ สุบงกช. 2550. การศึกษาระบบนำส่งขึ้นใช้ไคโตกานนาโนพาร์ติคิล. ภาควิชาเทคโนโลยี เกสัชกรรม คณะเภสัชศาสตร์ มหาวิทยาลัยศิลปากร.

นลินา ประไพรักษ์สิทธิ์ และ พรรภนกานาจ งามศิริ. 2550. การเตรียมและศึกษาการปลดปล่อยแบบ ควบคุมของยาอะมีอกซิซิลลินจากเบ็คแอลจิเนต – ไคโตกาน. วารสารวิทยาศาสตร์ มนศ ปีที่ 23 ฉบับที่ 2 (2550). ภาควิชาชีววิทยา คณะวิทยาศาสตร์ มหาวิทยาลัยศรีนครินทร์วิโรฒ.

ปราิชาติ พุ่มชخر. ม.ป.ป. วิธีการติดตาม *Lactobacillus plantarum* N014 โดยอาศัยยีน GFP. ภาควิชา ชีววิทยา คณะวิทยาศาสตร์ มหาวิทยาลัยขอนแก่น.

ปีระบุตร วนิชพงษ์พันธุ์. 2543. ประโยชน์ที่ได้รับจากการใช้ไคติน-ไคโตกานในการเลี้ยงสูกร. เอกสารประกอบการประชุม สัมมนาพร้อมนิทรรศการ เรื่อง เกษตรยุคใหม่กับไคติน-ไคโตกาน ภาค 2 จัดโดย ศูนย์เทคโนโลยีชีวภาพในประเทศไทยและวัสดุแห่งชาติ ร่วมกับ ชมรมไคติน-ไคโตกาน วันที่ 9-10 พฤษภาคม 2543 อาคาร 50 ปี มหาวิทยาลัยเกษตรศาสตร์ กรุงเทพฯ.

ปีระบุตร วนิชพงษ์พันธุ์, นิรันดร์สัพพวิญญาณ และสุวี จันทร์กระจ่าง. 2543. การใช้ไคโตกานใน เป็นเครื่อง. เอกสารประกอบการประชุม สัมมนาพร้อมนิทรรศการ เรื่อง เกษตรยุคใหม่กับไคติน- ไคโตกาน ภาค 2 จัดโดย ศูนย์เทคโนโลยีชีวภาพในประเทศไทยและวัสดุ แห่งชาติ ร่วมกับ ชมรมไคติน-ไคโตกาน วันที่ 9-10 พฤษภาคม 2543 อาคาร 50 ปี มหาวิทยาลัยเกษตรศาสตร์ กรุงเทพฯ.

ปีบะบุตร วนิชพงษ์พันธุ์ และสตอร์ยุทธ์ ธีรนิตยาภาร. ม.ป.ป. เอกสารประกอบวิชาการเรื่อง ไคคิน-ไค โคลาณ. อควาคิว กรูฟจ้ากัค, กรุงเทพ.

ปีบะบุตร วนิชพงษ์พันธุ์ และสุวัลี จันทร์กระจ่าง. 2543. การใช้ไคโคลาณในไก่เนื้อ. เอกสารประกอบการประชุมสัมมนาพร้อมนิทรรศการ เรื่อง เกษตรยุคใหม่กับไคคิน-ไคโคลาณ ภาค 2 จัดโดย ศูนย์เทคโนโลยีไกแหะและวัสดุแห่งชาติ ร่วมกับ ชนรนไคคิน-ไคโคลาณ วันที่ 9-10 พฤศจิกายน 2543 อาคาร 50 ปี มหาวิทยาลัยเกษตรศาสตร์ กรุงเทพฯ.

พรรณพิพิพ. ห่อครีสันพันธุ์. 2548. เครื่องวิเคราะห์สารตัวยินฟราเรด. LAB TODAY 4.น. 33-38. พิศิษฐ์ ลังห์ใจ. ม.ป.ป. การวัดขนาดอนุภาคระดับนาโนโดยใช้เครื่อง DLS และ Zeta Potential Sizer. คณะวิทยาศาสตร์ มหาวิทยาลัยเชียงใหม่. หน้า 148-153.

ภาวดี เมะคำนนท์, อศิรา เพื่องฟู และ ก้องเกียรติ คงสุวรรณ. 2543. ไคคิน ไคโคลาณ. กรุงเทพฯ: ศูนย์เทคโนโลยีไกแหะและวัสดุแห่งชาติ สำนักงานพัฒนาวิทยาศาสตร์และเทคโนโลยีแห่งชาติ กระทรวงวิทยาศาสตร์ เทคโนโลยีและสิ่งแวดล้อม. 10 หน้า.

มงคล ตุขวัฒนาสินิกธ. 2544. การหาระดับอะซีทิลเดชันของไคโคลาณ. น.7. ใน คู่มือปฏิบัติการ ประชุมเชิงปฏิบัติการ ไคคินและไคโคลาณจากวัตถุคืนธรรมชาติสู่การประยุกต์ใช้. กรุงเทพฯ: สำนักพิมพ์ฯพลาสติก จำกัด.

แม่น อมรสิทธิ์ และ อมร เพชรสม. 2539. หลักการและเทคนิคในการวิเคราะห์เชิงคริอฟรีซ. กรุงเทพฯ: ชวนพิมพ์. 886 น.

เยาวภา ไหวพริน. 2534. การผลิตไคคินและไคโคลาณจากเปลือกกุ้ง. วิทยานิพนธ์ปริญญาวิทยาศาสตร์บัณฑิต ภาควิชาเทคโนโลยีทางอาหาร คณะวิทยาศาสตร์ ฯพลาสติก มหาวิทยาลัยเกษตรศาสตร์. หน้า 1-71.

รังรอง ขกส้าน. ม.ป.ป. การปรับโครงสร้างของไคโคลาณเพื่อให้ได้นาโนสเปียร์. โครงการจัดตั้ง ภาควิชาเทคโนโลยีทางกระบวนการเคมีและฟิสิกส์ คณะอุตสาหกรรมเกษตร มหาวิทยาลัยเกษตรศาสตร์.

เรียวสุเกะ ขาชาوا, เกซุเกะ วากานามะ, และลิตา เรืองແປນ. ม.ป.ป. การพัฒนาเทคนิคการถ่ายทอด ขีนในกุ้งกุลาดำ (Penaeus monodon). รายงานประจำปี 2548 ศูนย์วิจัยและพัฒนาประมงชายฝั่ง จังหวัดบุรีรัมย์.

ลิตา เรืองແປນ. 2542. ไคโคลาณ, สัตว์น้ำ. 12(142), 65-68.

วิภาวดี ไชยวัฒน์. 2544. การหานวลดในเกลือของไคトイซานด้วยวิธี Intrinsic Viscosity. น.17-21. ใน คู่มือปฏิบัติการประชุมเชิงปฏิบัติการ ไคติดนและไคトイซานจากวัตถุคินธรรมชาติสู่การ ประยุกต์ใช้. กรุงเทพฯ: สำนักพิมพ์จุฬาลงกรณ์มหาวิทยาลัย.

วิลาวัณย์ ท่องคง. ม.ป.ป. การเตรียมอนุภาคไคトイซานขนาดขั้นในกรองโดยใช้เทคนิcotอัลตราโซนิก อะตอมไม่เข้มข้น. คณะวิทยาศาสตร์ จุฬาลงกรณ์มหาวิทยาลัย.

สาวิตรี ศิลากาญ และ กิจการ ศุภมาตย์. สารกระตุ้นภูมิคุ้มกันและการใช้วัคซีนในกุ้งกุลาดำ : II. การ พลิตวัคซีนจาก *Vibrio harveyi*และการประยุกต์ใช้ในกุ้งกุลาดำ (*PenaeusmonodonFabricius*).

ว.ส่งข่านครินทร์ วทท. 22 (ฉบับพิเศษ) : 663-676 (2543)

สุพรรณยา ปานทุม และ สินีนาฏ ศิริ. ม.ป.ป. การหาสภาวะที่เหมาะสมในการถ่ายยีนเข้าอีนบีริโอล ปลาแม้ดา (Danio rerio) ไคบีชิอิเล็กโทรฟอร์เซชั่น. ภาควิชาชีวเคมี คณะวิทยาศาสตร์ มหาวิทยาลัยขอนแก่น.

สุวนิษฐ์ จิราภรณ์, รังรอง ยกสำน และ โภสุน สมครรัตน์. 2544. สมบัติทางเคมีและการขับพาของไคติดไคトイซาน. น.12, 17, 32. ใน เอกสารประกอบการบรรยายการประชุมเชิงปฏิบัติการ ไคติดน และไคトイซานจากวัตถุคินธรรมชาติสู่การประยุกต์ใช้. กรุงเทพฯ: สำนักพิมพ์จุฬาลงกรณ์มหาวิทยาลัย.

หนึ่ง เตียจารุง. ม.ป.ป. การใช้ gyein เพื่อศึกษาฤทธิกรรมของไไซเบรินในระบบนิเวศ. สาขา เทคโนโลยีชีวภาพ สำนักวิชาเทคโนโลยีการเกษตร.

อดิพัฒ พัฒน์. ม.ป.ป. การแสดงออกของยีน โปรตีนเรืองแสงสีเขียวใน *Bacillus spp.* สาขาชีวเคมี คณะวิทยาศาสตร์ มหาวิทยาลัยสงขลานครินทร์.

อนุภาพ ทองธรรมชาติ และ สมนึก จาจุลลักษณ์. 2548. การศึกษาการควบคุมการปลดปล่อยโปรตีน จากไคトイซานอนุภาคนาโน. ภาควิชาวิศวกรรมเคมี คณะวิศวกรรมศาสตร์ มหาวิทยาลัย เทคโนโลยีพระจอมเกล้าธนบุรี.

Ajun, W., Yan, S., Li, G., and Huili, L. 2008. Preparation of aspirin and probucol in combination loaded chitosan nanoparticles and in vitro release study. Carbohydrate polymers.

Amidi M., Romeijn S.G., Verhoef J.C., Junginger H.E., Bungener L., Huckriede A., Crommelin D.J.A. and Jiskoot W. N-Trimethyl chitosan (TMC) nanoparticles loaded with influenza subunit antigen for intranasal vaccination: Biological properties and immunogenicity in a mouse model. Vaccine 25(1) : 144-153 (2007).

- Benjakul, S. and Wisitwuttikul, P. 1994. Asean Food Journal. 9: 136.
- Borges O., Cordeiro-da-Silva A., Romeijn S.G., Amidi M., de Sousa A., Borchard G. and Junginger H.E. Uptake studies in rat Peyer's patches, cytotoxicity and release studies of alginate coated chitosan nanoparticles for mucosal vaccination. *Journal of Controlled Release* 114(3) : 348-358 (2006).
- Calvo, P., Remunan-Lopez, C., Vila-Jato, J. L., and Alonso, M. J. 1997. Novel hydrophilic chitosanpolyethylene oxide nanoparticles as protein carriers. *J Appl Pol Sci.* 63(1):125-132.
- Chandy, T., and Sharma, C.P. 1992. Chitosan Beads and Granules for Oral Sustained Delivery of Nifedipine: in vitro Studies. *Biomaterials.* 13(13): 949-952.
- Chang, K.L.B. Tsai, G. Lee, J. and Fu, W.R. 1997. Heterogeneous N-Deacetylation of Chitin in Alkaline Solution. *Carbohydrate Research.* 303: 327-332.
- Chen, R. H. and Tsaih.M.L. 1998. Effect of temperature on the intrinsic viscosity and conformation of chitosans in dilute HCl solution. *International Journal of Biological Macromolecules.* 23: 135-141.
- Chen F., Wang Z C. and Lin C J. Preparation and characterization of nano-sized hydroxyapatite particles and hydroxyapatite/chitosan nano-composite for use in biomedical materials. *Materials Letters*, Volume 57, Issue 4, December, Pages 858-861 (2002).
- Chinadit, U., Wanichpongpan, P., Ng., C.H., Stevens, W.F. and Chandrkrachang, S. 1998. Chemical deacetylation of shrimp chitin in different conditions. *Advance in Chitin Science.* 3: 165-168.
- Domard, A. and Chaussard, G. 2002. New approach in the study of the production of chitosan from squid pens: kinetics,thermodynamic and structural aspects. *Advances in Chitin Science.* 5: 1-5. ISBN: 974-229-412-7.
- Dunn, Q., Li, E.T., Grandmaison, E.W. and Goosen, M.F.A. 1997. Applications and properties of chitosan. *Applications of chitin and chitosan*, Pennsylvania: Technomic Publishing, p.12.
- Felse, P.A. and Panda, T. 1999. Studies on applications of chitin and its derivatives. *Bioprocess Engineering.* 20: 505-512.
- Frank, A. 1997. Infrared Spectroscopy. *Handbook of Instrumental Techniques for Analytical Chemistry.* 543 p.

- Gagné, N. and Simpson, B. K. 1993. Use of proteolytic enzymes to facilitate the recovery of chitin from shrimp wastes. *Food Biotechnol.* 7: 253-263.
- Hirano, S. 1996. Chitin Biotechnology Application. *Biotechnology Annual Review.* 2: 749-753.
- Johnson .andPeniston. 1982. Preparation and Characterization of Chitin and Chitosan-A Review. Department of Food Science and Technology, Hyosung Women's University, Kyungsan, South Korea. 27 – 52.
- Kumar S.R., Ahamed V.P.I., Sarathi M., Basha A.N. and Hameed S. Immunological response of *Penaeusmonodon* to DNA vaccine and its efficacy to protect shrimp against white spot syndrome virus (WSSV). *Fish & Shellfish Immunology* 24 : 467-478 (2008).
- Kittikaiwan P., Powthongsook S., Pavasant P. and Shotipruk A. Encapsulation of *Haematococcuspluvialis* using chitosan for astaxanthin stability enhancement. *Carbohydrate Polymers* (2007).
- Kong M., Chen X.G., Xing K. and Park H.J. Antimicrobial properties of chitosan and mode of action: A state of the art review. *International Journal of Food Microbiology* 144 : 51–63 (2010).
- Lei CX., Hu SQ., Shen GL. and Yu RQ. Immobilization of horseradish peroxidase to a nano-Au monolayer modified chitosan-entrapped carbon paste electrode for the detection of hydrogen peroxide. *Talanta* 59(5) : 981-988 (2003).
- Lertsutthiwong, P., Ng, C.H., Chandrkrachang, S. and Stevens, W.F. 2002. Effect of chemical treatment on the characteristics of shrimp chitosan. *Journal of Metals, Materials and Minerals.* 12 (1): 11-18.
- Lertsutthiwong, P., Chandrkrachang, S., Nazhad, M.M., and Stevens, W.F. 2002. Chitosan as a dry strength agent for paper. *Appita Journal.* 55(3): 208-212.
- Li, C.F. and Wu, J.C. 1998. Chitosan benefits cultivation of vegetables. *Advances in Chitin Science.* 3: 448-452.
- Li, F., Liu, W.G. and Yao, K.D. 2002. Preparation of oxidized glucose-crosslinked N-alkylated chitosan membrane and in vitro studies of pH-sensitive drug delivery. *Biomaterials.* 23: 343-347.

- Li, Q. Dunn, E. T. Grandmison, E.W and Goosen, 1992. Applications and Properties of Chitosan.Bioactive and Compatible Polymers. 7: 370-397.
- Li, Z., Liu, X.F., Zhuang, X.P., Guan, Y.L. and Yao, K.D. 2002. Manufacture and properties of chitosan/N,Ocarboxymethylated chitosan/viscose rayon antibacterial fibers. Journal of Applied Polymer Science. 84(11): 2049-2059.
- Lim, L-Y., Khor.E and Ling C-E. 1999. Effects of dry heat and saturated steam on the physical properties of chitosan. Biomedical Materials Research Part B: Applied Biomaterials.. 48: 111-116.
- Lim, S. and Hudson, S.M. 2002. A novel chitosan derivatives as a textile finish. Advances in Chitin Science. 6: 241-242.ISBN: 82-471-5901-5.
- Lowry, O.H. Rosebrough, N. J. Farr, A.L. and Randall, R. J. 1951. Protein measurement with the folin phenol reagent.J.Biol.Chem. 193: 265.
- Merck Index. 1996. Edited by Budavari, S., O'Neil, M.J., Smith, A., Heekelman, P.E., Kinneary, J.F. Published by Merck Research Laboratories Division of Merck & Co., Inc. Whitehouse Station, N.J., U.S.A.
- Mi, F-L.; Sungb, H-W.; Shyuc, S-S.; Sua, C-C and Peng, C-K. 2003. Synthesis and characterization of biodegradable TPP/genipin co-crosslinked chitosan gel beads. Polymer.44; 6521–6530.
- Mazzarelli, R.A.A. 1977. Chitin. Oxford: Pergamon Press.
- Myint, K.T., Ng, C.H., Chandrkrachang, S. and Stevens, W.F. 2002. Optimal demineralization of crab shell waste for chitin production. Advances in Chitin Science. 5: 15-18. ISBN: 974-229-412-7.
- Nie H. and Wang CH. Fabrication and characterization of PLGA/HAp composite scaffolds for delivery of BMP-2 plasmid DNA. Journal of Controlled Release 120 : 111-121 (2007).
- Ning J-F, Zhu W, Xu J-P, Zheng C-Y, Meng X-L. Oral delivery of DNA vaccine encoding VP28 against white spot syndrome virus in crayfish by attenuated *Salmonella typhimurium*. Vaccine 27

Nanosizer.[Online].Available

<http://www.uv.es/icmuv/Fotos%20equipos/NanoZ%20+%20titradora.jpg> (16 August 2011).

Nan, X., Feng, T., Shengjun, L., Hong, L., Changjun L., Jian, Y. and Chunian, He. (2009).

Chitosan polyelectrolyte nanoparticles as protein delivery systems. The 3rd International Conference on Bioinformatics and Biomedical Engineering.p1-5.

Csaba, N., Koping-Hoggard, M. and Alonso, M. J. (2009). Ionically crosslinked chitosan/tripolyphosphate nanoparticles for oligonucleotide and plasmid DNA delivery. International Journal of Pharmaceutics

No, H.K. and Meyers, S.P. 1997. Preparation of chitin and chitosan. Chitin Handbook.p. 475-489. ISBN 88-86889-01-1.

No, H.K., Park, N.Y., Lee, S.H. and Meyers, S.P. 2002. Antibacterial activity of chitosans and chitosan oligomers with different molecular weights. International Journal of Food Microbiology. 74(1-2): 65-72.

Perkin Elmer Life and Analytical Sciences. 2009. FTIR spectroscopy Attenuated Total Reflectance (ATR). PerkinElmer precisely.1-5 p.

Rajesh Kumar, S., Paramesaran, V. 2007. Potential use of chitosan nanoparticles for oral delivery of DNA vaccine in Asian sea bass(*Lates calcarifer*) to protect from *Vibrio*(*Listonella anguillarum*). Fish&Shellfish Immunology. 25,47-56.

Rao, M.S., Munoz, J. and Stevens, W.F. 2000. Critical factors in chitin production by fermentation of shrimp biowaste. ApplMicrobiolBiotechnol. 54: 808-813.

Roberts, G.A.F. 1997. Chitosan production routes and their role in determining the structure and properties of the product. Proceedings of 7th International Conference on Chitin Chitosan. Lyon, France. p. 22-31.

Roberts, G.A.F. and Wood, F.A. 2001. A study of the influence of structure on the effectiveness of chitosan as an antifelting treatment for wool. Journal of Biotechnology. 89: 297-304.

Scanning Electron Microscope.[Online].Available

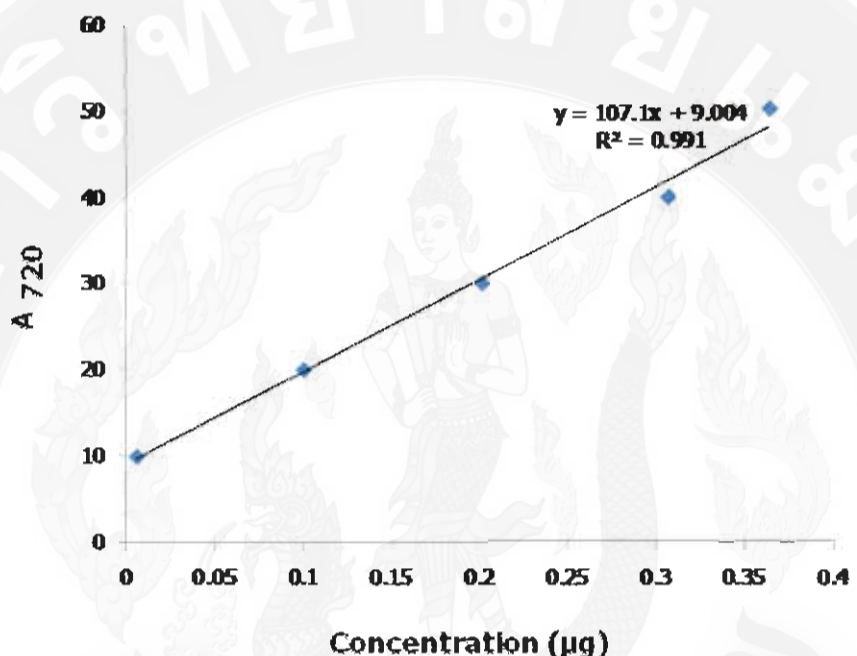
[http://www.tech.eng.tohoku.ac.jp/sosiki/goudou/index\\_SEM-EDX2.e.html](http://www.tech.eng.tohoku.ac.jp/sosiki/goudou/index_SEM-EDX2.e.html) (16 August 2011).

- Scanning Electron Microscope.[Online]. Available  
[http://en.wikipedia.org/wiki/File:Schema\\_MEB\\_\(en\).svg](http://en.wikipedia.org/wiki/File:Schema_MEB_(en).svg) (16 August 2011).
- Shigemasa, Y. Morimoto, M. Saimoto, H. and Minami, S. 1998. Application of chitin and chitosan for biomaterials. Proceeding of the Third Asia-Pacific Chitin and Chitosan Symposium. 8-10 September 1998. Keelung Taiwan. pp.47-54.
- Siri-Upatum, C. 2002. Radiation degradation of chitosan and its application for young orchid plant growth promotion, Advances in Chitin Science. 5: 475-478. ISBN: 974-229-412-7.
- Skoog, D.A. and J.J. Leary. 2007. Principles of Instrumental Analysis. 169-173 p.
- Stevens, W.F. 2002. Production and storage of high quality chitosan from shrimp, crab and fungus. Advances in Chitin Science. 5: 6-11. ISBN: 974-229-412-7.
- Transmission Electron Microscope.[Online]. Available  
<http://www.tech.eng.tohoku.ac.jp/sosiki/goudou/jpg/TEM.jpg> (16 August 2011).
- Transmission Electron Microscope.[Online]. Available  
[http://en.wikipedia.org/wiki/File:Scheme\\_TEM\\_en.svg](http://en.wikipedia.org/wiki/File:Scheme_TEM_en.svg) (20 August 2011).
- Tsai, G.J., Su, W.H., Chen, H.C. and Pan, C.L. 2002. Antimicrobial activity of shrimp chitin and chitosan from different treatments and applications of fish preservation. Fisheries Science 68(1): 170-177.
- U.S. Department of Commerce, Fisheries of the United States, 1995, July 1996.
- WANG, C., FU, X. and YANG, L. (2007). Water-soluble chitosan nanoparticles as a novel carrier system for protein delivery. Chinese Science Bulletin 52; 883-889.
- Wanichpongpan, P., Tanapongsathorn, N. and Chandrkrachang, S. 2002. Application of chitosan as bioflocculation in shrimp pond. Advances in Chitin Science 5: 527-531. ISBN: 974-229-412-7.
- Win, N. N. 1996. Removal of Heavy Metals Using Chitosan. Master of Environmental Thesis. Environmental Science and Technology. Asian Institute of Technology. Thailand. Bangkok. 68 p.
- Win, N. N., Pengju, G. and Stevens, W.F. 2000. Deacetylation of chitin by fungal enzymes. Advance in Chitin Science. 4: 55-62. ISBN: 3-9806494-5-8.

- Win, N.N. and Stevens. W.F. 2001. Shrimp chitin as substrate for fungal chitin deacetylase. Appl.Microbiol.Biotechnol. 57: 334-341.
- Yoksan, R., Jirawutthiwongchai, J. and Arpo, K. 2010. Encapsulation of ascorbylpalmitate in chitosan nanoparticles by oil-in-water emulsion and ionic gelation processes. Colloids and Surfaces B: Biointerfaces 76; 292-297.
- Yongmei, X. and Yumin D. (2003). Effect of molecular structure of chitosan on protein delivery properties of chitosan nanoparticles. International Journal of Pharmaceutics 250: 215-226.

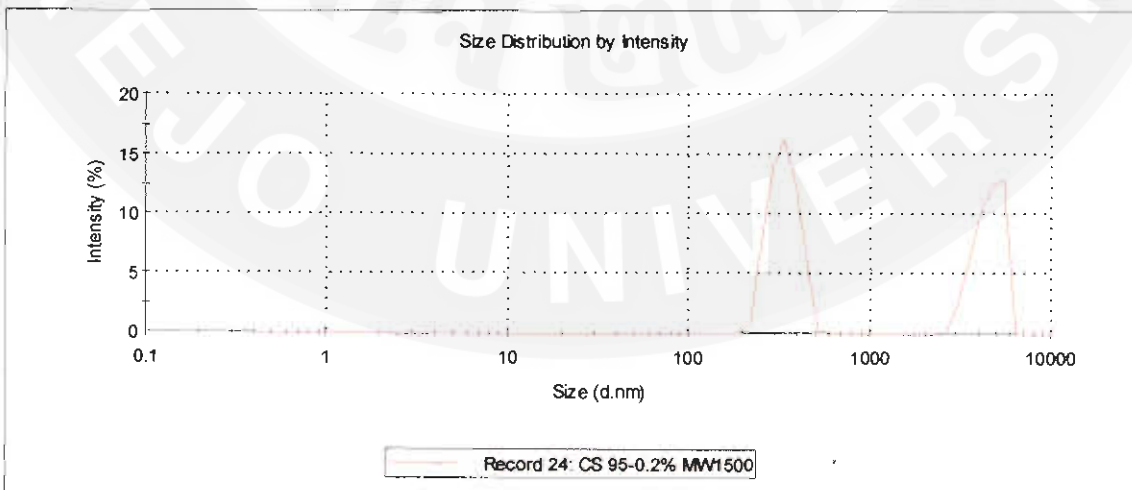
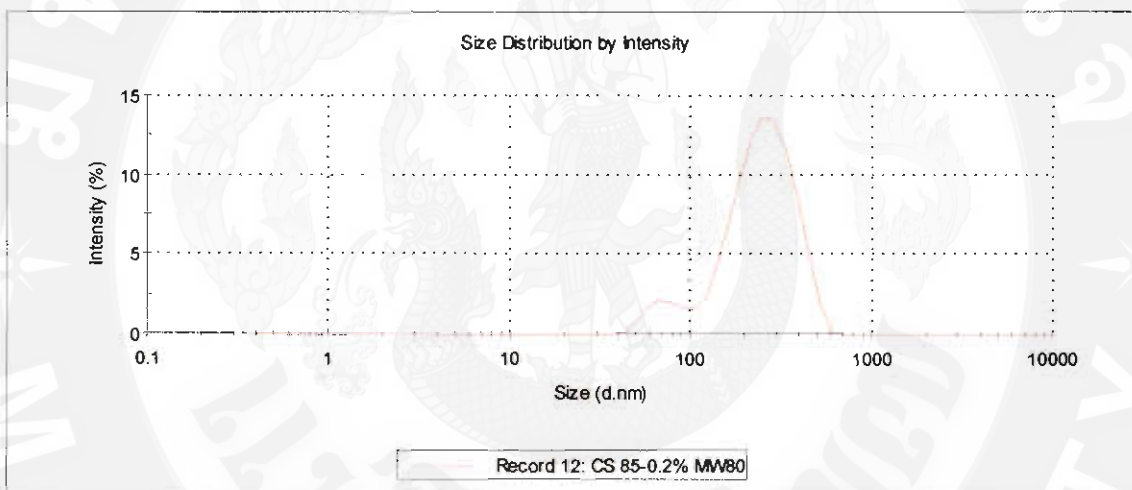
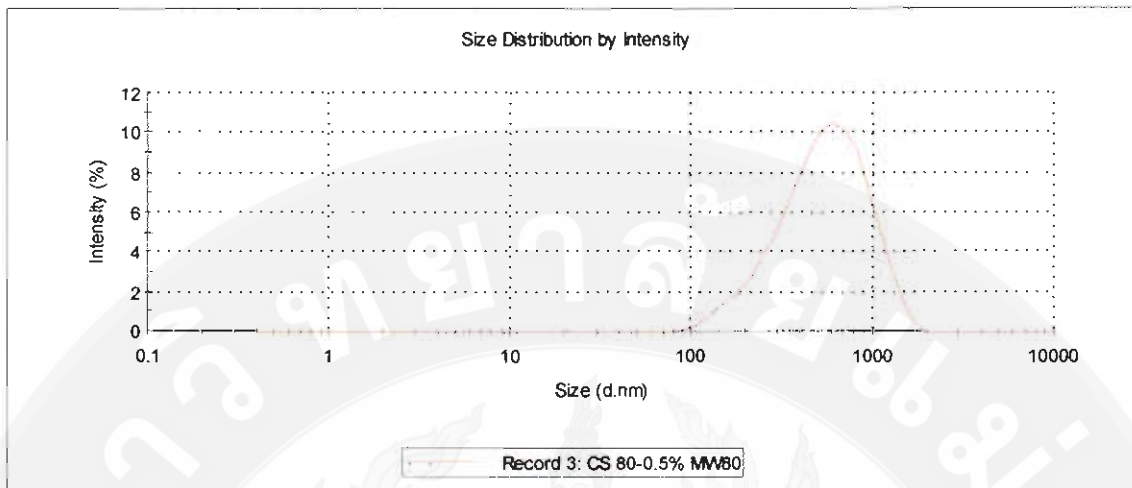
## ภาคผนวก

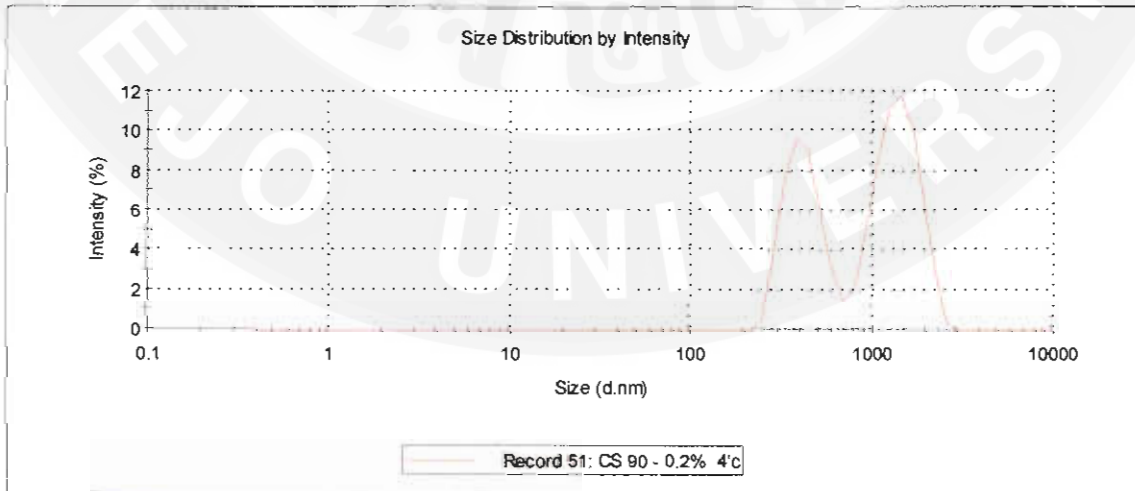
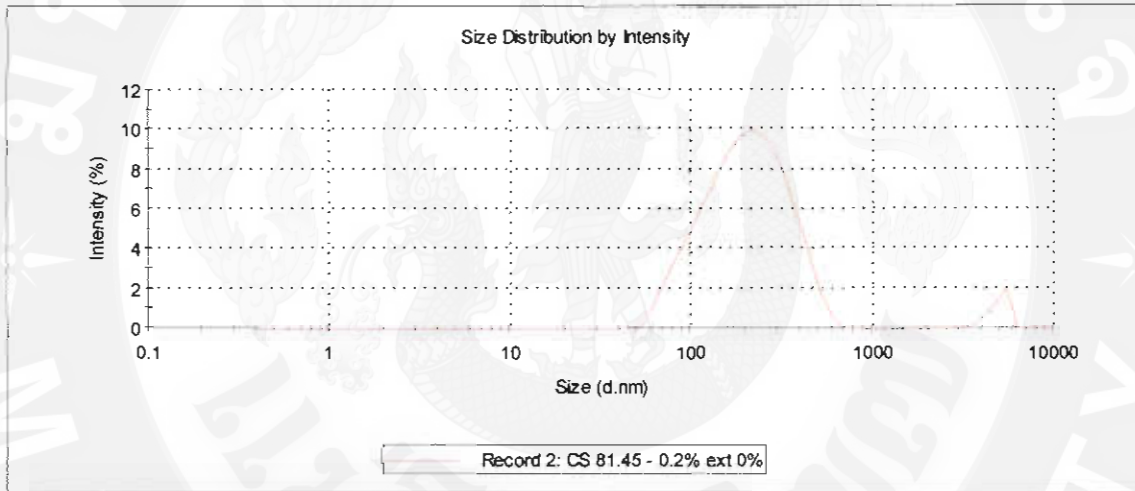
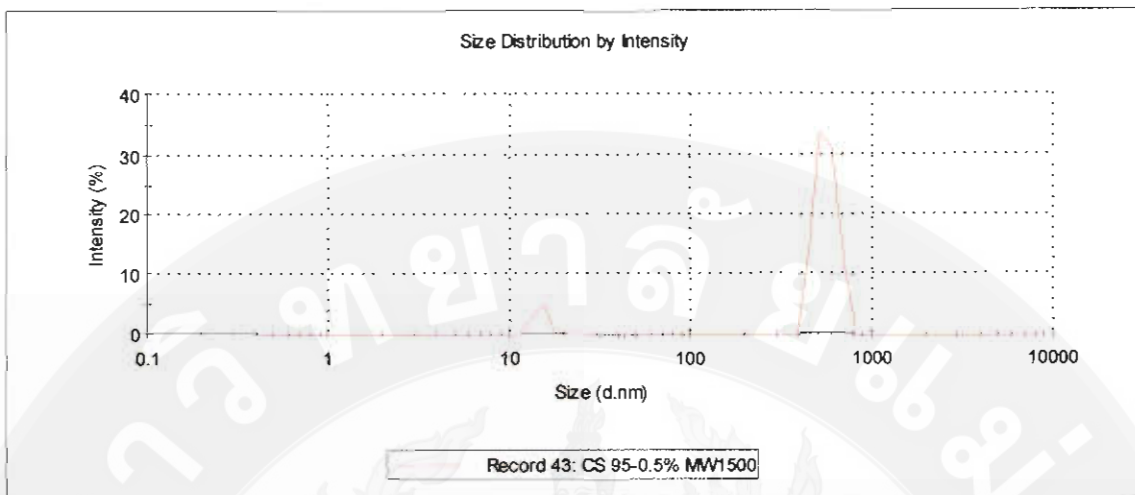
ตารางมาตราฐานแทนนิร

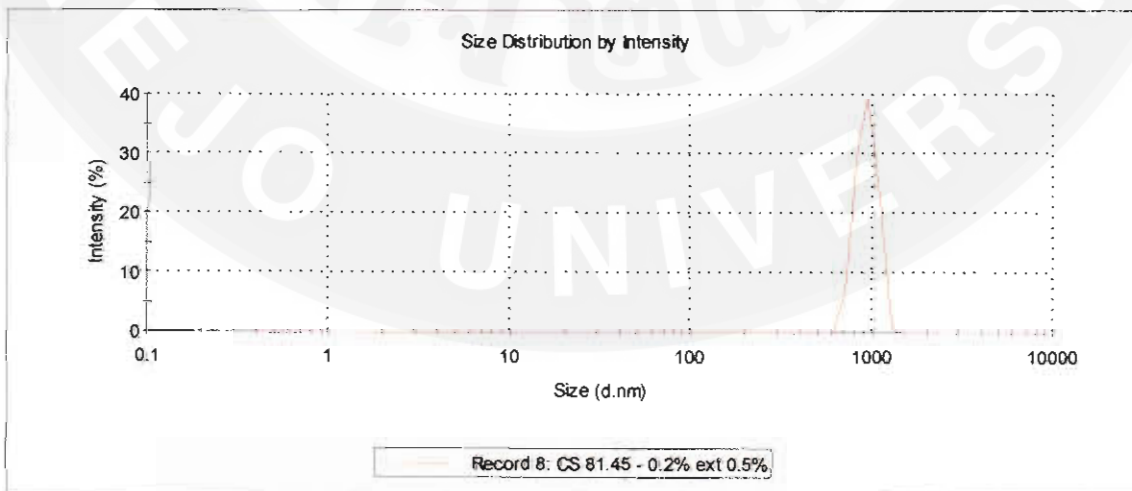
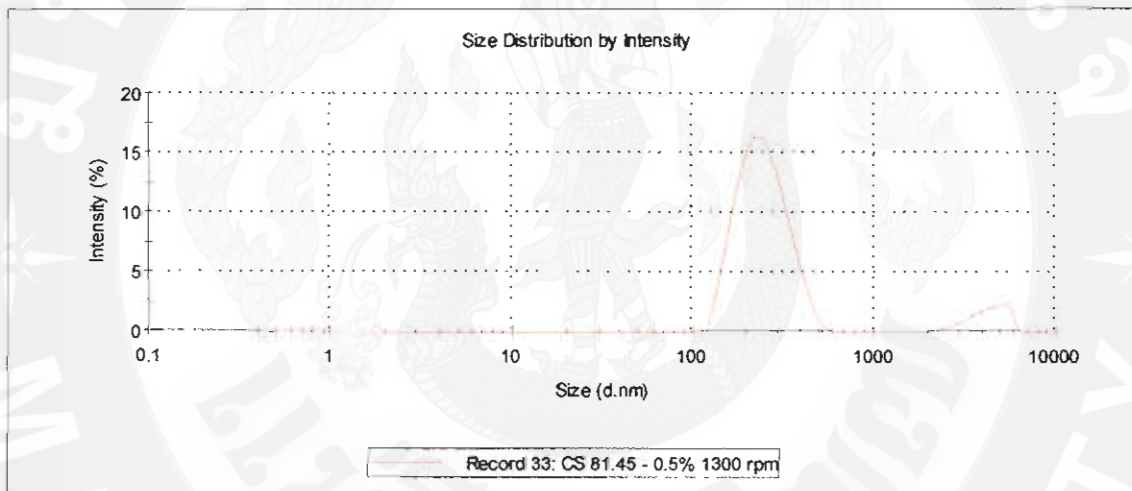
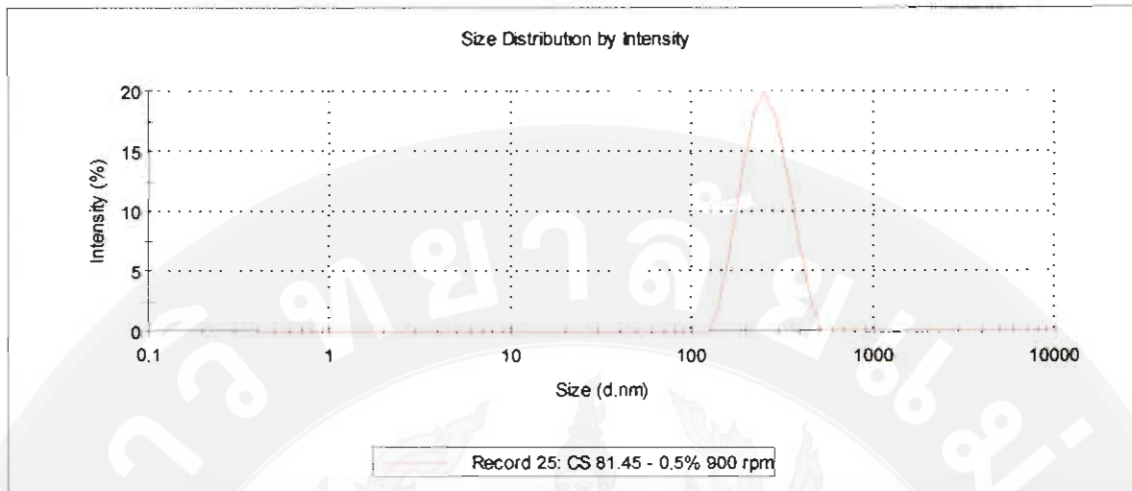


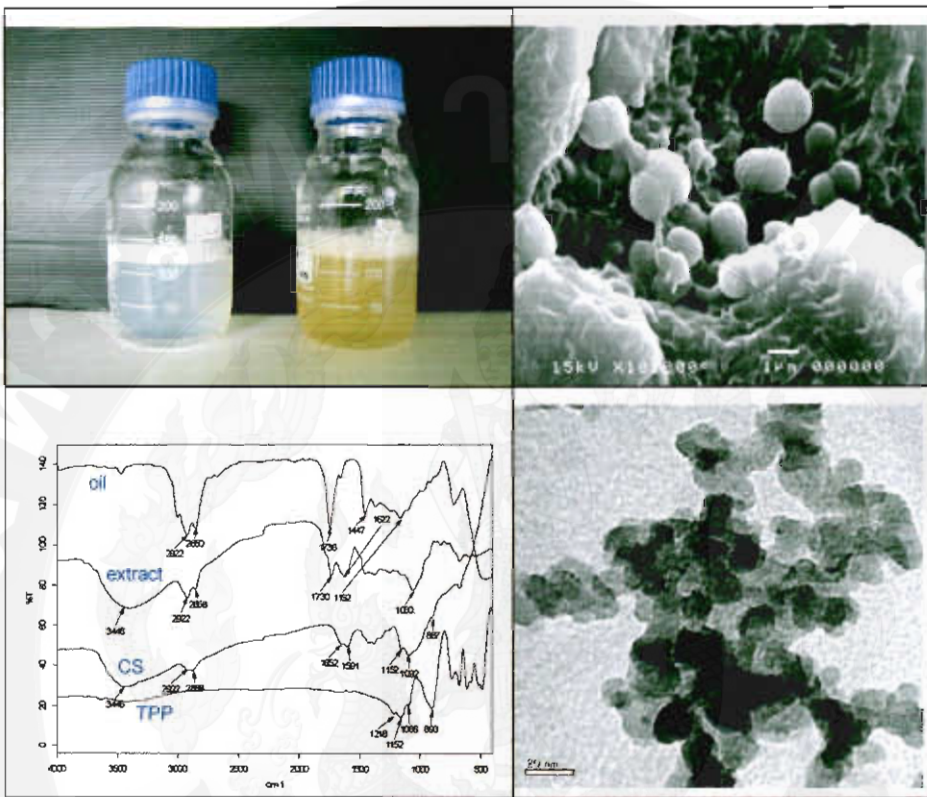
$A_{720}$	Concentration ( $\mu\text{g}$ )
0.006	10
0.1	20
0.201	30
0.308	40
0.365	50

ตัวอย่าง ความแปรผันของขนาดอนุภาคในไคโตกานที่ตรวจสอบด้วย nanosizer









ຄວາມເຫດໃນໂລຢີການປະມາດແລະກ່ຽວພາກທາງນໍາ